



เครื่องรับสัญญาณดาวเทียม
SATELLITE RECEIVER



โดย
นายศรินทร์ วาณิชย์ เจริญชัย
นายวิวัฒน์ วัฒนลออสมบูรณ์
นางสาวศิริพร ศรีดิษฐ์อุไร

บริษัทยาธิพนธ์นี้ เป็นส่วนหนึ่งของการศึกษาคณะหลักสูตรปริญญาวิศวกรรมศาสตรบัณฑิต

สาขาวิศวกรรมไฟฟ้า

สถาบัน เทคโนโลยีพระจอมเกล้า เจ้าคุณทหารลาดกระบัง

ปีการศึกษา 2535

เอกสารนี้เป็นเอกสารที่สงวนไว้สำหรับการใช้งานเพื่อการศึกษาเท่านั้น ไม่อนุญาตให้นำไปใช้ประโยชน์ด้านการค้า
ไม่ว่ากรณีใดๆ ทั้งสิ้น อีกทั้งห้ามมิให้ตัดแปลงเนื้อหาและต้องอ้างอิงถึงเจ้าของเอกสารทุกครั้งที่มี **032525**

ปริญญาโท ปีการศึกษา 2535

ภาควิชาวิศวกรรมอิเล็กทรอนิกส์

คณะวิศวกรรมศาสตร์ สถาบันเทคโนโลยีพระจอมเกล้าเจ้าคุณทหารลาดกระบัง

เรื่อง เครื่องรับสัญญาณดาวเทียม

โดย

1. นายศรินทร์ วาณิชย์เจริญชัย 321046
2. นายวิวัฒน์ วัฒนลออสมบุญ 321309
3. นางสาวศิริพร ศรีสินธุ์อุไร 321333



(รศ. ประกิจ ตั้งติสานนท์)

อาจารย์ที่ปรึกษา

สารบัญ

บทคัดย่อ	
1. บทนำ	1
- หลักการเบื้องต้นของระบบสื่อสารผ่านดาวเทียม	
- ระบบเครื่องรับสัญญาณดาวเทียม	7
2. ทฤษฎี	15
- วงจรขยาย (Amplifier)	
- วงจรออสซิลเลเตอร์ (Oscillator)	17
- วงจรมิกเซอร์ (Mixer)	20
- วงจรกรองความถี่ (Filter)	23
- วงจรจำกัดขนาดสัญญาณ (Limiter)	48
- วงจรดีเทกต์สัญญาณ (Detector)	50
3. การออกแบบ	55
4. การทดลอง และสรุป	60
ภาคผนวก	
กติกกรมประกาศ	
เอกสารอ้างอิง	

SATELLITE RECEIVER

Sarin Wanutchareonchai

Wiwat Watanalaorsombun

Siriporn Srisinurei

Mr. Prakit Tangtisanon Advisor

Abstract

The study of Satellite Communication in this thesis is emphasis on television receiving only from Satellite (TVRO). The TVRO earth terminal consists of small antenna, low noise amplifier (LNA), down converter, and IF receiver.

The input frequency for IF receiver that construct in this thesis is 70 MHz , Bandwidth of 36 MHz . This receiver consists of amplifiers, filters, video detector, audio detector. The output Signals from this receiver are video and audio signal to connect the TV. terminal.

เครื่องรับสัญญาณดาวเทียม

ศรินทร์ วาณิชย์เจริญชัย

วิวัฒน์ วัฒนลออสมมณู

ศิริพร ศรีสินธุ์ไธ

อาจารย์ที่ปรึกษา

รศ. ประกิจ ตั้งศิลาพันธ์

ปีการศึกษา 2535

บทคัดย่อ

ในยุคของข้อมูลข่าวสาร เทคโนโลยีที่ใช้ในการการติดต่อสื่อสาร
รับ-ส่งข้อมูลข่าวสารต่าง ๆ ถือได้ว่าเป็นหัวใจสำคัญในการทำให้ข้อมูลข่าวสารที่
มีอยู่ถูกนำไปใช้ให้เกิดประโยชน์สูงสุด ระบบสื่อสารผ่านดาวเทียมเป็นระบบที่กำลัง
เข้ามามีบทบาทอย่างมากในด้านการสื่อสารโทรคมนาคม ทั้งภายในประเทศ และ
ระหว่างประเทศ จึงได้จัดทำวิทยานิพนธ์นี้ขึ้นเพื่อศึกษาระบบสื่อสารผ่านดาวเทียม
โดยจะ เน้นที่เครื่องรับสัญญาณดาวเทียม โดยเครื่องรับสัญญาณดาวเทียมที่จัดทำขึ้นนี้
เป็นเครื่องรับสัญญาณที่ทำหน้าที่รับสัญญาณโทรทัศน์จากดาวเทียม โดยจะรับสัญญาณ
อินพุต ความถี่ 70 MHz แบนด์วิดธ์ 36 MHz ภายในประกอบด้วย ส่วน
วงจรขยายสัญญาณ ส่วนวงจรกรองความถี่แบบแบนด์พาสฟิลเตอร์ ส่วนดีเทคเตอร์
ของสัญญาณภาพ ส่วนดีเทคเตอร์ของสัญญาณเสียง เพื่อให้ได้สัญญาณเอาท์พุทเป็น
สัญญาณภาพ และสัญญาณเสียง สามารถต่อเข้ากับเครื่องรับโทรทัศน์ได้

บทที่ 1

บทนำ

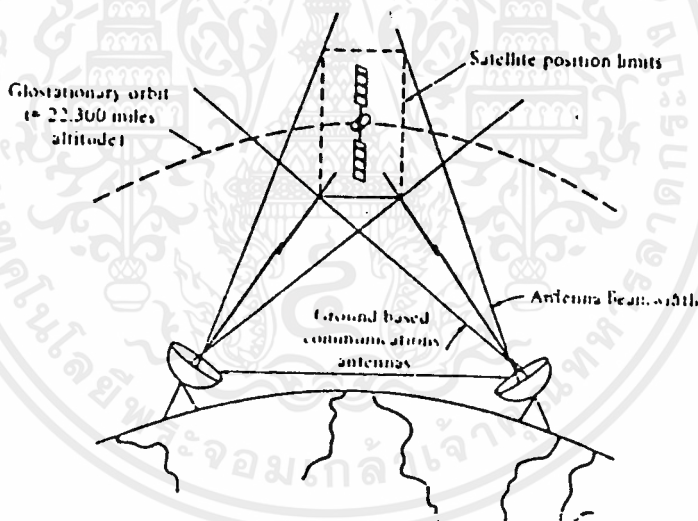
งานวิจัยด้านการสื่อสารดาวเทียมกำลังมีบทบาทอย่างมาก ในหลายๆ ด้านไม่ว่าจะเป็นในด้านการศึกษาติดต่อสื่อสารภายในประเทศ และระหว่างประเทศ การสำรวจทรัพยากรธรณี การสำรวจภูมิประเทศ งานด้านการทหาร งานด้าน Broadcast และนอกจากนี้ สาเหตุที่ทำให้ดาวเทียมถูกนำมาใช้มากขึ้นก็เพราะว่า งานวิจัยด้านการจัดสรรความถี่ (Allocation Frequency) ที่ใช้งานความถี่ HF (High-Frequency) จนถึงย่านความถี่ UHF (Ultra High Frequency) หรือในบริเวณต่ำเริ่มเต็ม ทำให้ต้องมีการหันมาใช้การสื่อสารดาวเทียมกันมากโดยเฉพาะทางด้าน Broadcast เราสามารถที่จะสร้างเครื่องรับสัญญาณวิทยุโทรทัศน์จากดาวเทียมได้ซึ่งยากถ้ามีความพร้อมทางด้านปัจจัยต่าง ๆ

ปัจจุบันการสื่อสารด้วยดาวเทียมทางด้าน Broadcast โดยเฉพาะทางด้านวิทยุโทรทัศน์ได้มีการหันมาใช้ดาวเทียมมากขึ้น ในอนาคตประเทศไทยก็จะมีดาวเทียมของตัวเองซึ่งคาดกันว่าในด้าน Television Broad-casting ก็จะใช้ดาวเทียมนี้ด้วย

การรับสัญญาณวิทยุโทรทัศน์จากดาวเทียมโดยตรงนี้ เรียกว่า Television Receive Only (TVRO) ซึ่งในอนาคตเมื่อประเทศไทยนำดาวเทียมมาใช้เราก็สามารถที่จะรับสัญญาณวิทยุโทรทัศน์จากดาวเทียมได้ ใช้งานความถี่ C-Band และ KU-Band ซึ่งในโครงการนี้จะนำเสนอ การสร้างเครื่องรับสัญญาณวิทยุโทรทัศน์จากดาวเทียมในย่านความถี่ C-Band

1.1 หลักการเบื้องต้นของระบบการสื่อสารผ่านดาวเทียม

การติดต่อสื่อสารผ่านดาวเทียมประกอบด้วยส่วนสำคัญ ได้แก่ สถานีภาคพื้นดิน (Earth Station) และดาวเทียม โดยที่ดาวเทียมทำหน้าที่เป็นสถานีทวนสัญญาณ มีช่องความถี่ใช้งาน (Transponder) หลายช่องแล้วแต่การนำไปใช้งาน เช่น การส่งข้อมูล การส่งสัญญาณภาพ และการส่งสัญญาณเสียง เป็นต้น ลักษณะการติดต่อผ่านดาวเทียมระหว่างสถานีภาคพื้นดิน 2 สถานีแสดง ดังรูป 1.1 มีสถานีต้นทางส่งสัญญาณขาขึ้น (Uplink) ที่ความถี่ค่าหนึ่งไปยังดาวเทียม ซึ่งทำหน้าที่แปลงความถี่ให้ต่ำลง แล้วขยายสัญญาณก่อนส่งลงมาเป็น สัญญาณขาลง (Downlink)



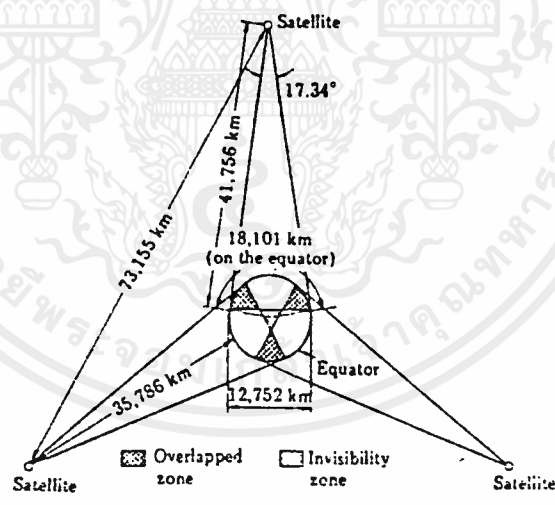
รูป 1.1 การติดต่อระหว่างสถานีภาคพื้นดินผ่านดาวเทียม

โดยทั่วไป ดาวเทียมลอยอยู่สูงจากผิวโลกประมาณ 22,300 ไมล์ หรือ ประมาณ 35,680 กิโลเมตร บริเวณเหนือ เส้นศูนย์สูตรลอยนิ่งอยู่กับที่เมื่อเทียบกับ

เอกสารนี้เป็นเอกสารที่สงวนไว้สำหรับการใช้งานเพื่อการศึกษาเท่านั้น ไม่อนุญาตให้นำไปใช้ประโยชน์ด้านการค้า ไม่ว่ากรณีใดๆทั้งสิ้น อีกทั้งห้ามมิให้ตัดแปลงเนื้อหาและต้องอ้างอิงถึงเจ้าของเอกสารทุกครั้งที่มีการนำไปใช้

ตำแหน่งดาว บนพื้นโลก ทำให้มีรัศมีการทำงาน ครอบคลุมพื้นที่การส่งสัญญาณจาก ดาวเทียมได้ถึงประมาณ 1 ใน 3 ของผิวโลก ดังนั้นถ้าใช้ดาวเทียม 3 ดวงก็จะ ทำให้สามารถ เชื่อมต่อการสื่อสารได้ทั่วโลก โดยการจัดตำแหน่งของดาวเทียมทั้ง 3 ดวง แสดงดังรูป 1.2 จะเห็นได้ว่ามีพื้นที่บางส่วนของผิวโลกสามารถติดต่อ ผ่านดาวเทียมได้ถึง 2 ดวง (Overlapped Zone) ซึ่งมีพื้นที่บางส่วนที่ไม่สามารถ ใช้ดาวเทียมได้ (Invisibility Zone) ซึ่งมักจะ เป็นบริเวณขั้วโลก เนื่องจาก ไม่ค่อยจะมีการติดต่อสื่อสารมากนัก และไม่คุ้มกับการที่จะต้อง เพิ่มดาวเทียมขึ้นมาอีก

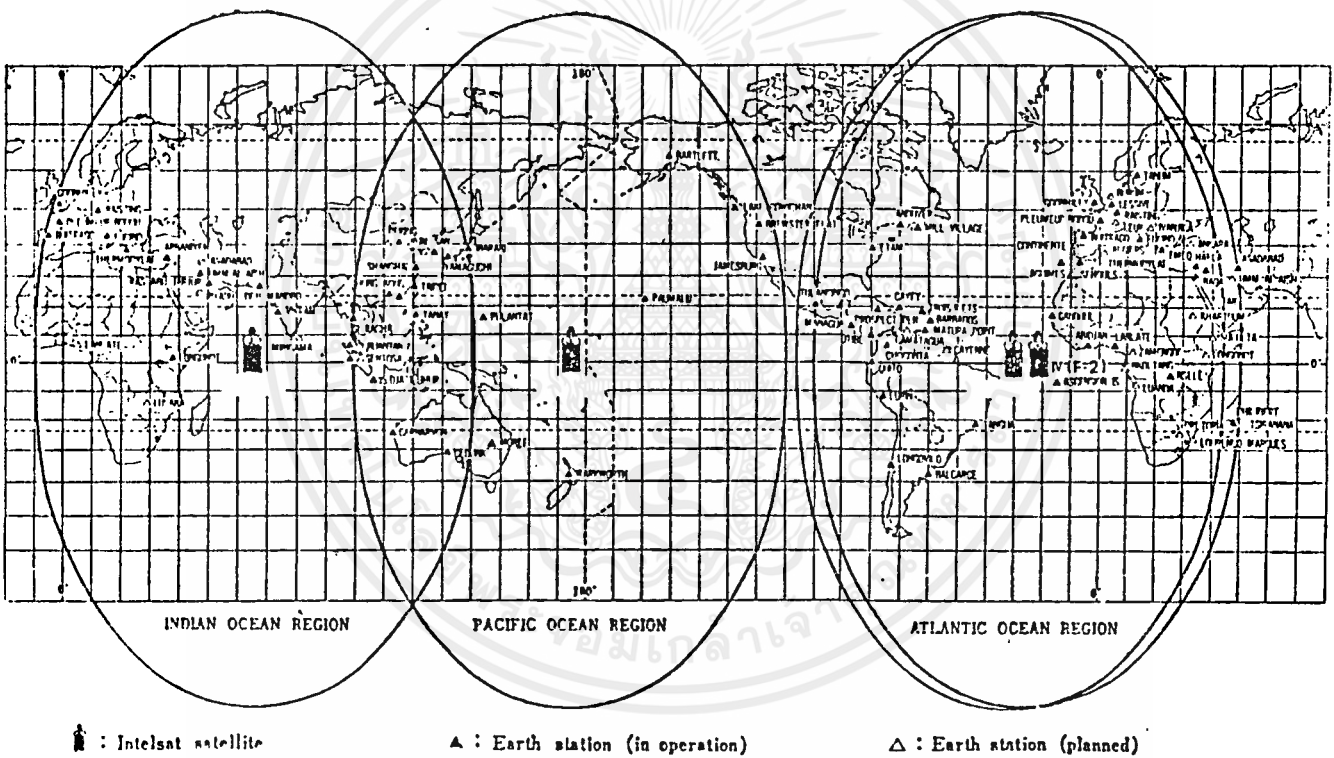
ยังมีดาวเทียมอีกประเภทหนึ่งคือดาวเทียมที่ผลอยนิ่งอยู่กับที่ แต่จะโคจรรอบ โลกด้วยคาบ เวลาและ เส้นทางแตกต่างกันไปแล้วแต่การใช้งานเฉพาะ ได้แก่ ดาวเทียมสำรวจทรัพยากร ดาวเทียมสำหรับการพยากรณ์อากาศ เป็นต้น



รูป 1.2 การจัดตำแหน่งของดาวเทียม 3 ดวงในการเชื่อมต่อสื่อสารทั่วโลก

ตัวอย่างของการใช้ดาวเทียมหลายดวง ที่ทำให้สามารถติดต่อสื่อสารกันได้

ทั่วโลก คือ ดาวเทียมอินเทลแซท (Intelsat) ที่มีการใช้งานและพัฒนาเรื่อยมาตั้งแต่ อินเทลแซท-1 อินเทลแซท-2 จนถึงปัจจุบันกำลังจะมีการส่งอินเทลแซท-6 ขึ้นไป เพื่อเพิ่มขีดความสามารถในการสื่อสาร และทดแทนรุ่นแรกๆ ที่หมดอายุการใช้งานแล้ว จากรูป 1.3 แสดงพื้นที่การใช้งานครอบคลุมพื้นผิวโลกของดาวเทียมอินเทลแซท-4 มี 4 ดวง ๓ ดวง ได้แก่ F-2, F-3, F-4 และ F-5 จะเห็นว่า F-2 และ F-3 มีการใช้งานในบริเวณใกล้เคียงกัน เนื่องจาก เป็นบริเวณที่มีการใช้งานกันมาก



รูป 1.3 พื้นที่การใช้งานของดาวเทียม อินเทลแซท-4

- การส่งสัญญาณขึ้นสู่ดาวเทียม

งานที่จะกล่าวถึง เฉพาะการส่งสัญญาณโทรทัศน์ โดย เริ่มจาก สัญญาณภาพ

เข้าสู่การประมวลผลทางสัญญาณ โดยรวมกับสัญญาณเสียงที่ถูกผสมมาก่อนกับความถี่พาหะย่อย (Subcarrier) แต่ละช่องซึ่งผสมแบบ เอฟ เอ็ม (Frequency-Modulation) แล้วเข้าสู่การผสมในช่วงความถี่กว้าง (Wideband) และได้เอาที่พุกเป็นสัญญาณ เอฟ เอ็ม ที่ความถี่กลาง (Intermediate Frequency ; IF) ความถี่ 70 MHz มีแบนด์วิดท์ (Bandwidth) 36 MHz ที่มีทั้งสัญญาณภาพ และสัญญาณเสียงผสมมาด้วย จากนั้นขยายสัญญาณให้มีความแรงขึ้น แล้วจึงกรองเอาเฉพาะช่วงความถี่ที่ต้องการ สัญญาณที่ได้จะถูกแปลงให้มีความถี่สูงขึ้นด้วยอุปกรณ์แปลงความถี่ขึ้น (Upconverter) อยู่ที่ความถี่ย่าน C-band (5925-6425 MHz) แล้วขยายสัญญาณให้มีความแรงขึ้นอีกครั้งด้วย High Power Amplifier (HPA) ก่อนจะส่งออกไปยังดาวเทียม โดยผ่านจานสายอากาศซึ่งก็ช่วยเพิ่มระดับสัญญาณให้แรงขึ้นด้วย

- การทวนสัญญาณที่ดาวเทียม

มีขั้นตอนการทำงานดังนี้ เริ่มจากสัญญาณขาขึ้นจากสถานีภาคพื้นดินมีช่วงกว้างความถี่ 500 MHz ผ่านสายอากาศรับ แล้วถูกกรองเอาเฉพาะช่วงความถี่ที่ต้องการ โดยวงจรแบนด์พาสฟิลเตอร์ (Band-Pass Filter) เข้าสู่อุปกรณ์แปลงความถี่ให้ต่ำลง (Down Converter) จากความถี่ย่าน 6 GHz ไปเป็นความถี่ย่าน 4 GHz กรองเอาความถี่เฉพาะช่วงที่ต้องการโดยแบนด์พาสฟิลเตอร์ แล้วขยายสัญญาณให้มีความแรงขึ้นก่อนจะส่งผ่านจานสายอากาศลงมายังสถานีภาคพื้นดิน

การที่ต้องแปลงความถี่ไปนี้ เพื่อป้องกันไม่ให้สัญญาณขาขึ้น และสัญญาณขาลงเกิดการรบกวนกัน และการแปลงให้ความถี่ต่ำลง เนื่องจากทำได้ดีสะดวกกว่า และอุปกรณ์มีน้ำหนัก เบากว่า ช่วยทำให้น้ำหนักรวมของดาวเทียมไม่มากเกินไปนัก

- การรับสัญญาณจากดาวเทียม

มีขั้นตอนการทำงานดังนี้ เริ่มจากสัญญาณชาลงที่ส่งมาจากดาวเทียม เข้าสู่ระบบสายอากาศ ซึ่งช่วยเพิ่มระดับสัญญาณให้สูงขึ้น

แล้วถูกขยายสัญญาณ โดยมีสัญญาณรบกวนต่ำ ด้วยวงจรโลว์นอยส์แอมพลิฟายเออร์ (Low Noise Amplifier; LNA) จากนั้นแปลงความถี่ให้ต่ำลงจนได้สัญญาณที่ ความถี่กลาง 70 MHz แล้วแยกสัญญาณเดิม (Baseband) ซึ่งงานที่นี้คือสัญญาณภาพ และสัญญาณเสียงออกมา โดยสถานีภาคพื้นดินจะนำไปส่งออกอากาศต่อไป

ดาวเทียมในปัจจุบันมีทรานส์ปอนเดอร์ 12 ชุด เมื่อใช้เทคนิคการนำความถี่กลับมาใช้งาน (Frequency Reused) จะทำให้ดาวเทียมเสมือนมี 24 ทรานส์ปอนเดอร์ แต่ละทรานส์ปอนเดอร์จะครอบคลุมแถบความถี่ 36 MHz

การจัดช่องสัญญาณโทรทัศน์ทำได้ 2 ลักษณะ คือ

1. มี 1 ช่องสัญญาณภาพต่อ 1 ทรานส์ปอนเดอร์
2. มี 2 ช่องสัญญาณภาพต่อ 1 ทรานส์ปอนเดอร์

งานการจัดช่องสัญญาณโทรทัศน์บนดาวเทียมนั้นจะทำการแยกช่องความถี่ของสัญญาณภาพ และช่องความถี่ของสัญญาณเสียงออกจากกัน

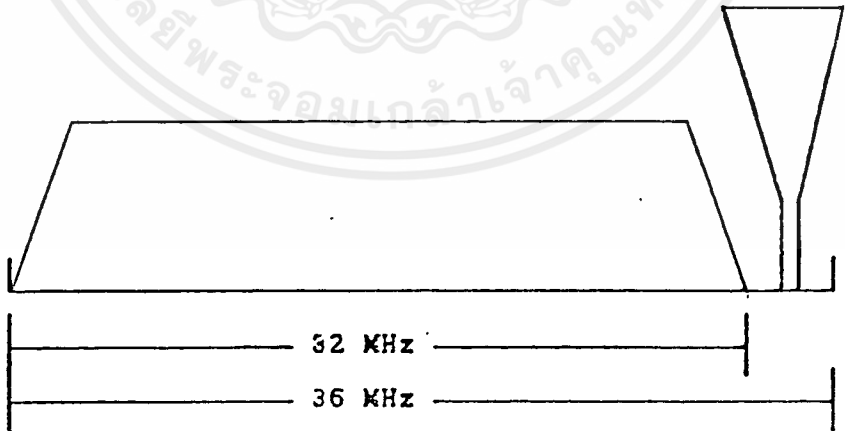
- แบบเต็มทรานส์ปอนเดอร์ สัญญาณภาพจะครอบคลุมแถบความถี่ของทรานส์ปอนเดอร์ไปประมาณ 30 kHz ส่วนสัญญาณคลื่นพาหะของเสียง ใช้แถบความถี่กว้างประมาณ 2.5 kHz สำหรับแถบความถี่ที่เหลือ เป็นช่องสัญญาณโทรทัศน์ ที่ใช้ในการติดต่อระหว่างสถานี แต่ในบางกรณีแถบความถี่ที่เหลือจากสัญญาณภาพอาจใช้ไปกับระบบเสียงไปทั้งหมดก็ได้

- แบบครึ่งทรานส์ปอนเดอร์ จะใช้ในระบบสื่อสารดาวเทียมระหว่างประเทศ โดยแต่ละช่องสัญญาณภาพจะใช้ความถี่กว้างถึง 17.5 MHz ทำให้ต้องส่งสัญญาณเสียงไปกับทรานส์ปอนเดอร์อื่น

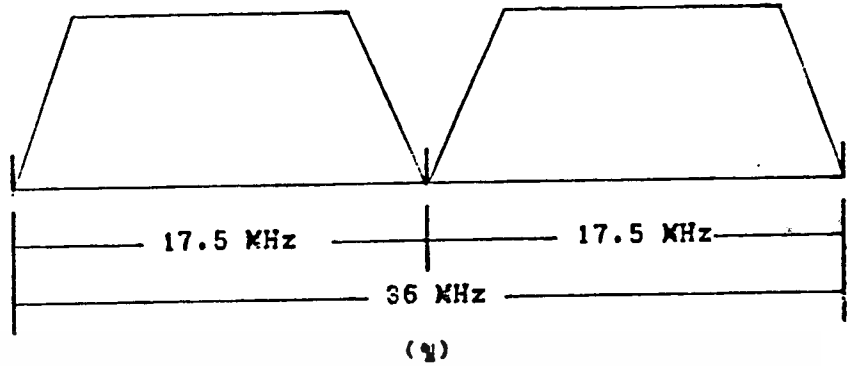
1.2 ระบบเครื่องรับสัญญาณดาวเทียม (Satellite Receiver)

ในระบบสื่อสารโทรทัศนผ่านดาวเทียม จะประกอบไปด้วยองค์ประกอบย่อยดังนี้คือ ส่วนที่เป็นสถานีหลักที่เป็นต้นเครือข่ายของระบบ และสถานีภาคพื้นดิน และส่วนของดาวเทียมที่ทำหน้าที่ถ่ายทอดสัญญาณครอบคลุมลงมายังภาคพื้นดิน ระบบเครื่องรับสัญญาณดาวเทียม เป็นส่วนที่ทำหน้าที่รับสัญญาณไมโครเวฟมาผ่านกระบวนการตามขั้นตอนต่างๆ เพื่อแยกสัญญาณภาพ และสัญญาณเสียงออกจากคลื่นพาหะความถี่ไมโครเวฟ แล้วนำพาหะการมอดูเลตเป็นสัญญาณปกติที่ใช้ในการแพร่ภาพโทรทัศน สำหรับการรับสัญญาณดาวเทียมในระบบ TVRO (Television Receive Only) ไม่จำเป็นต้องมีสถานีภาคพื้นดินคอยรับสัญญาณดาวเทียมมาแปลงเป็นสัญญาณโทรทัศน แล้วค่อยทำการส่งสัญญาณภาพออกอากาศทางโทรทัศน แต่จะสามารถนำเครื่องรับสัญญาณดาวเทียมระบบ TVRO ต่อเข้ากับเครื่องรับโทรทัศนเพื่อรับสัญญาณโทรทัศนจากดาวเทียมได้โดยตรง

ช่องสัญญาณโทรทัศน์

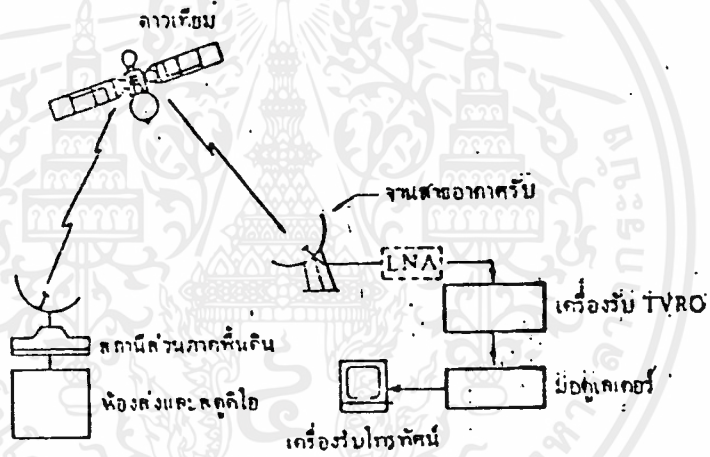


(ก)



รูปที่ 1.1 การจัดช่องสัญญาณโทรทัศน์ของระบบสื่อสารผ่านดาวเทียม

- (ก). แบบเต็มทรานสพอนเดอร์
- (ข). แบบครึ่งทรานสพอนเดอร์

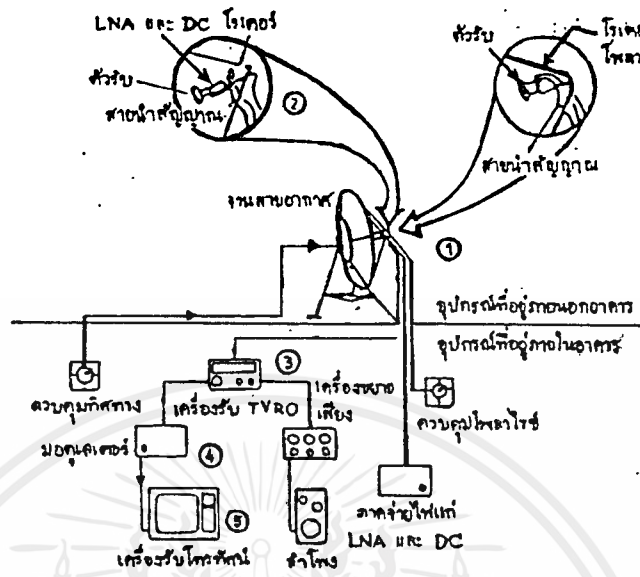


รูปที่ 1.2 องค์ประกอบพื้นฐานของระบบสื่อสารผ่านดาวเทียม

ระบบ Satellite Receiver ประกอบด้วยอุปกรณ์หลัก 5 ส่วนด้วยกันดัง

แสดงในรูปที่ 1.3

1. จานสายอากาศรับ
2. เครื่องขยายชนิดสัญญาณรบกวนต่ำ หรือ LNA (Low Noise Amplifier) และเครื่องแปลงความถี่ให้ต่ำลง หรือ DC (Down Converter)
3. เครื่องรับ Satellite Receiver
4. เครื่องผสมสัญญาณโทรทัศน์ หรือ มอดูเลเตอร์
5. เครื่องรับโทรทัศน์



รูปที่ 1.3 อุปกรณ์หลัก 5 ส่วนของระบบ Satellite Receiver

อุปกรณ์อื่นๆ นอกเหนือจากนี้เป็นอุปกรณ์ที่อำนวยความสะดวก ซึ่งแล้วแต่บริษัทผู้ผลิตระบบ Satellite Receiver แต่ละรายมีรายละเอียด ทั้งที่ขึ้นการทำงานที่ต่างกัน เช่น ระบบหาคู่ทางดาวเทียมอัตโนมัติ ซึ่งอาศัยการควบคุมมอเตอร์หมุนแกนต่างๆของตัวทิศสายอากาศ ระบบควบคุมระยะไกล หรือ จีโมทคอนโทรล ฯลฯ

การทำงานของระบบ Satellite Receiver เริ่มจากสัญญาณไมโครเวฟขาลง จากดาวอากาศจะหักตรงไปยังดาวเทียมที่ต้องการรับ สัญญาณขาลงที่รับได้นี้มีกำลังค่าน้อย(อยู่ที่ระดับของ 10^{-12} วัตต์) เนื่องจากระยะทางไกลมาก และขนาดจำกัดของแหล่งจ่าย พลังงานบนดาวเทียม ที่ให้เอาท์พุท แต่ละทราซสปอซเซอร์ได้ เพียงประมาณ 5 วัตต์

ประกอบกับการสูญเสียเนื่องจากระยะทางที่มีค่าสูงถึง 196-200 เคซีเบล จากสายอากาศของ Satellite Receiver จึงจำเป็นต้องใช้แบบที่มีอัตราขยายสูง ซึ่งได้แก่ จากสายอากาศแบบ พาราโบลิก

จากสายอากาศ

จากสายอากาศ ทำหน้าที่สะท้อนคลื่นไปยังจุดโฟกัส ซึ่งมีตัวรับสัญญาณอยู่ คลื่นจะผ่านต่อไปยังเครื่องขยาย วงจรขยายรบกวนค่า และเครื่องแปลงความถี่

ทำการแปลงความถี่ต่ำลงมาเป็นย่าน UHF หรือ VHF สัญญาณนี้ถือเป็นสัญญาณ IF ซึ่งจะผ่านสายเคเบิลเข้าไปยังเครื่องรับ Satellite Receiver ทำการ คมอดคูละนำสัญญาณภาพ และสัญญาณเสียงออกมา

สัญญาณภาพและสัญญาณเสียง จะส่งต่อไปหมอดคูละเตอร์ ทำการมอดคูละ แบบ AM ให้เป็นสัญญาณ RF สำหรับเครื่องรับโทรทัศน์ สัญญาณ RF นี้มีลักษณะ เดียวกับสัญญาณพาหะ ที่ใช้ในการแพร่ภาพโทรทัศน์ปกติ ซึ่งจะเป็นระบบ PAL , NTSC หรือ SECAM ก็แล้วแต่มาตรฐาน ซึ่งใช้ในแต่ละประเทศ สัญญาณ RF ซึ่งได้จากการ มอดคูละเตอร์ของ Satellite Receiver จะอยู่ในย่าน VHF ช่อง 3 หรือ ช่อง 4

เครื่องขยายสัญญาณรีดสัญญาณรบกวนต่ำ (LNA) และเครื่องแปลงความถี่ให้ต่ำลง (Down Converter)

คลื่นไมโครเวฟขนาดเล็กที่สะท้อนจากสวาทอากาศ จะไปรวมที่จุดโฟกัส ซึ่งมี ตัวรับไดโอดอร์น หรือไดโพลาร์อยู่ จากนั้นผ่านท่อนำคลื่นเข้าสู่เครื่องขยาย สัญญาณรีดสัญญาณรบกวนต่ำ เป็นการขยายสัญญาณเบื้องต้นก่อนคุณสมบัติของ วงจร ขยายรบกวนต่ำถูกออกแบบให้มีสัญญาณรบกวนต่ำอย่างมาก เพื่อที่จะไม่ทำให้เกิด สัญญาณรบกวนไปคบียง สัญญาณไมโครเวฟที่รับได้ (ที่มีกำลังอ่อนมากอยู่แล้ว) คุณสมบัติหรือพารามิเตอร์สำคัญของ วงจรขยายรบกวนต่ำ ก็คือ อุณหภูมิของสัญญาณ รบกวน (noise temperature) และอัตราขยาย (Gain)

ในระบบสื่อสารดาวเทียม สัญญาณรบกวนอันเนื่องมาจาก ความร้อนมีผลต่อ ภาครับเป็นอย่างมาก ในทางนิลสิกส์เราสามารถแปลงค่า กำลังของสัญญาณรบกวน มาเทียบเป็นค่าในหน่วยองศาเคลวินได้และเรียกว่า "อุณหภูมิสัญญาณรบกวน" คล้ายกับพารามิเตอร์ NF (noise figure) ภาครขยายในย่านความถี่ต่ำทั่วไป ยิ่งค่าอุณหภูมิสัญญาณรบกวนยิ่งต่ำ ก็แสดงว่า วงจรขยายรบกวนต่ำ ตัวนี้มีระดับ สัญญาณรบกวนต่ำที่มีคุณภาพดี

สำหรับอัตราขยายของ วงจรขยายรบกวนต่ำ บ่งบอกในหน่วย เดซิเบล มีค่า ทั่วไปประมาณ 30 - 35 เดซิเบล (หรือประมาณ 1000 - 3000 เท่า) วงจร ขยายรบกวนต่ำ ในปัจจุบันจะมีค่าเฉลี่ยของอุณหภูมิสัญญาณรบกวนประมาณ 100 องศาเคลวิน ขยาย 50 เดซิเบล ถ้าดีหน่อยก็ไม่เกิน 60 องศาเคลวิน ขยาย 60 เดซิเบล

คุณสมบัติของวงจรรยาสรรบกววนต่ำ มีความสัมพันธ์กับขนาดของจานเสาอากาศ โดยตรง ถ้าเราเลือกใช้จานเสาอากาศขนาดเล็ก ก็ต้องเลือก วงจรรยาสรรบกววนต่ำ ที่มีคุณสมบัติพิเศษ ตามปกติแล้วเราจะพิจารณา ขนาดของจานเสาอากาศก่อน แล้วจึงแปรค่าคุณสมบัติของ วงจรรยาสรรบกววนต่ำ ตามไป ตัวอย่าง เช่น จานเสาอากาศขนาด 3 เมตร ที่ใช้กับ วงจรรยาสรรบกววนต่ำ 100 องศาเคลวิน จะมีคุณสมบัติเป็นเช่นเดียวกับจานเสาอากาศขนาด 1.8 เมตร ที่ใช้กับ วงจรรยาสรรบกววนต่ำ 60 องศาเคลวิน

โครงสร้างภายใน วงจรรยาสรรบกววนต่ำในปัจจุบันจะใช้เฟดชนิดแกลเลียมอาร์เซไนด์ เป็นอุปกรณ์ขยายสัญญาณ โดยมีการหล่อเย็นให้มีอุณหภูมิต่ำมากเป็นค่าลบหลายสิบองศาเซลเซียส อากาศภายในตัว วงจรรยาสรรบกววนต่ำ จะต้องมีการควบคุมให้นำความร้อน น้อยที่สุด อาจมีปัญหาหลาย ๆ อย่างที่เกิดเนื่องจาก วงจรรยาสรรบกววนต่ำ รั่ว เกิดการถ่ายเทอากาศภายนอกและภายใน ทำให้คุณสมบัติการทำงานของมันเลวมาก

ด้านท้ายของ วงจรรยาสรรบกววนต่ำ เป็นหัวต่อด้านเอาต์พุต โดยจะส่งผ่าน โดยสายโคแอกเซียลพิเศษ ที่มีขนาดใหญ่เรียกว่า เฮลิแอกซ์ RG-213 ไปยังเครื่องแปลงความถี่ที่ต่ำลง (ต่อไปจะเรียกว่า Down Converter)

Down Converter ทำหน้าที่แปลงความถี่จากย่านไมโครเวฟ (C band หรือ Ku band) ลงมาที่ความถี่ IF ในย่าน VHF หรือ UHF ในปัจจุบันความถี่ IF มีให้เลือกหลายค่า แล้วแต่บริษัทผู้ผลิต เช่น 70 MHz , 950 MHz หรือ 1450 MHz

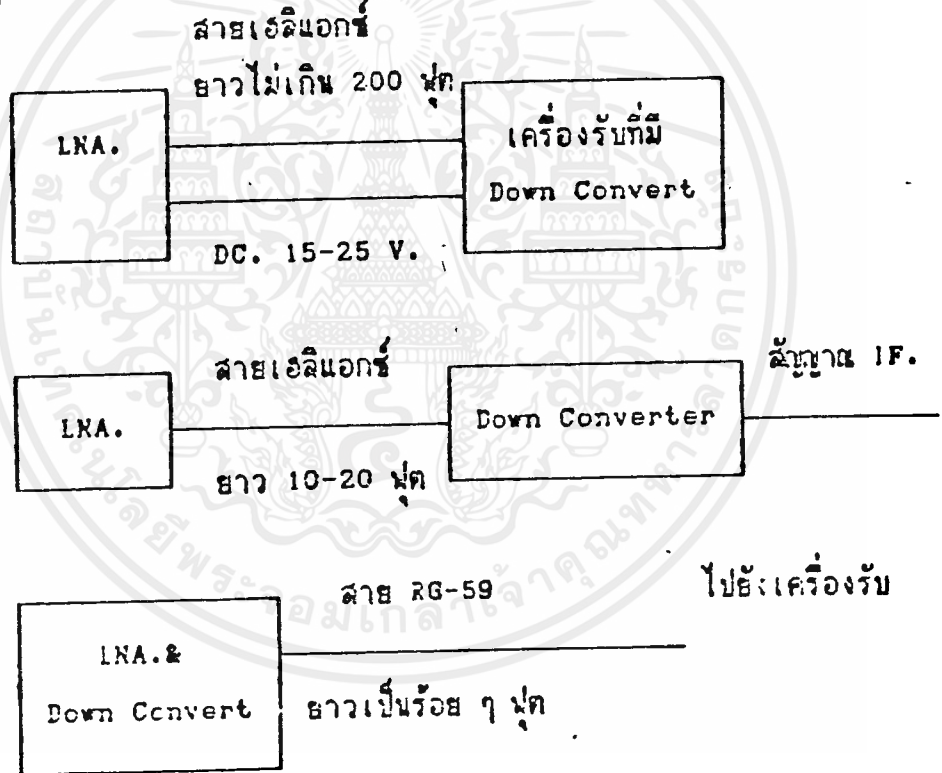
Down Converter มีจุดต่อใช้งาน 3 จุดด้วยกัน คือ อินพุตจาก วงจรรยาสรรบกววนต่ำ , เอาต์พุตซึ่งเป็น IF และ อินพุตที่เป็นสัญญาณควบคุมการจูนเลือกช่องสัญญาณ ซึ่งมาจากเครื่องรับ Satellite Receiver (ซึ่งมีผลทำให้เราสามารถจูนเลือกทรานสปอนเดอร์ ต่าง ๆ) สัญญาณ IF จะส่งผ่านสายโคแอกเซียล RG-59 ไปยัง RF อินพุตของเครื่องรับ Satellite Receiver ต่อไป

การทำงานของ DOWN CONVERTER ก็คือภาคมิกเซอร์ในย่านความถี่ที่ต่ำกว่านั่นเอง ปัจจุบันบริษัทผู้ผลิตได้รวม วงจรรยาสรรบกววนต่ำ และ Down Converter เข้าในตู้เดียวกัน และรวมเรียกว่า LNC (Low-Noise converter) เพื่อลดขนาดของมันลง ลดสายเคเบิลเฮลิแอกซ์ซึ่งมีราคาแพง

(เติมน้ำ Down Converter จะอยู่ภายในอาคาร เราต้องใช้สายเคเบิลต่อเชื่อม จาก วงจรขยายรบกวนต่ำ (เข้าไป) อีกทั้งแน่นอนว่าคัดการลดทอนเนื่องจากสาย เคเบิลส่วนนี้ไปได้ เนื่องจากความถี่สูงการลดทอนสัญญาณเนื่องจากสายเคเบิล ก็ยิ่งสูงไปด้วย

เครื่องรับ Satellite Receiver

เครื่องรับ Satellite Receiver ทำหน้าที่โดยตรงในการคัมดูเลขชั้น สัญญาณภาพ และสัญญาณเสียงกลับมา และการจูนเลือกช่องสัญญาณจากแต่ละ ทรานสปอนเดอร์ของดาวเทียม รูปแบบของเครื่องรับ Satellite Receiver ในปัจจุบันมีหลากหลายราคา แต่จุดประสงค์การทำหน้าที่ของมันก็ยังเป็นเช่นเดิม

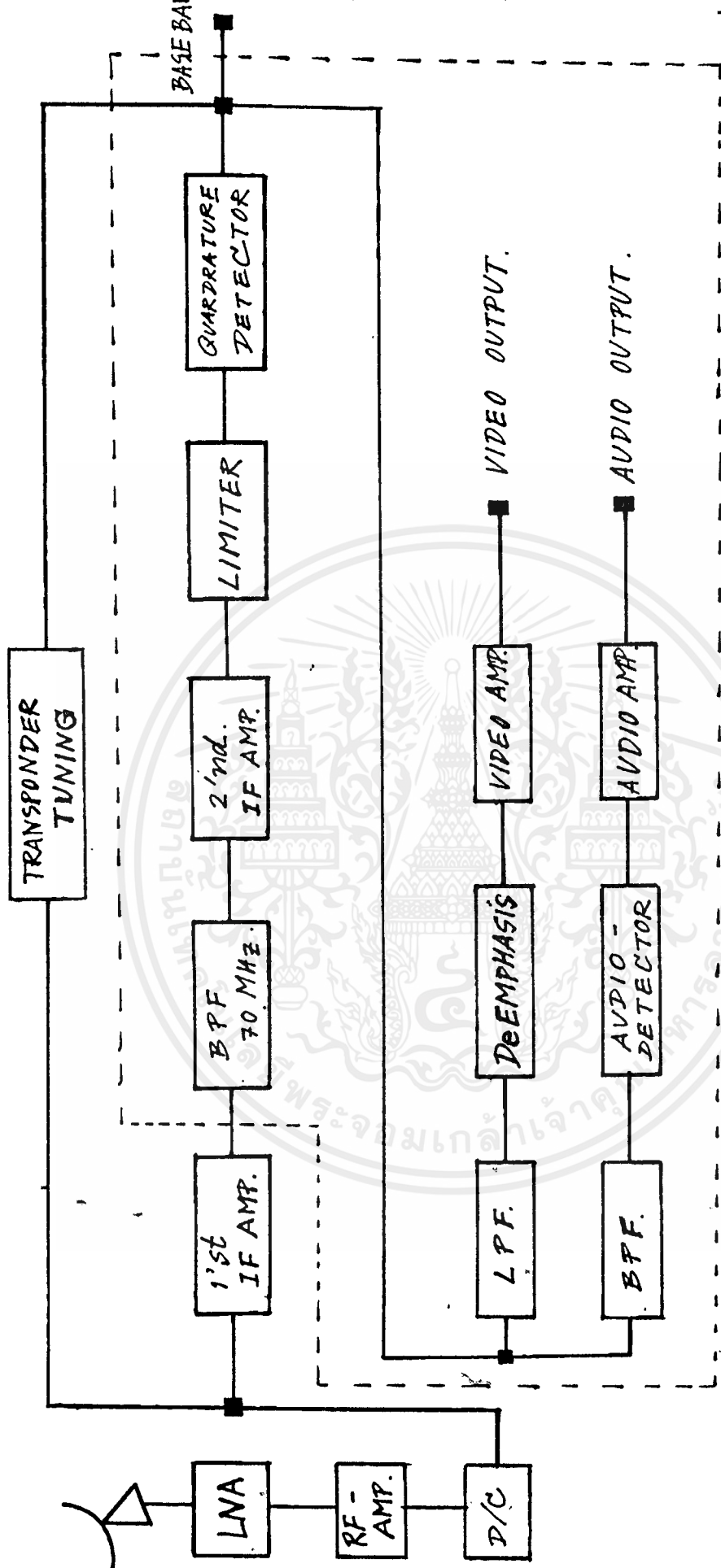


รูปที่ 1.4 วิวัฒนาการของเครื่องรับ Satellite Receiver จากรูปที่ 1.4 แสดงให้เห็นถึงวิวัฒนาการของเครื่องรับ Satellite Receiver ซึ่งเปลี่ยนแปลงตามการเปลี่ยนแปลงของตำแหน่งติดตั้ง Down Converter รูป 1.4 ก. คือระบบดั้งเดิม ซึ่ง Down Converter รวมอยู่กับ เครื่องรับภายในอาคาร ต้องใช้สายเคเบิลเฮลิแอกซ์ ยาวมากเพื่อต่อเชื่อมจาก

วงจรขยายรบกวนต่ำ เข้ามาในอาคาร ค่อยมากี่ระดับขยายเอา Down Converter ไปไว้ใกล้กับ วงจรขยายรบกวนต่ำ มากขึ้น ดังรูปที่ 1.4 ข. และในรูปที่ 1.4 ค. เป็นระบบสุดท้ายซึ่งเอา วงจรขยายรบกวนต่ำและ Down Converter รวมกันเป็น Low Noise Converter ติดตั้งที่จุดโฟกัสของจานเสาอากาศ แล้วต่อเชื่อมด้วย สายโคแอกหรือลวดราคาถูกเข้ามายังเครื่องรับภายในอาคาร

นอกจากหน้าที่ในการคัดเลือกคลื่น และการจูนแล้ว เครื่องรับ Satellite Receiver ยังมีหน้าที่อื่น ๆ อีก เช่น ความคุมการหมุนเปลี่ยนทิศทางของจาน เสาอากาศในการชี้ดาวเทียม การเปลี่ยนโฟรารีเซชัน ฯลฯ





SATELLITE RECEIVER

BLOCK DIAGRAM

เอกสารนี้เป็นเอกสารที่สงวนไว้สำหรับการใช้งานเพื่อการศึกษาเท่านั้น ไม่อนุญาตให้นำไปใช้ประโยชน์ด้านการค้า
 ไม่ว่ากรณีใดๆทั้งสิ้น อีกทั้งห้ามมิให้ตัดแปลงเนื้อหาและต้องอ้างอิงถึงเจ้าของเอกสารทุกครั้งที่มีการนำไปใช้

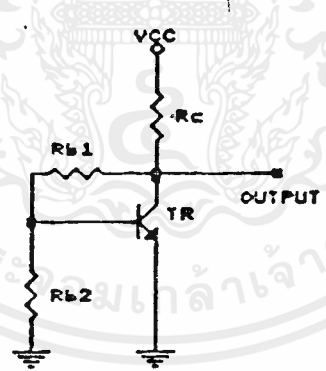
บทที่ 2 ทฤษฎี

เครื่องรับสัญญาณดาวเทียม ประกอบไปด้วยองค์ประกอบหลักหลายส่วนดังที่จะกล่าวถึงในบทนี้ โดยองค์ประกอบต่าง ๆ ของเครื่องรับสัญญาณดาวเทียมจะเชื่อมต่อกันดังบล็อกไดอะแกรม ...

2.1 วงจรขยาย (Amplifier)

2.1.1 IF Amplifier

หน้าที่หลักของวงจร IF Amplifier คือจะทำหน้าที่ขยายสัญญาณ IF ที่ผ่านออกมาจากวงจร Band-Pass Filter หรือ SAW Filter ซึ่งภายในวงจร Band-Pass Filter นี้ จะเป็นตัวที่ทำให้เกิดการสูญเสียของสัญญาณอย่างมาก ถ้าเราย้อนสัญญาณ IF เข้าไปยังวงจร Demodulator สัญญาณ IF อาจจะมีขนาดของสัญญาณต่ำเกินไปกว่าที่วงจร Demodulator จะทำงานได้ เราจึงต้องการการขยายสัญญาณ IF ให้แรงขึ้น และเป็นการเพิ่ม Signal - to - Noise (S/N) ให้มีค่าสูงขึ้น



รูปที่ 2.1.1 วงจรพื้นฐานของ IF Amplifier

วงจรขยายสัญญาณ IF Amplifier จะใช้ Common Emitter ที่มี Collector Resistive Feedback และ มีการเชื่อมต่อระหว่างภาคด้วย

Capacitor โดยทรานซิสเตอร์ที่จะใช้ในวงจร IF Amplifier จะต้องมีความถี่ Gain Bandwidth Cut-off สูงกว่า 70 MHz มีขั้นตอนในการคำนวณดังนี้

$$V = V_{CC} * R_2 / (R_C + R_{b2} + R_{b2})$$

$$I = V - V / R$$

$$I = V / R_C$$

$$I \sim I_C$$

$$I_C = \beta * I_b$$

2.1.2 Video Amplifier

Video Amplifier เป็นส่วนที่ทำหน้าที่ขยายสัญญาณภาพที่แตกคลื่นพาหะออกไปแล้ว เนื่องจากสัญญาณภาพมีช่วง Band Width ที่กว้างมาก วงจรขยายสัญญาณภาพจึงเป็นวงจรขยายแบบ Wide Bandwidth Amplifier ซึ่งจะแตกต่างจากวงจรขยายที่ทั่วไปคือ วงจรขยายสัญญาณภาพจำเป็นต้องมีคุณสมบัติในการตอบสนองความถี่ได้ตลอดย่านความถี่ที่ใช้ในการส่งสัญญาณภาพ นั่นคือสามารถขยายสัญญาณได้ในช่วงความถี่ที่กว้างมาก การที่จะทำให่วงจรขยายสัญญาณได้ในช่วงความถี่กว้างอาจทำได้หลายวิธี เช่น การลด Gain ของวงจรลงมา , การใช้การป้อนกลับแบบลบ เป็นต้น

Video Amplifier วนที่นี้จะใช้ไอซีแบบ Differential Video Amplifier เบอร์ NE 592 ซึ่งสามารถขยายสัญญาณได้ในช่วง Bandwidth 90 MHz ปรับค่า Gain ของวงจรได้จากการควบคุมค่าความต้านทานภายนอกที่

ต่ออยู่กับขา Gain Select ของไอซี เอาท์พุทของ NE 592 มี 2 ทาง ทั้งสอง
กลับเฟสกัน 180 องศา เอาท์พุท ขา 8 เป็นสัญญาณภาพ และเอาท์พุท ขา 7
เป็น Inverse Video

2.2 ออสซิลเลเตอร์ (OSCILLATOR)

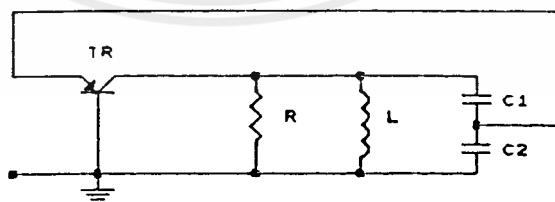
2.2.1 เงื่อนไขการออสซิลเลเตอร์

เงื่อนไขในการออสซิลเลเตอร์ของวงจรออสซิลเลเตอร์

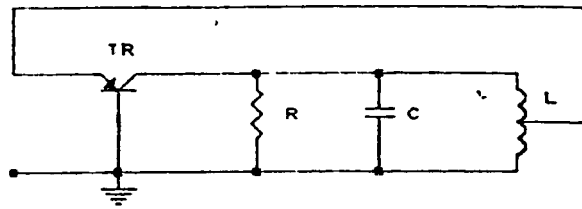
1. ต้องมีการป้อนกลับ (Feedback) จากเอาท์พุทมายังอินพุท และต้องมีค่าลูปเกน (Loop Gain) อย่างน้อยเท่ากับหนึ่ง และมีเฟสชิฟ (Phase Shift) เท่ากับศูนย์องศา
2. ค่าสเทอเรนแนคเตอร์ ของวงจรจะต้องน้อยกว่าหนึ่ง
3. ค่าดีเทอร์มิแนนท์ของสมการ Node Voltage หรือ Mesh Current ต้องเท่ากับศูนย์

2.2.2 วงจรออสซิลเลเตอร์แบบป้อนกลับ

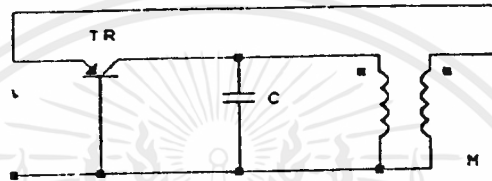
วงจรที่แสดงในรูป 2.2.1 - 2.2.4 เป็นวงจรออสซิลเลเตอร์แบบ
ป้อนกลับที่ใช้กันมากที่สุด บกตีพิมพ์จะใช้ทรานซิสเตอร์ แต่วงจรแบบอื่น และอุปกรณ์
แบบอื่นก็สามารถใช้ได้ เพื่อให้เสถียรภาพดีขึ้นอาจใช้ผลึกควอทซ์ (Quartz Crystal)
แทนรีแอคแตนท์ตัวใดตัวหนึ่งวงจร



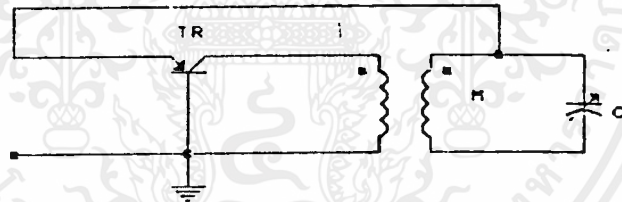
รูป 2.2.1 Colpitts Oscillators



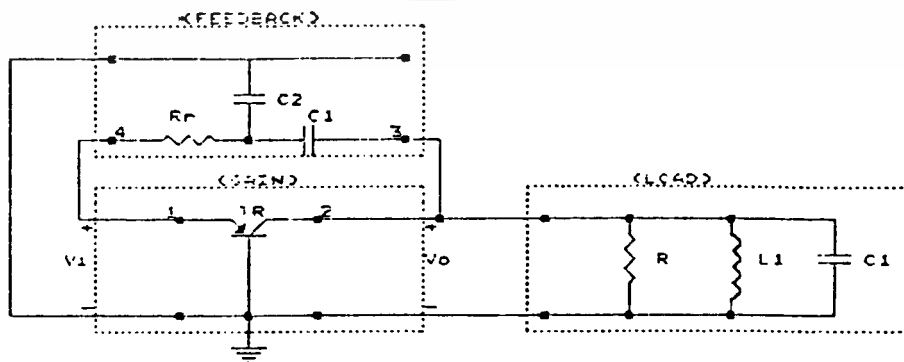
รูป 2.2.2 Hartley Oscillators



รูป 2.2.3 Tuned - Output Oscillators



รูป 2.2.4 Tuned - Input Oscillators



รูป 2.2.5 Colpitts Oscillators แบ่งตามการทำงาน

เอกสารนี้เป็นเอกสารที่สงวนไว้สำหรับการใช้งานเพื่อการศึกษาเท่านั้น ไม่อนุญาตให้นำไปใช้ประโยชน์ด้านการค้า
ไม่ว่ากรณีใดๆทั้งสิ้น อีกทั้งห้ามมิให้ตัดแปลงเนื้อหาและต้องอ้างอิงถึงเจ้าของเอกสารทุกครั้งที่มีการนำไปใช้

จากรูป C_T ถูกใส่เข้าไปเพื่อให้การปรับความถี่ง่ายขึ้น R_T ช่วยลดผลจากการเปลี่ยนแปลงของ อินพุทแอดมิตแตนซ์ของทรานซิสเตอร์ ค่าแรงดัน V_i ที่อินพุทพอร์ทจะทำให้เกิดแรงดันเอาต์พุท V_o ค่า V_o/V_i จะถูกกำหนดโดยพารามิเตอร์ของทรานซิสเตอร์ และค่าโหลดทั้งหมดที่ปรากฏทางด้านเอาต์พุทพอร์ท ซึ่งค่าโหลดทั้งหมดนี้คือ ค่าความต้านทาน จากส่วนของโหลดขนานกับค่าความต้านทานที่มองเข้าไปยังจุด 3 ของวงจรมีอนกลับ

เพื่อให้การออสซิล เลตมี เสถียรภาพ วงจรมีอนกลับต้องมีอน ราว เตจ V_o กลับไปยังอินพุทของทรานซิสเตอร์ ซึ่งหมายความว่า จะต้องมียุทธการขยาย เท่ากับหนึ่ง (Unity Gain) และ Phase Shift = 0 องศา รอบรูป 1-2-3-4-1 วงจรจะออสซิล เลทที่ความถี่ ซึ่งให้ค่า Phase Shift ตามที่กล่าว โดยที่ยุทธการขยายรอบรูปก่อนเกิดการออสซิล เลทต้องมากกว่าหนึ่ง โดยปกติแล้วความถี่ของการออสซิล เลทจะขึ้นอยู่กับการกำหนดค่า L , C ในวงจร ตลอดจนมีติของทรานซิสเตอร์ และ Phase Angle ของยุทธการขยายก็อาจมีผลอย่างมากต่อความถี่ของการออสซิล เลท

วงจรออสซิล เลเตอร์ส่วนมากจะใช้วงจร Common Emitter , Common Base , Common Gate , Common Drain สำหรับทรานซิสเตอร์ นิยมใช้วงจร Common Base สำหรับออสซิล เลเตอร์ เนื่องจาก

1. มีการมีอนกลับภายในตัวทรานซิสเตอร์น้อย ทำให้สามารถควบคุมการมีอนกลับได้ดีด้วยอุปกรณ์ภายนอก
2. ยุทธการขยายกระแส (β) มี Phase Shift น้อยมาก และมีขนาดเกือบเท่ากัน จนถึงความถี่ประมาณ $f_o / 2$ ซึ่งถ้าเป็นวงจรแบบ Common Emitter ค่ายุทธการขยายกระแส (β) จะลดลงเท่ากับ 6 Decibel Octave สำหรับที่ความถี่สูง และมีค่า Phase Shift 90 องศา ซึ่งทำให้การวิเคราะห์วงจรทำได้ยากมากขึ้น

2.3 MIXER

อุปกรณ์ซึ่งมีการทำงานไม่เป็นเชิงเส้นใดๆ สามารถใช้เป็นมิกเซอร์เพราะว่าการทำให้ เกิดความถี่ที่ไม่ได้ป้อนเข้ามาทางอินพุต ต้องอาศัยความไม่เป็นเชิงเส้น (Non Linear) ดังนั้นมิกเซอร์ อาจใช้ไดโอด, ทรานซิสเตอร์, เพท หรือ แม้แต่ ซีแอกเคอร์ที่เชื่อมตัว การออกแบบวงจรจะพิจารณาถึง เกน , นอยซ์ฟิกเกอร์, เสถียรภาพ, วัตตมิกส์เรนจ์ และอินเตอร์มอดดูเลชัน และครอสมอดดูเลชัน

2.3.1 ทฤษฎีพื้นฐานของมิกเซอร์



รูปที่ 2.4.1 แสดงวงจรมิกเซอร์แบบง่าย

รูปที่ 2.4.1 แสดงให้เห็นถึงมิกเซอร์แบบง่าย ซึ่งประกอบด้วยอุปกรณ์ที่ การทำงานไม่เป็นเชิงเส้น และมีอินพุตวอลท์เตจ $V_1(t)$ และ $V_2(t)$ ซึ่งมีความถี่ f_1 และ f_2 ตามลำดับถ้าอุปกรณ์ที่เข้ามิกเซอร์มีการทำงานเป็นเชิงเส้นแล้ว เอาท์พุทวอลท์เตจ หรือกระแสจะประกอบด้วยความถี่ f_1 และ f_2 เท่านั้น แต่อุปกรณ์ที่การทำงานไม่เป็นเชิงเส้น จะทำให้เกิดความถี่อื่น ๆ ออกมา โดยที่วอล ความถี่สัมพันธ์ของอินพุต และ เอาท์พุทในโดเมนของเวลา (Time Domain) สามารถแสดงได้ด้วยอนุกรมของ เทย์เลอร์ (Taylor Serie)

$$I_0(t) = I_0 + aV_1(t) + b[V_2(t)]^2 + c[V_1(t)]^3 + \dots \quad (2.4.1)$$

$$V_2(t) = [V_1 \cos(W_r t) + V_2 \cos(W_0 t)] \quad (2.4.2)$$

$$I_0(t) = I_0 + s[V_1 \cos(W_r t) + V_2 \cos(W_0 t)]$$

$$\begin{aligned}
& + b[V_1 \cos(\omega_r t) + V_2 \cos(\omega_0 t)]^2 \\
& + c[V_1 \cos(\omega_r t) + V_2 \cos(\omega_0 t)]^2 \\
& (V_1 \cos A + V_2 \cos B)^2 \\
= & [V_1 \cos A + 2V_1 \cos A \cos B + [V_2 \cos B]^2 \\
= & [V_1^2 + V_1^2 \cos(2\omega_r t)]/2 + V_1 V_2 [\cos(\omega_r t + \omega_0 t) \\
& + \cos(\omega_r t - \omega_0 t)] + [V_2^2 + \cos(2\omega_r t)]/2
\end{aligned}
\tag{2.4.3}$$

$$[A+B]^3 = A^3 + 3A^2B + 3AB^2 + B^3 \tag{2.4.4}$$

$$\begin{aligned}
i_0(t) = & i_0 + [V_2 \cos(\omega_r t) + V_2 \cos(\omega_0 t)] + [V_1^2/2 \\
& + V_1^2/2 \cos(2\omega_r t) + V_1 V_2 \cos(\omega_0 t + \omega_r t) + V_2^2/2 \\
& + V_2^2/2 \cos(2\omega_0 t)] \dots + [V_1^2/2 \cos(\omega_r t) + V_1^3/4 \\
& (\cos 3\omega_r t + \cos \omega_r t)] + [(3V_1^2 V_2)/2 \cos \omega_0 t + 3V_1^2 V_2 \\
& (\cos(2\omega_r t + \omega_0 t) + \cos(2\omega_r t - \omega_0 t))] \dots + [3V_1 V_2^3 \\
& \cos \omega_r t + (3V_1 V_2^2)/4 (\cos(\omega_r t + 2\omega_0 t) + \cos \\
& (\omega_r t - 2\omega_0 t))] + [V_2^2/2 \cos \omega_0 t + V_2^2/4 (\cos 3\omega_r t \\
& + \cos \omega_0 t)]
\end{aligned}
\tag{2.4.5}$$

โดยที่ i_0 คือกระแส DC ทางเอาต์พุต และ $v_1(t)$ คือผลรวมของสัญญาณทางอินพุตทั้งหมด ถ้าสัญญาณทางอินพุตมีเพียงความถี่เดียว ความถี่ไม่เป็นเชิงเส้นจะทำให้ฮาร์โมนิกส์ (Harmonics) ของความถี่นั้น และทำให้กระแสที่เปลี่ยนแปลงไป ถ้าอินพุตประกอบด้วยหลายความถี่ เอาต์พุตจะประกอบด้วย ทั้งฮาร์โมนิกส์ และผลบวก, ผลต่างของความถี่จากเทอมที่เป็นกำลังสอง ในสมการ [2.4.1] เรียกว่า ผลจากอินเตอร์มอดูเลชันอันดับที่สอง (Second Order - Intermodulation) และจากเทอมกำลังสาม เรียกว่า ผลจากอันดับสาม

อุปกรณ์ซึ่งมีการทำงานเป็น Square - Law เป็นอุปกรณ์ซึ่งเหมาะสมสำหรับงานของมิกเซอร์ที่สุด เนื่องจากจะเกิดผลของความถี่ที่ไม่ต้องการจำนวนน้อยที่สุด ถ้าอุปกรณ์มี

$$I_0(t) = aV_1(t) + v[V_1(t)]^2 \quad [2.4.6]$$

และอินพุท

$$V_1(t) = V_1 \cos \omega_1 t + V_2 \cos \omega_2 t \quad [2.4.7]$$

กระแสทางเอาต์พุทจะเป็น

$$I_0(t) = aV_2 \cos \omega_1 t + aV_2 \cos \omega_2 t + bV_1^2 \cos^2 \omega_1 t + bV_2^2 \cos^2 \omega_2 t + 2vB_1V_2 \cos \omega_1 t \cos \omega_2 t \quad [2.4.8]$$

เทอมสุดท้ายของ [2.4.8] ทำให้ได้เอาต์พุทที่ต้องการนั้นคือ

$$2vB_1V_2 \cos \omega_1 t \cos \omega_2 t = vB_1V_2 [\cos(\omega_1 - \omega_2)t + \cos(\omega_1 + \omega_2)t] \quad [2.4.9]$$

จะเห็นว่าขนาดของแอมพลิจูดของผลต่าง และผลบวกของความถี่ทั้งสองจะขึ้นอยู่กับผลคูณของ V_1 และ V_2 ของสัญญาณอินพุท

โดยทั่วไปสำหรับมิกเซอร์ที่ใช้ในเครื่องรับ เอาต์พุทที่ต้องการคือผลต่างของทั้งสองความถี่ทางอินพุท, ความถี่ฮาร์โมนิกส์ และผลบวกของความถี่ทั้งสองจะถูกกำจัดทิ้งโดยการกรองความถี่ (Filter) หรือวิธีอื่นๆ

2.5 ฟิลเตอร์ (Filter)

2.5.1 วงจร Band-Pass Filter

หน้าที่หลักของวงจร Band-Pass Filter คือให้ความถี่ผ่านไปได้ช่วงความถี่หนึ่งๆ เท่านั้น คือจะให้ความถี่ตั้งแต่ ω_1 - ω_2 โดยความถี่ f_1 , f_2 จะวัดที่จุด -3 เดซิเบล (Half Power Point) โดยมีความถี่ Center ที่ f_0 โดย f_0 บางครั้งเราเรียกว่า ความถี่ค่าเฉลี่ยเรขาคณิต และมีค่าลดทอนของขนาดสัญญาณที่จุด Stop Frequency ปกติจะมากกว่า 40 เดซิเบลขึ้นไป และรูปแบบของ Response ของฟิลเตอร์มี 3 แบบ คือ

1. Butterworth Response
2. Chebyshev Response
3. Bessel Response

โดย Response ใดแต่ละแบบจะมี response ที่มีคุณลักษณะแตกต่างกัน ซึ่งการจะนำมาใช้จะต้องทราบว่าความถี่แบบใดมาใช้ โดยในวิทยานิพนธ์นี้จะใช้ Band-Pass Filter แบบ Chebyshev Filter ซึ่งจะมี Response ที่มีการลดทอนน้อยกว่าแบบอื่น แต่มีข้อเสียคือ ค่าของ Phase จะไม่ราบเรียบ (Flat Response) ใน Band-Pass Filter นี้ จะกำหนดให้มีค่า Ripple ของ Response เท่ากับ 1.0 เดซิเบลและมีค่าลดทอนมากกว่า 40 เดซิเบล ที่จุด Stop Band

2.5.2 การออกแบบฟิลเตอร์โดยใช้วิธีการอิมเมจพารามิเตอร์ (Filter by the image parameter method)

การออกแบบวงจรฟิลเตอร์วิธีการนี้ จะสามารถนำมาใช้กับการออกแบบ Band-Pass และ Stop Band โดยอาศัยคุณสมบัติของการต่อกันแบบ Cascade ของ Two-Port Network ซึ่งเป็นการต่อ Cascade กันของวงจร Low-Pass และ High-Pass

2.5.3 อิมเมจิมพีแดนซ์และทรานเฟอร์ฟังก์ชัน ของ Two-Port Network

(Image Impedances and Transfer FN for Two-Port N.W.)

ในการออกแบบวงจรฟิลเตอร์ เราจะใช้ค่าอิมเมจิมพีแดนซ์ และโวลท์ เทจทรานเฟอร์ฟังก์ชันของ Network โดยการวิเคราะห์อิมเมจพารามิเตอร์

หลักการของ Two-Port Network จะแสดงในรูปแบบที่ 2.5.1 ซึ่งเราจะเรียก Network นี้ว่า ABCD Network ดยทิศทางของกระแส I_2 จะมีทิศทางไหลออกจาก Network ซึ่งค่าอิมเมจพารามิเตอร์นี้ เราจะกำหนดค่าให้เป็น Z_{11} และ Z_{12}

Z_{11} คือค่าอิมพีแดนซ์ที่ Port 1 เมื่อมี Z_{12} ต่ออยู่ที่ Port 2

Z_{12} คือค่าอิมพีแดนซ์ที่ Port 2 เมื่อมี Z_{11} ต่ออยู่ที่ Port 1

$$V_1 = AV_2 + BI_2 \quad [2.5.1]$$

$$I_1 = CV_2 + DI_2 \quad [2.5.2]$$

อิมพีแดนซ์ที่ Port 1 เมื่อ Port 2 ต่อด้วย Z_{12} จะได้

$$\begin{aligned} Z_{in1} &= V_1/I_1 = A.V_2 + B.I_2 / C.V_2 + D.I_2 \\ &= A.Z_{12} + B / C.Z_{12} + D \end{aligned} \quad [2.5.3]$$

$$\text{แต่ } V_2 = Z_{12} \cdot I_2$$

จากสมการที่ 2.5.1, 2.5.2 โดย V_2 และ I_2 จะใช้อินเวอร์ส ABCD Matrix จะได้ $AD-BC = 1$ เพราะนั้นจะได้

$$V_2 = D.V_1 - B.I_2 \quad [2.5.4]$$

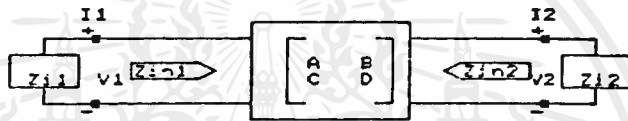
$$I_2 = -C.V_1 + A.I_2 \quad [2.5.5]$$

เพราะฉะนั้นอินพุตอิมพีแดนซ์ที่ Port 2 โดยที่ Port 1 ปิดด้วย Z_{11} สมการหาได้โดย

$$\begin{aligned} Z_{in2} &= -V_2/I_2 = -D.V_1 + B.I_1 / C.V_2 - A.I_2 \\ &= D.Z_{22} + B / C.Z_{22} + A \quad [2.5.6] \end{aligned}$$

แต่ $V_1 = Z_{11}.I_1$

เราจะได้ $Z_{int} = Z_{22}$ และ $Z_{in2} = Z_{12}$ จากสมการที่ 2.5.3 และ 2.5.6 จะเป็นสมการของอิมพีแดนซ์



รูปที่ 2.5.1 Two-Port Network ในรูปของอิมพีแดนซ์

$$Z_{11}(C.Z_{12}+D) = A.Z_{12} + B \quad [2.5.7]$$

$$A_{11}.D - B = Z_{12}(A-C.Z_{11}) \quad [2.5.8]$$

$$\text{จะได้ } Z_{11} = (AB/CD) \quad [2.5.9]$$

$$Z_{12} = (BD/AC) \quad [2.5.10]$$

โดยที่ $Z_{12} = D.Z_{11} / A$ ถ้า Network สมมาตรกัน ดังนั้นจะได้ $A = B$ และ $Z_{11} = Z_{12}$ หลังจากที่ได้ค่าอิมพีแดนซ์พารามิเตอร์แล้ว เราจะมาหาค่า โวลต์เตจทรานเฟอร์ฟังก์ชัน โดยจะต่อด้วยค่าอิมพีแดนซ์ ซึ่งจะแสดงดังรูปที่ 2.5.2

จากสมการ 2.5.4

$$V_2 = D.V_1 - B.I_2 = (D - B/Z_{11}).V_1 \quad [2.5.11]$$

(แต่เราจะให้ $V_1 = I_1.Z_{11}$) เราจะได้อัตราส่วนโวลท์เตจ (Voltage Ratio)

$$\begin{aligned} V_2/V_1 &= D - B/Z_{11} = D - B (CD / AB) \\ &= D/A. (AD - BC) \end{aligned} \quad [2.5.12]$$

$$\begin{aligned} I_2/I_1 &= -C.V_1/I_1 + A = -C.Z_{11} + A \\ &= A/B. (AD - BC) \end{aligned} \quad [2.5.13]$$

ค่าแอมพลิจูด D/A ในสมการ 2.5.12, 2.5.13 ซึ่งเราสามารถหาค่า Propagation Factor ได้คือ

$$e^{-\gamma} = AD - BC \quad [2.5.14]$$



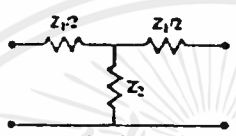
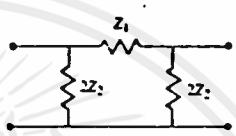
รูปที่ 2.5.2 Two-Port Network ในรูปของอิม เมจอิมพีแดนซ์ และมีแหล่งจ่าย

$$\begin{aligned} \text{โดยที่ } \gamma &= j \quad \text{แต่ } e^{-\gamma} = 1/(AD - BC) \\ &= (AD - BC) / (AD - BC) \\ &= AD + BC \end{aligned} \quad [2.5.15]$$

$$\text{และ} \quad \cosh \gamma = (e^\gamma + e^{-\gamma})/2 \quad [2.5.16]$$

$$\text{ซึ่ง เราจะได้ว่า} \quad \cosh \gamma = AD \quad [2.5.17]$$

มีวงจรที่ใช้มากาน Two - Port Network คือวงจรแบบ T และ π ซึ่งจะเป็นวงจรสมมาตร ดังแสดงในตารางที่ 2.5.1 ซึ่งจะมีค่าอิมเมจพารามิเตอร์ และ Propagation Factor

T Network	π Network
	
ABCD parameters $A = 1 + Z_1/2Z_2$ $B = Z_1 + Z_1^2/4Z_2$ $C = 1/Z_2$ $D = 1 + Z_1/2Z_2$	ABCD parameters $A = 1 + Z_1/2Z_2$ $B = Z_1$ $C = 1/Z_2 + Z_1/4Z_2^2$ $D = 1 + Z_1/2Z_2$
Z parameters $Z_{11} = Z_{22} = Z_2 + Z_1/2$ $Z_{12} = Z_{21} = Z_2$	Y parameters $Y_{11} = Y_{22} = 1/Z_1 + 1/2Z_2$ $Y_{12} = Y_{21} = 1/Z_1$
Image impedance $Z_{i,T} = \sqrt{Z_1 Z_2} \sqrt{1 + Z_1/4Z_2}$	Image impedance $Z_{i,\pi} = \sqrt{Z_1 Z_2} \sqrt{1 + Z_1/4Z_2} = Z_1 Z_2 / Z_{i,T}$
Propagation constant $e^\gamma = 1 + Z_1/2Z_2 + \sqrt{(Z_1/Z_2) + (Z_1^2/4Z_2^2)}$	Propagation constant $e^\gamma = 1 + Z_1/2Z_2 + \sqrt{(Z_1/Z_2) + (Z_1^2/4Z_2^2)}$

ตารางที่ 2.5.1 อิมเมจพารามิเตอร์ของ Network T และ π

2.5.4 Constant - K Filter Sections

การพัฒนา Low-Pass และ High-Pass Filter จะมีพื้นฐานมาจากวงจรแบบ T ดังแสดงดังรูปที่ 2.5.3 โดยที่ High-Pass Filter จะประกอบด้วย ค่าอินดักแตนซ์ และค่าคาปาซิเตอร์ ซึ่งจะทำการกันสัญญาณความถี่สูง และ จะยอมให้สัญญาณความถี่ต่ำผ่านไปได้ ซึ่งอาศัยผลจากตารางที่ 2.5.1 โดยจะว่า

$$Z_1 = j\omega L \quad \text{และ} \quad Z_2 = 1/j\omega C$$



รูปที่ 2.5.3 Two-Pass Constant-K ในรูปของ T และ π

ตั้งนิยาม Image Impedance

$$Z_{2T} = L/C \cdot 1 - \omega^2 LC/4 \quad [2.5.18]$$

เราจะหาความถี่ Cutoff คือ

$$\omega_c = 2 / \sqrt{LC} \quad [2.5.19]$$

และ Nominal Characteristic Impedance (R_o)

$$R_o = L/C = K \quad [2.5.20]$$

โดยที่ค่า K คงที่ สมการที่ 2.5.18 จะจะได้

$$Z_{1T} = R_o (1 - \omega^2 / \omega_c^2) \quad [2.5.21]$$

เมื่อ $Z_{1T} = R_o$ โดยที่ $\omega = 0$

ค่า Propagation Factor จากตารางที่ 2.5.1 จะจะได้

$$e^{\alpha} = 1 - 2\omega^2 / \omega_c^2 + 2\omega / \omega_c \cdot \sqrt{\omega^2 / \omega_c^2 - 1} \quad [2.5.22]$$

โดยที่ค่าความถี่ทั้งสองความถี่จะต้อง เป็นไปตามเงื่อนไขต่อไปนี้

1. โดยที่ $\omega < \omega_c$: จะเป็น Pass Band Filter สมการที่ 2.5.21

จะแสดงค่า Real และ สมการที่ 2.5.21 จะแสดงค่า Imaginary แต่ w^2/wc^2-1 จะเป็นค่าลบและ $e_r = 1$

$$e_r = (1-2w^2/wc^2)^2 + 4w^2/wc^2 (1-w^2/wc^2) = 1$$

2. โดยที่ $w < wc$: จะเป็น Stop Band Filter สมการที่ 2.5.21 จะเป็นค่า Imaginary และสมการที่ 2.5.22 จะแสดงค่า Real ด้วยและ $-1 < e_r < 0$ (ซึ่งก็คือการคิด Limit จาก $w \rightarrow wc$ และ $w \rightarrow 0$) อัตราการลดทอน (Attenuator Rate) ที่ $w \gg wc$ จะเป็น 40 dB/Cascade บกตีค่าเฟส และค่าลดทอนจะแสดงดังจนวนรูปที่ 2.5.4 จะสัง เกตเห็นว่าการลดทอน () จะเป็น 0 หรือมีค่าเล็กน้อย ที่ใกล้จุดความถี่ Cut off จะมี จนถึง $w \rightarrow 0$ หรือ $w \rightarrow \infty$

สำหรับ Low-Pass Filter จนวนรูปที่ 2.5.3 เราจะหา $Z_1 = jwL$ และ $Z_2 = 1/jwC$ ซึ่ง Propagation Factor จะมีค่าเหมือนกับจนวน Low-Pass Filter วงจร T Network และความถี่ Cutoff ($wc0$) และ Nominal Characteristic Impedance (Ro) จะเหมือนกันจนวน T Network ที่ได้ตั้งสมการที่ 2.5.19 และ 2.5.20

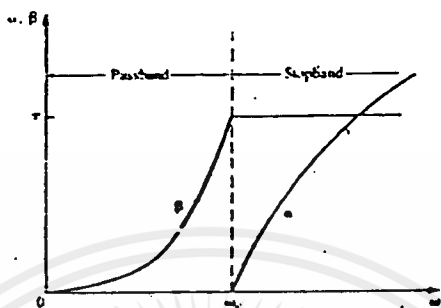
$$\text{ที่ } w = 0 \text{ เราจะหา } Z_{iT} = Z_1 = Ro$$

โดยที่ Z_2 คือ Image Impedance ของวงจร Low-Pass แบบ Network แต่ Z_1 และ Z_{iT} บกตีจะมีค่าไม่เท่ากันที่ความถี่ต่างๆ

High-pass Filter จะแสดงจนวนรูปที่ 2.5.5 เราจะเห็นว่าตำแหน่งของ Inductor และ Capacitor จะตรงกันข้ามกับจนวน Low-Pass ซึ่งจะได้สมการดังนี้

$$R_o = L/C \quad [2.5.23]$$

$$W_c = 1/2 \cdot LC \quad [2.5.24]$$



รูปที่ 2.5.4 คุณสมบัติของ Low-Pass Constant-k ในรูปที่ 2.5.3

2.5.5 n-Derived Filter Sections

เราจะเห็นว่าการใช้วงจรฟิลเตอร์แบบ Constant K จะมีประโยชน์ในทางด้านที่อัตราการลดทอน จะมีค่าน้อยกว่าความถี่ Cut off แต่ค่า Image Impedance จะไม่คงที่ จึงมีการตัดแปลงให้เป็นการฟิลเตอร์แบบ m-Derived ซึ่งจะช่วยในการแก้ปัญหาที่เกิดขึ้นในการฟิลเตอร์แบบ Constant-K



รูปที่ 2.5.5 High-Pass Constant-k ในรูป T และ π

จะแสดงการฟิลเตอร์แบบ m-Derived ซึ่งสมการจากแบบ Constant-K
เราจะแทนค่าหมัดด้วย Z_2 และ Z_2'

$$Z_1' = m \cdot Z_1 \quad [2.5.25]$$

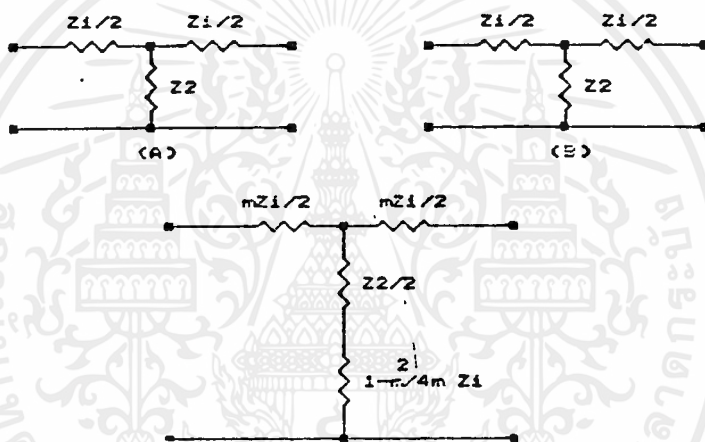
จากตารางที่ 2.5.1

$$\begin{aligned} Z_1' &= (Z_1 \cdot Z_2 + Z_1) / 4 \\ &= (Z_1' \cdot Z_2' + Z_1'^2) / 4 \\ &= (m Z_1 Z_2' + m^2 Z_1^2) / 4 \end{aligned} \quad [2.5.26]$$

หาค่า Z_2' จะได้

$$\begin{aligned} Z_2' &= Z_2 / m + Z_1 / 4m - m Z_1 / 4 \\ &= Z_2 / m + (1 - m^2) / 4m \cdot Z_1 \end{aligned} \quad [2.5.27]$$

Z_2' จะถูกแทนด้วย 2 ส่วนต่ออนุกรมกันดังรูปที่ 2.5.6



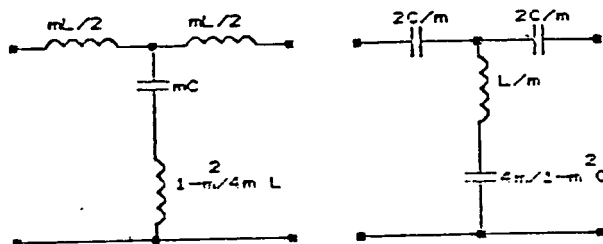
รูปที่ 2.5.6 m-Derived Filter จาก Constant-k

สำหรับ Low-Pass Filter จะให้ $Z_1 = j\omega L$ และ $Z_2 = 1/j\omega C$

จากสมการที่ 2.5.25 และ 2.5.27 จะได้

$$Z_1' = j\omega L m \quad [2.5.28]$$

$$Z_2' = 1/j\omega C m + (1 - m^2) \cdot j\omega L / 4m \quad [2.5.29]$$



จากรูปที่ 2.5.7 เราจะหาค่า Propagation Factor ได้จากตาราง 2.5.1

$$e^{\alpha} = 1 + (Z_2'/2Z_2') + (Z_1'/Z_2') (1+Z_1/4Z_2') \quad [2.5.30]$$

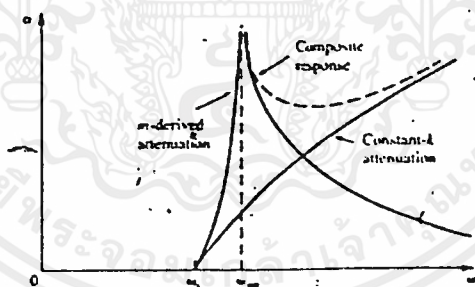
$$\begin{aligned} Z_1'/Z_2' &= jW L m / [(1/jWCm) + jW L m (1-m^2)/4m] \\ &= (2Wm/Wc)^2 / [1-(1-m^2)(W/Wc)^2] \end{aligned} \quad [2.5.31]$$

$$\text{โดย } W_c = 2 / LC$$

$$1 + Z_2'/4Z_2' = [1 - (W/Wc)^2] / [1 - (1-m^2)(W/Wc)^2] \quad [2.5.32]$$

ถ้า $0 < m < 1$ ผลที่ได้คือ e^{α} จะเป็นค่า Real และ $e^{\alpha} > 1$ สำหรับ $W > W_c$ ดังนั้น Stopband จะเริ่มที่ $W = W_c$ สำหรับใน Constant-K จนกระทั่งเมื่อ $W = W_0$ จะได้

$$W_0 = W_c / (1-m^2) \quad [2.5.33]$$



รูปที่ 2.5.8 ชนิดของการลดทอนของ Response สำหรับ Constant-k m-Derived และ Composite Filter

2.5.6 การออกแบบวงจรฟิลเตอร์โดยวิธี Insertion Loss

(Filter Design by the Insertion Loss Method)

วงจรฟิลเตอร์ที่ดีควรมีการลดทอนเป็นศูนย์ ที่ช่วง Passband และจะ

มีการลดทอนเป็นอนันต์ในช่วง Stopband และการตอบสนองทางเฟส เป็นลักษณะที่ Linear ในช่วง Pass-Band

วิธีการแบบอิมเมจพารามิเตอร์ที่ตรงจุดตัดจะมีการตอบสนองที่ไม่ดี ส่วนในแบบ Insertion Loss ที่จุดตัดจะมีมุมที่สูง ซึ่งก็จะทำให้วงจรฟิลเตอร์มีลักษณะใกล้เคียงกันจนสุดมคต

- คุณสมบัติของอัตราการสูญเสียกำลังงาน

(Characterization by Power Loss Ratio)

$$\begin{aligned} P_{LW} &= \text{กำลังงานที่มาจากแหล่งจ่าย} / \text{กำลังงานที่โหลด} \\ &= P_{inc} / P_{load} \\ &= 1 / [1 - |r(\omega)|^2] \end{aligned} \quad [2.5.34]$$

$$IL = 10 \log P_{LR} \quad [2.5.35]$$

โดยที่

P_{LW} - อัตราการสูญเสียกำลังงาน

IL - Insertion Loss หน่วยเป็น dB

จาก

$$|r(\omega)|^2 = N(\omega^2) / [M(\omega^2) + N(\omega^2)] \quad [2.5.36]$$

เมื่อ M และ N เป็นค่าพหุนามมีผลจนวนจริง ใน ω^2 แทนลงในสมการที่ 2.5.34 จะได้

$$P_{LW} = 1 + M(\omega^2) / N(\omega^2) \quad [2.5.37]$$

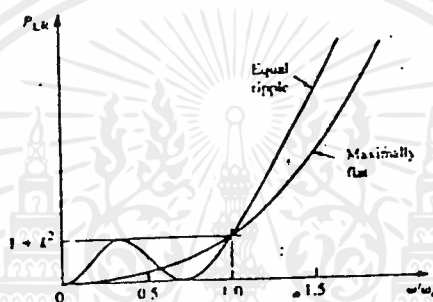
Maximally Flat เป็นคุณสมบัติที่เรียกว่า Binomial หรือ Butterworth Response ที่จะทำให้การตอบสนองความถี่ของ Pass-Band มีความเรียบมากที่สุดโดยการเพิ่ม Order ของวงจรฟิลเตอร์

$$P_{LW} = 1 + k^2 (W/W_c)^{2M} \quad [2.5.38]$$

เมื่อ N - จำนวน Order ของวงจรฟิลเตอร์

W_c - ความถี่ Cutoff

สำหรับใน Pass-Band จะเริ่มตั้งแต่ $W = 0$ ถึง $W = W_c$ ที่ขอบของแถบความถี่ จะมีอัตราการสูญเสียกำลังงาน เท่ากับ $1 + k^2$ ถ้าที่จุด -3 dB ค่า $k = 1$



รูปที่ 2.5.9 แสดงผลของ Maximally Flat และ Equal - Ripple

เมื่อ $W > W_c$ การลดทอนจะมีค่าเพิ่มขึ้นดังจากรูปที่ 2.5.9 และเมื่อ $W \gg W_c$, $P_{LM} \sim k^2 \cdot (W/W_c)^{2M}$ จากรูป อัตราการสูญเสียกำลังงานจะมีอัตราการเพิ่มเป็น 20 dB/Decade

Low-Pass Filter ที่มี Order ที่ N จะได้

$$P_{LM} = 1 + k^2 \cdot T_M^2 \cdot (W/W_c) \quad [2.5.39]$$

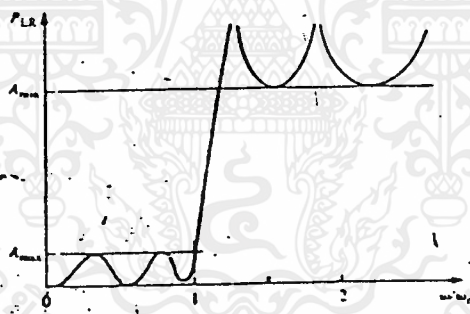
ซึ่งจะทำให้จุด Cutoff มีรูป Curve ที่คม และการตอบสนองช่วง Pass-Band จะมีระดับของRippleเท่ากับ $1 + k^2$ ดังจากรูปที่ 2.5.9 ค่า $T_M(x)$ จะมีค่าระหว่าง $+/-1$ โดยที่ $|x| < 1$ แต่ k^2 จะถูกกำหนดโดยระดับของ Ripple โดยค่า x สูงสุดจะมีค่าที่

$T_N(x) \sim 1/2(2x)^M$ โดยที่ $w \gg w_c$ จะได้ค่า Insertion Loss

$$P_{LR} = (k^2/4) \cdot (2W/W_c)^{2M} \quad [2.5.40]$$

อัตราการเพิ่มขึ้นจะเป็น $20N$ dB/Decade แต่การสูญเสียแบบ Chebyshev จะมีค่ามากกว่าแบบ Polynomial Response

Elliptic Function จากวิธีการทั้งสองแบบที่แล้ว จะทำให้มีการลดทอนเพิ่มขึ้นใน Stop-Band มีอยู่หลายวิธีที่จะทำให้ มีการลดทอนต่ำที่ Stopband ซึ่งใน Elliptic Function นี้ในช่วง Cutoff ต่ำขึ้น ซึ่งจะมีค่า Ripple ในช่วง Stop-Band ต่ำกว่าในช่วง Pass-Band ดังแสดงในรูปที่ 2.5.10 ซึ่งจากรูปจะมีการลดทอนมากที่สุด Passband (A_{max}) และจะมีการลดทอนต่ำที่ Stop-Band (A_{min})

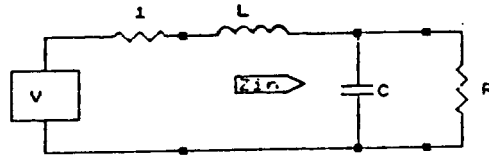


รูปที่ 2.5.10 Elliptic Function ของ Low-Pass Filter

2.5.7 Maximum Flat Low-Pass Filter Prototype

วงจร Low-Pass Filter จะประกอบด้วย 2 ส่วนดังแสดงในรูปที่ 2.5.11 ซึ่งก็คือ L และ C เราจะเห็นว่า ถ้าอิมพีแดนซ์ของแหล่งจ่ายมีค่า = 1 โอห์ม แล้วจะได้ความถี่ Cutoff $w_c = 1$ จากสมการที่ 2.5.38 จะให้ อัตราการสูญเสียกำลังงาน $N = 2$ จะได้

$$P_{LM} = 1 + W^4 \quad [2.5.41]$$



รูปที่ 2.5.11 วงจร Low-Pass Filter ที่ $N = 2$

ค่าอินพุทอิมพีแดนซ์ของวงจรฟิลเตอร์จะมีค่าเท่ากับ

$$Z_{in} = j\omega L + R \cdot (1 - j\omega RC) / (1 + \omega^2 R^2 C^2) \quad [2.5.42]$$

แต่

$$r = (Z_{in} - 1) / (Z_{in} + 1) \quad [2.5.43]$$

อัตราการสูญเสียกำลังงานสามารถเขียนได้เป็น

$$\begin{aligned} P_{LM} &= 1 / (1 - |r|^2) \\ &= \frac{1}{1 - \left[\frac{(Z_{in} - 1)}{(Z_{in} + 1)} \right] \cdot \left[\frac{(Z_{in}^* - 1)}{(Z_{in}^* + 1)} \right]}{2(Z_{in} + Z_{in}^*)} \quad [2.5.44] \end{aligned}$$

$$\text{โดยที่ } Z_{in} + Z_{in}^* = 2R / (1 + \omega^2 R^2 C^2) \quad [2.5.45]$$

$$\text{และ } |Z_{in} + 1|^2 = \frac{R^2}{1 + \omega^2 R^2 C^2} + 1 + \omega^2 L^2 - \frac{\omega^2 R^2 C^2}{1 + \omega^2 R^2 C^2}$$

จากสมการที่ 2.4.44 จะได้ว่า

$$\begin{aligned}
 pLR &= \frac{1+W^2R^2C^2}{4R} \cdot \frac{R+1}{1+W^2R^2C^2} + \frac{WL - WCR^2}{1+W^2R^2C^2} \quad 2 \\
 &= (1/4R)(R^2+2R+1+R^2W^2C^2+W^2L^2+W^4L^2R^2C^2-2W^2LCR^2) \\
 &= 1+(1/4R) [(1-R^2)+L^2-2LCR^2] W^2 + L^2C^2R^2W^4 \quad [2.5.47]
 \end{aligned}$$

สิ่ง เกตุาน เทอมของพหุนามเมื่อจนวน W^2 เปรียบเทียบกับผลจนวนสมการที่ 2.5.41 ำที่ $R = 1, PLM = 1, W = 0$ เมื่อนำมารวมกัน เทอมของ W^2 ก็จจะหมดไป จจะได้

$$C^2 + L^2 - 2LC = (C-L)^2 = 0 \quad [2.5.48]$$

หรือ $L = C$ เมื่อค่า $W^4 = 1$ จจะได้

$$1/4L^2 C^2 = 1/4L^2 \quad [2.5.49]$$

$$L = C = 2 \quad [2.5.50]$$

ำนด้านกำรทำ Filter ำที่ดีทำได้โดยกำรเพิ่มจำนวนของส่วประกอบ N แต่ำนทางบอขีตยไม่สำมำถเพิ่มค่า N ได้มำก สำหรับกำร Normalized ของกำร ออกแบบ Low - Pass Filter จจะำห้มีมพีแดนซ์ของแหล่งจ่ำยเท่ำกับ 1 โทห์ม และควำมถี่ Cutoff $W_c = 1$ เรำจะำได้ค่าส่วประกอบของวงจรต่อแบบ Ladder ดังรูปที่ 2.5.12

ตำรำง 2.5.2 จจะแสดงค่าของส่วประกอบ สำหรับ Low-Pass Filter สำหรับ $N = 1 - 10$ จำกวงจร Ladder ค่าส่วประกอบจะเริ่มตั้งแต่ 90

คือ ค่าอิมพีแดนซ์ที่แหล่งจ่าย จนถึง g_{N+1} คือ อิมพีแดนซ์ที่โหลด ส่วนประกอบเหล่านี้จะต่อแบบอนุกรม และแบบขนานสลับกันๆไป

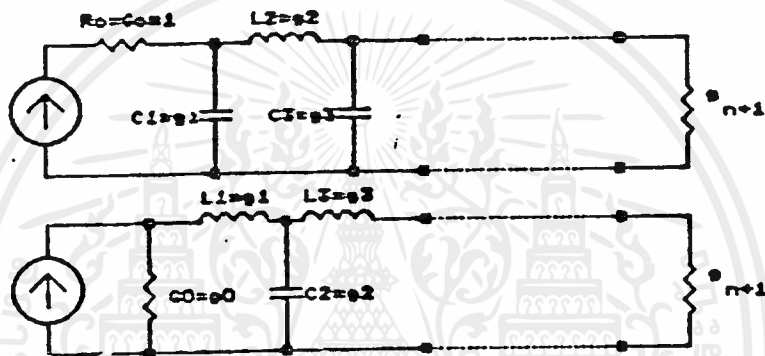
g_0 = ค่าความต้านทานที่แหล่งกำเนิด (รูปที่ 2.5.12a)

ค่าความนำที่แหล่งกำเนิด (รูปที่ 2.5.12b)

g_k = ค่าคาปาซิแตนซ์ที่ต่อขนาน

g_{N+1} = ค่าความต้านทานที่โหลด ถ้า g_N เป็นคาปาซิเตอร์ต่อขนาน

ค่าความนำที่โหลด ถ้า g_N เป็นอินดักเตอร์ต่ออนุกรม



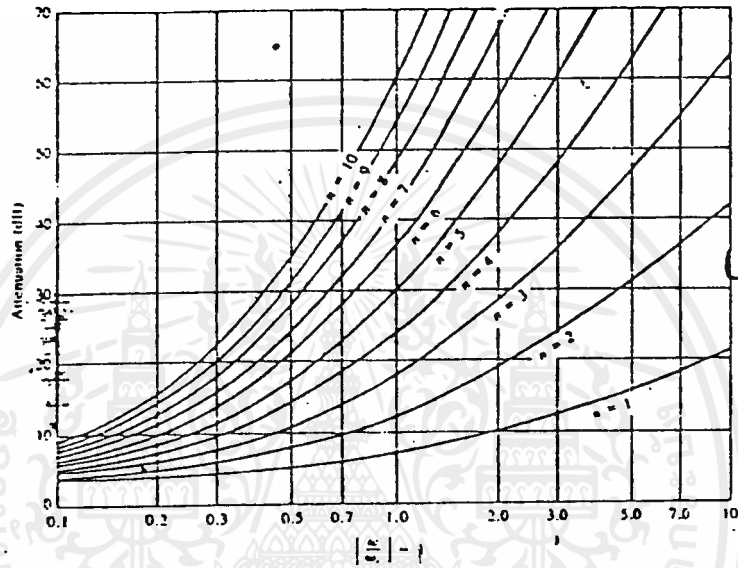
รูปที่ 2.5.12 วงจร Ladder ของวงจร Low-Pass Filter

- a) วงจรจะ เริ่มต้นด้วยการต่อแบบขนาน
- b) วงจรจะ เริ่มต้นด้วยการต่อแบบอนุกรม

N	g_1	g_2	g_3	g_4	g_5	g_6	g_7	g_8	g_9	g_{10}	g_{11}
1	2.0000	1.0000									
2	1.4142	1.4142	1.0000								
3	1.0000	2.0000	1.0000	1.0000							
4	0.7654	1.6478	1.6478	0.7654	1.0000						
5	0.6180	1.6180	2.0000	1.6180	0.6180	1.0000					
6	0.5176	1.4142	1.9318	1.9318	1.4142	0.5176	1.0000				
7	0.4450	1.2470	1.8019	2.0000	1.8019	1.2470	0.4450	1.0000			
8	0.3902	1.1111	1.6629	1.9615	1.9615	1.6629	1.1111	0.3902	1.0000		
9	0.3473	1.0000	1.5321	1.8794	2.0000	1.8794	1.5321	1.0000	0.3473	1.0000	
10	0.3129	0.9050	1.4142	1.7820	1.9754	1.9754	1.7820	1.4142	0.9050	0.3129	1.0000

ตารางที่ 2.5.2 ตารางแสดงค่าส่วนประกอบของ Maximally Flat Low-Pass Filter ($g_0 = 1, Wc = 1, N = 1-10$)

วงจรรูปที่ 2.5.12 สามารถที่จะประกอบแทนกันได้ และจะให้การตอบสนองเหมือนกัน งานการออกแบบเพื่อจะใช้งานจริง จะต้องมีการกำหนดขนาด และ Order ของวงจรมูลเตอร์ ส่วนรูปที่ 2.5.12 จะแสดงคุณสมบัติของการลดทอนที่เปลี่ยนแปลงตามค่า N กับความถี่ Normalized ถ้าต้องการ $N > 10$ เราสามารถทำได้โดยการนำมาต่อ Cadcase กัน



รูปที่ 2.5.13 กราฟแสดงความสัมพันธ์ของการลดทอน กับความถี่ Normalized ของวงจรมูลเตอร์

2.5.8 Equal-Ripple Low-Pass Filter Prototype

จากสมการที่ 2.5.39

$$P_{LM} = 1 + k^2 T_N^2(\omega) \quad (2.5.51)$$

โดย $1+k^2$ คือ ระดับของ Ripple ใน Passband แต่ค่า T_N ในเมียดของ Chebyshev จะได้

$$T_N(0) = 0 \text{ เมื่อ } N \text{ เป็นเลขคู่}$$

$$1 \text{ เมื่อ } N \text{ เป็นเลขคี่}$$

จากสมการที่ 2.5.51 จะแสดงให้เห็นว่า วงจรฟิลเตอร์นั้นจะมีอัตราการสูญเสียกำลังงานเป็น Unity ที่ $W = 0$, N เป็นเลขคี่ และอัตราการสูญเสียกำลังงานจะมีค่าเป็น $1 + k^2$ ที่ $W = 0$, N เป็นเลขคู่ ซึ่งจะเห็นว่าทั้งสองค่าจะขึ้นอยู่กับค่าของ N

สำหรับส่วนประกอบในวงจรฟิลเตอร์รูปที่ 2.5.11 อัตราการสูญเสียกำลังงานจะอยู่ในเทอมของค่าของส่วนประกอบในสมการที่ 2.5.47

$$\text{จาก } T^2(x) = 2x^2 - 1$$

จากสมการที่ 2.5.47 และ 2.5.51 จะได้

$$1 + k^2(4W^4 - 4W^2 + 1) = 1 + 1/4R [(1-R^2) + (R^2C^2 + L^2 - 2LCR^2) W^2 + L^2 C^2 R^2 W^4] \quad [2.5.52]$$

ซึ่งจะทำให้เราสามารถหาค่า R , L และ C ถ้าเราทราบระดับของ Ripple (กำหนดโดย k^2) ดังนั้นที่ $W = 0$ จะได้

$$k^2 = (1-R)^2 / 4R \quad [2.5.53]$$

$$R = 1 + 2k^2 - 2k \sqrt{1+k^2} \quad [2.5.54]$$

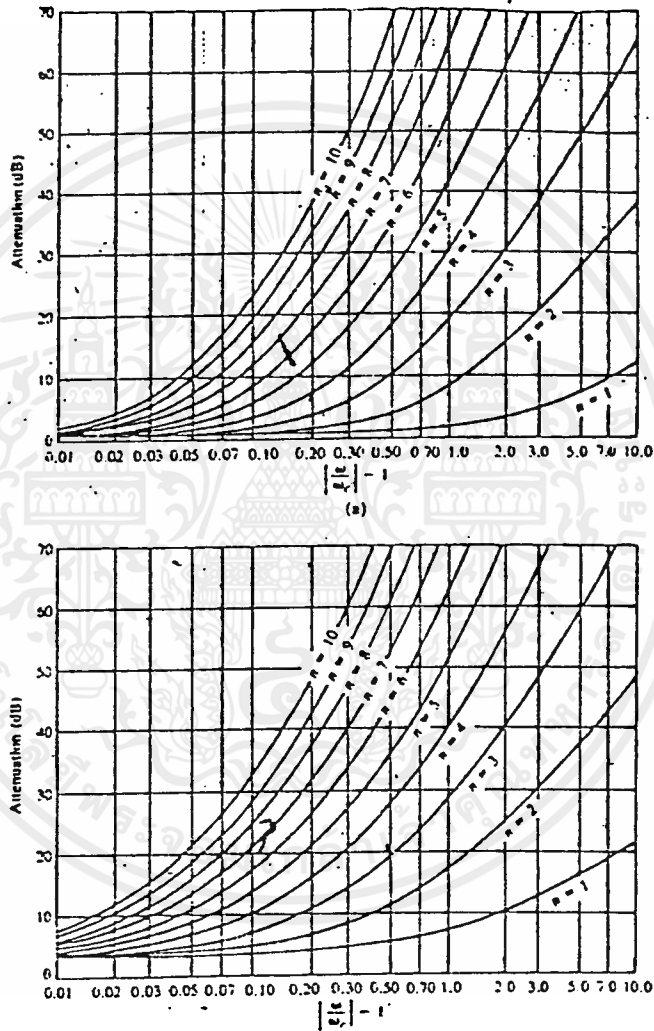
เมื่อ N เป็นเลขคู่ จากสมการกระสิทธิภาพของ W^2 และ W^4 มารวมกันจะได้

$$4k^2 = L^2 C^2 R^2 / 4R \quad [2.5.55]$$

$$-4k^2 = (R^2 C^2 + L^2 - 2LCR^2) / 4R \quad [2.5.56]$$

ดังนั้นเราจะสามารถหาค่า L และ C สำหรับค่า R จะต้องไม่เป็น Unity ตารางที่ 1.11 ออกแบบวงจร Low-Pass Filter เราจะ Normalized ค่าอิมพีแดนซ์ของแหล่งจ่าย และความถี่ Cutoff ($W_0 = 1$) และสามารถที่จะประยุกต์ใช้กับวงจร Ladder ในรูปที่ 2.5.12 ข้อมูลที่ใช้ในการออกแบบขึ้นอยู่กับระดับของ Ripple

ตารางที่ 2.5.3 เป็นตารางที่จะแสดงค่าส่วนประกอบต่าง ๆ ของวงจร Low-Pass Filter ที่มีการ Normalized ไว้แต่ต้น โดยจะมีระดับของ Ripple ที่ 0.5 dB และ 0.3 dB โดย $N = 1-10$ จะสังเกตเห็นว่าอิมพีแดนซ์ของโหลด Z_{N+1} ไม่เท่ากับ 1 ที่ N เป็นเลขคู่ ถ้าเป็นการลดทอนของ Stop-Band รูปกราฟ จะแสดงดังรูปที่ 2.5.14 ซึ่งจะต้องกำหนดจากค่า N ของ Ripple



รูปที่ 2.5.14 กราฟแสดงความสัมพันธ์ของ การลดทอนกับความถี่

Normalized ของวงจรฟิลเตอร์ โดยระดับของ Ripple

a) ระดับของ Ripple ที่ 0.5 dB

b) ระดับของ Ripple ที่ 0.3 dB

ตารางที่ 2.5.3 ตารางแสดงค่าส่วนประกอบของวงจร Equal-Ripple
low-pass filter ($g_0 = 1, W_c = 1, N = 1 - 10$
0.5 dB และ 0.3 dB ของ Ripple

TABLE 9.4 Element Values for Equal-Ripple Low-Pass Filter Prototypes ($g_0 = 1, W_c = 1, N = 1$ to 10, 0.5 dB and 3.0 dB ripple)

0.5 dB Ripple											
N	g_1	g_2	g_3	g_4	g_5	g_6	g_7	g_8	g_9	g_{10}	g_{11}
1	0.6986	1.0000									
2	1.4029	0.7071	1.9841								
3	1.5963	1.0967	1.5963	1.0000							
4	1.6703	1.1926	2.3661	0.8419	1.9841						
5	1.7058	1.2296	2.5408	1.2296	1.7058	1.0000					
6	1.7254	1.2479	2.5664	1.3137	2.4758	0.8696	1.9841				
7	1.7372	1.2583	2.6381	1.3444	2.6381	1.2583	1.7372	1.0000			
8	1.7451	1.2647	2.6564	1.3590	2.6964	1.3389	2.5093	0.8796	1.9841		
9	1.7504	1.2690	2.6678	1.3673	2.7239	1.3673	2.6678	1.2690	1.7504	1.0000	
10	1.7543	1.2721	2.6754	1.3725	2.7392	1.3806	2.7231	1.3485	2.5239	0.8842	1.9841

3.0 dB Ripple											
N	g_1	g_2	g_3	g_4	g_5	g_6	g_7	g_8	g_9	g_{10}	g_{11}
1	1.9953	1.0000									
2	3.1013	0.5239	5.8095								
3	3.3487	0.7117	3.3487	1.0000							
4	3.4389	0.7483	4.3471	0.5920	5.8095						
5	3.4817	0.7616	4.5381	0.7618	3.4817	1.0000					
6	3.5045	0.7665	4.6061	0.7929	4.4641	0.6033	5.8095				
7	3.5182	0.7723	4.6386	0.8039	4.6386	0.7723	3.5182	1.0000			
8	3.5277	0.7745	4.6575	0.8089	4.6990	0.8018	4.4990	0.6073	5.8095		
9	3.5340	0.7760	4.6692	0.8118	4.7272	0.8118	4.6692	0.7760	3.5340	1.0000	
10	3.5384	0.7771	4.6768	0.8136	4.7425	0.8164	4.7260	0.8051	4.5142	0.6091	5.8095

Source: Reprinted from G. L. Matthaei, L. Young, and E. M. T. Jones, *Microwave Filters, Impedance-Matching Networks, and Coupling Structures* (Dorham, Mass.: Artech House, 1980); with permission.

2.5.9 การแปลงฟิลเตอร์ (Filters Transformation)

จากวงจร Low-Pass Filter ที่ Normalized โดยจะให้ค่าอิมพีแดนซ์ที่แหล่งจ่าย $R_s = 1$ โอห์ม, และความถี่ Cutoff $\omega_c = 1$ จากนั้นเราสามารถที่แปลงให้เป็นวงจร High-Pass Filter, Band-Pass Filter หรือ Band-Stop Filter ได้โดยการแปลงจากวงจร Low-Pass Filter

- ขนาดของอิมพีแดนซ์ และความถี่ (Impedance and Frequency Scaling)

ขนาดของอิมพีแดนซ์ในการออกแบบ จะให้ค่าความต้านทานที่แหล่งจ่ายและโหลดจะมีค่าเป็น Unity (เว้นแต่ถ้าค่า N ใน Equal-Ripple Filter เป็นเลขคู่ ค่าความต้านทานของโหลดจึงจะมีค่าไม่เป็น Unity ได้) ค่าความต้านทานของแหล่งจ่ายจะถูกรวมเข้ากับค่าอิมพีแดนซ์จะได้

$$L' = R_o \cdot L \quad [2.5.57]$$

$$C' = C / R_o \quad [2.5.58]$$

$$R_o' = R_o \quad [2.5.59]$$

$$R_1' = R_o \cdot R_1 \quad [2.5.60]$$

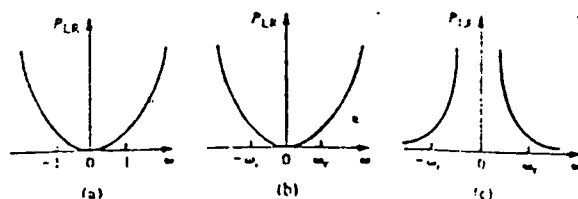
ขนาดของความถี่สำหรับวงจร Low-Pass Filter เราสามารถจะเปลี่ยนความถี่ Cutoff ของวงจร Low-Pass Filter ได้ตั้งแต่ Unity ถึง ω_c โดยขนาดของความถี่จะขึ้นอยู่กับแพคเตอร์ $1/\omega_c$ โดยจะแทน ω ด้วย ω/ω_c

$$\omega \leftarrow \omega/\omega_c \quad [2.5.61]$$

ซึ่งเราจะได้ค่าอัตราการใช้พลังงานใหม่คือ

$$P_{LR}'(\omega) = P_{LR}(\omega/\omega_c) \quad [2.5.62]$$

โดย ω_c คือความถี่ Cutoff ใหม่ เกิดขึ้นเมื่อ $\omega = \omega_c$ ซึ่งสามารถที่จะเขียนรูปของ Passband ใหม่ได้ดังรูปที่ 2.5.15



รูปที่ 2.5.15 ขนาดของความถี่ของวงจร Low-Pass Filter และ
การแปลงเป็น High-Pass

ค่าของอุปกรณ์ทั้งหมดนี้จะขึ้นอยู่กับ การแทนค่าด้วยสมการ 2.5.61 ซึ่งค่า
รีแอคแตนซ์ที่ต่ออนุกรม คือ $j\omega L_k$ และ ไซบเซตแดนซ์ที่ต่อขนาน คือ $j\omega C_k$

$$jX_k = j\omega/C_c \cdot L_k = j\omega L_k' \quad [2.5.63]$$

$$jB_k = j\omega/C_c \cdot C_k' = j\omega C_k' \quad [2.5.64]$$

ดังนั้นค่าอุปกรณ์ทั้งหมดจะเป็น

$$L_k' = L_k/C_c \quad [2.5.65]$$

$$C_k' = C_k/C_c \quad [2.5.66]$$

เมื่อได้ค่าของอิมพีแดนซ์และความถี่แล้วจากผลในสมการที่ 2.5.57 ,
2.5.58, 2.5.59, 2.5.60 และสามารถจะรวมกับสมการที่ 2.5.65,
2.5.66, 2.5.67, 2.5.68 จะได้

$$L_k' = R_o \cdot L_k / C_c \quad [2.5.67]$$

$$C_k' = C_k / R_o \cdot C_c \quad [2.5.68]$$

การแปลงจาก Low-Pass ไปเป็น High-Pass ค่าความถี่จะแทนด้วย

$$\omega \leftarrow \omega / C_c \quad [2.5.69]$$

งานลักษณะเดียวกันของ Low-Pass จะได้

$$C_k' = 1/\omega_o \cdot L_k \quad [2.5.70]$$

$$L_k' = 1/\omega_o \cdot C_k \quad [2.5.71]$$

เมื่อสามารถรวมกับสมการที่ 2.5.57, 2.5.58, 2.5.59, 2.5.60

$$C_k' = 1/R_o \cdot W_c \cdot L_k \quad [2.5.72]$$

$$L_k' = R_o/W_c \cdot C_k \quad [2.5.73]$$

2.5.10 การแปลงเป็น Band-Pass และ Band-Stop

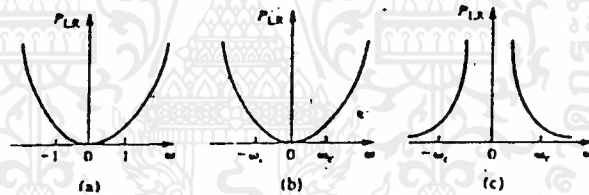
วงจร Low-Pass Filter สามารถที่จะแปลงเป็น Band-Pass หรือ Bandstop ได้ดังรูป 2.5.16 โดยที่ ω_1 และ ω_2 เป็นขอบของ Pass-Band ซึ่งการตอบสนองของ Bandpass จะถูกแทนด้วย

$$W \leftarrow (W/\omega_2 - \omega_1) \cdot (W/\omega_o - \omega_o/W)$$

$$W \leftarrow 1 / (W/\omega_o - \omega_o/W) \quad [2.5.74]$$

โดย $\omega = 1 / (W/\omega_o - \omega_o/W) \quad [2.5.75]$

ถ้าให้ $\omega_o = W \cdot W \quad [2.5.76]$



รูปที่ 2.5.16 การแปลงความถี่ของ Band-Pass และ Band-Stop

จากสมการที่ 2.5.74 เป็นคุณสมบัติของ bandpass ดังรูปที่ 2.5.16b จาก Low-Pass ในรูปที่ 2.5.16a

$$\text{เมื่อ } W = \omega_o i (1/\omega) \cdot (W/\omega_o - \omega_o/W) = 0 \quad [2.5.77]$$

$$\begin{aligned} W &= \omega_{1i} (1/\omega) \cdot (W/\omega_o - \omega_o/W) \\ &= (1/\omega) \cdot (\omega_1^2 - \omega_o^2)/\omega_o \omega_1 = -1 \quad [2.5.79] \end{aligned}$$

$$\begin{aligned}
 W &= W_2 i (1/\Delta) \cdot (W/W_o - W_o/W) \\
 &= (1/\Delta) \cdot (W_2^2 - W_o^2)/W_o W_2 = 1 \quad [2.5.79]
 \end{aligned}$$

เราจะได้อุปกรณ์โดยวิธีสมการที่ 2.5.74 ซึ่งจะได้อิมพีแดนซ์ที่ต่ออนุกรม และค่าชบเซตแดนซ์ที่ต่อขนาน ดังนี้

$$\begin{aligned}
 Jb_k &= (j/\Delta) \cdot (W/W_o - W_o/W) \cdot L_k \\
 &= jWl_k / W_o - jW_o l_k / W \\
 &= jWL_k' - j/WC_k' \quad [2.5.80]
 \end{aligned}$$

ซึ่งจะได้ L และ C ดังนี้

$$L_k' = L_k / W_o \quad [2.5.81]$$

$$C_k' = \Delta / W_o l_k \quad [2.5.82]$$

เช่นเดียวกัน

$$\begin{aligned}
 Jb_k &= (j/\Delta) \cdot (W/W_o - W_o/W) \cdot C_k \\
 &= jWC_k / W_o - jW_o C_k / W \\
 &= jWC_k' - j/WL_k' \quad [2.5.83]
 \end{aligned}$$

ซึ่งจะได้ L และ C ดังนี้

$$L_k' = \Delta / W_o C_k \quad [2.5.84]$$

$$C_k' = C_k / W_o \quad [2.5.85]$$

อุปกรณ์ของ Low-Pass Filter เปลี่ยนเป็นวงจรริชเนนซ์ แบบอนุกรม (ค่าอิมพีแดนซ์ต่ำสุดที่ริชเนนซ์) และสามารถที่จะเปลี่ยนเป็น วงจรริชเนนซ์แบบขนาน (อิมพีแดนซ์สูงสุดที่ริชเนนซ์) ทั้งสองวงจรจะมี ความถี่ริชเนนซ์ที่ ω_c ซึ่งเราสามารถที่จะเปลี่ยนไปเป็นวงจร Band-Stop ได้โดยวิธี

$$W \leftarrow \Delta \cdot (W/W_o - W_o/W)^{-1} \quad [2.5.87]$$

โดยที่ Δ และ W_o จะกำหนดเหมือนกันใน Pass-Band ค่าอินดักเตอร์ที่ต่ออนุกรมใน Low-Pass จะถูกแปลง เป็นวงจร LC แบบขนาน ซึ่งจะ

$$L_k' = A.L_k / \omega_0 \quad [2.5.88]$$

$$C_k' = 1/\omega_0 \cdot L_k \quad [2.5.89]$$

และคาปาซิเตอร์ที่ต่อขนาน จะถูกแปลงเป็นวงจร LC แบบอนุกรม

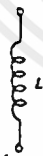

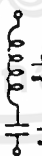

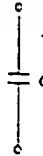
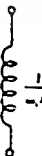
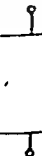

$$L_k' = 1/\omega_0 \cdot L_k \quad [2.5.90]$$

$$C_k' = C_k/\omega_0 \quad [2.5.91]$$

ซึ่งการแปลงจาก Low-Pass Filter ว่าเป็น High-Pass Filter, Band-pass Filter และ Band-Stop Filter สามารถที่จะใช้ได้จาก ตารางที่ 2.5.4

ตารางที่ 2.5.4 รูปแบบการแปลงฟิลเตอร์

TABLE 9.6 Summary of Prototype Filter Transformations

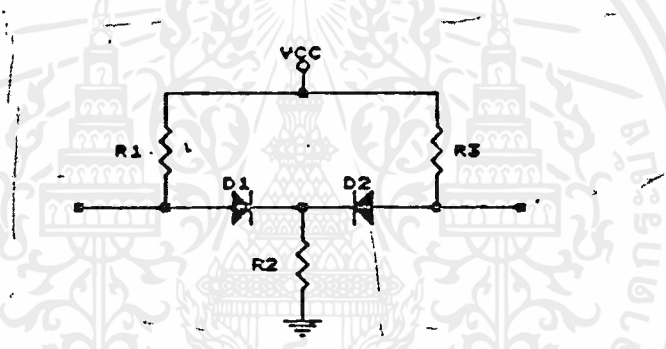
Low-pass	High-pass	Bandpass	Bandstop
			
			

2.6. วงจร Limiter

ส่วนวงจร Limiter จะใช้วงจรขลิบยอดสัญญาณ (Clipping) ทั้งซีกบวกและซีกลบ เพื่อทำให้สัญญาณมีขนาดของสัญญาณคงที่ที่ระดับหนึ่ง และการขลิบยอดสัญญาณจะเป็นการกำจัด Noise ที่เข้ามารบกวนขนาดของสัญญาณและยังทำให้วงจรมอดูเลเตอร์ Demodulator ทำงานได้ในระดับของสัญญาณที่แน่นอน

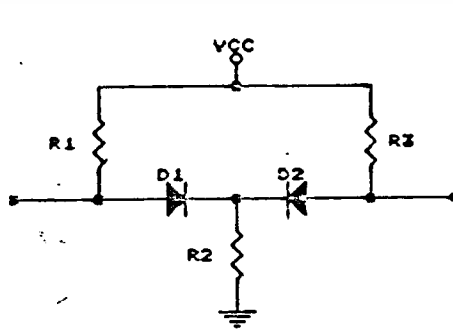
วงจร Limiter จะใช้หลักการของวงจร Clipping ที่ใช้แรงดัน Cut in ของไดโอดเป็นจุดกำหนดแรงดันที่จะขลิบ ดังนั้น ถ้าเราต้องการให้สัญญาณมีขนาดคงที่เราจึงต้องขลิบยอดสัญญาณทั้ง 2 ด้านโดยเราสามารถใช้แค่ตัวเดียวก็ได้ โดยแยกการพิจารณาตามขั้วของสัญญาณที่เข้ามาดังนี้

เมื่อสัญญาณมีขั้ว เป็นบวก เข้ามาจะได้อะไรแบบนี้



การพิจารณาเมื่อสัญญาณที่มีขั้ว เป็นบวก เข้ามาจะสามารถผ่านไดโอดไปได้โดยจะถูกขลิบที่ระดับของแรงดัน Cut-in ของไดโอดประมาณ 0.25 Volt. ส่วนสัญญาณที่มีขั้ว เป็นลบ จะไม่ผ่านไดโอดไปได้ เพราะในกรณีนี้ ไดโอดจะมีความต้านทานสูงมาก ๆ จึงเสมือนเปิดวงจร (Open Circuit)

เมื่อสัญญาณมีขั้ว เป็นลบ เข้ามาจะได้อะไรแบบนี้



เมื่อสัญญาณ เป็นลบ เข้ามาการทำงาน จะเหมือนกับวงจรข้างบน เพียงแต่ จะกลับกัน กล่าวคือสัญญาณที่มีขั้วลบจะสามารถผ่าน ไดโอดเบได้ ในขณะที่สัญญาณที่มี ขั้วบวกจะไม่สามารถผ่าน ไดโอด D₂ เบได้ และในการพิจารณาวงจรทั้ง 2 วงจร ไดโอดทั้ง D₂ จะถูกเบชตรงพร้อมกัน

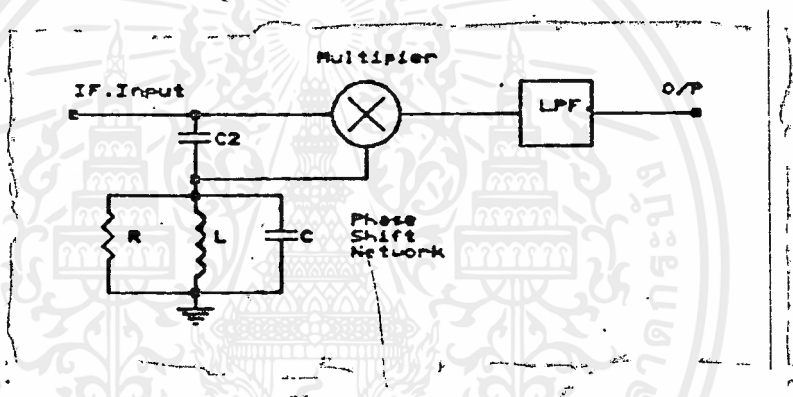
ในการหาค่าความต้านทานที่จะมาจากกระแสแอสให้แก่ไดโอดทั้ง 2 ตัว กระแสเบชตรง ของไดโอดแบบเยอรมันเนียมจะมีค่าไม่เกิน 20 mA, เพื่อความ บลอดภัยแก่ตัวไดโอดเราจะกำหนดให้มีกระแสเบชแก่ไดโอด 5mA, และยิ่งทำให้ Noise ในไดโอดมีค่าไม่มากเกินไป และแรงดันที่จ่ายให้ $V_{CC} = 12V$.

$$\begin{aligned}
 R \text{ forward bias} &= V_{CC} / I_D \\
 &= 12V / 5mA = 2.2 \text{ kohm.}
 \end{aligned}$$

2.7 วงจรตีเทคสัญญาณ

2.7.1 วงจรตีเทคสัญญาณภาพ และคลื่นพาหะของสัญญาณเสียง

ในการตีเทคสัญญาณภาพออกจากคลื่นพาหะ เราจะใช้การตีเทคขึ้นแบบควอดรตาเจอร์ (Quadrature Detector) ในกรณีการตีเทคสัญญาณภาพออกจากคลื่นพาหะ ซึ่งการตีเทคขึ้นแบบนี้จะเป็นการตีเทคขึ้นแบบ เอฟเอ็ม ulyการทางานของควอดรตาเจอร์ตีเทคเตอร์ จะทางานโดยการที่จะรับสัญญาณทางอินพุทมา 2 ทางโดยทั้งสองจะมืเฟสต่างกัน 90 องศา จากนั้นเราจะนำสัญญาณทั้งสองมาคูณกัน แล้วรากนั้นจะผ่าน วงจรกรองความถี่ (Low-Pass Filter) เพื่อกรองเอาเฉพาะสัญญาณที่เราต้องการออกมาซึ่งมีลักษณะดังรูป



รูปที่ 2.7.1 รูปแสดงวงจรควอดรตาเจอร์ตีเทคเตอร์

จากวงจรจะเห็นว่ามืวงจร Phase Shift Network ซึ่งจะทาทหน้าที่นการเลือนเฟส จากอินพุทปกติขยจากเดิม เพื่อเฟสต่างจากเดิม 90 องศา

$$= \frac{1}{2} \sin k(W-W) = \frac{1}{2} \sin k W \tag{2.7.1}$$

โดยที่

- ค่าความต่างเฟส (เรเดียน)
- W - ค่าความถี่กลาง (เรเดียน)
- W - ค่าความถี่ขยละบณะหนึ่ง (เรเดียน)
- W = W - W

ถ้าสมมุติสัญญาณอินพุทของวงจรเป็น $V \sin \omega t$ ส่วนวงจรที่ผ่านวงจร Phase Shift จะได้เป็น

$$V \sin(\omega t + \phi) = V_0 \cos(\omega t - k\omega) \quad [2.7.2]$$

เพื่อนำสัญญาณทั้งสองมาคูณกัน

$$\begin{aligned} & [V_0 \sin \omega t] \cdot [V_0 \cos(\omega t - k\omega)] \\ & = V_0^2 \sin \omega t \cdot \cos(\omega t - k\omega) \\ & = \frac{1}{2} \cdot V_0^2 [\sin(\omega t - k\omega) + \sin(k\omega)] \end{aligned} \quad [2.7.3]$$

ซึ่งเมื่อผ่าน Low Pass Filter ก็จะได้เทอม

$$\frac{1}{2} \cdot V_0^2 \cdot \sin(k\omega)$$

ถ้า $k\omega < 0.25$ เรเดียนจะได้ว่า

$$\sin(k\omega) \approx k\omega \quad [2.7.4]$$

ซึ่งเทอมนี้จะเป็นเชิงเส้นใน ω และจะได้สัญญาณเอาต์พุทที่ต้องการจากรวงจรรูป วงจร Phase Shift จะเป็นวงจร รีซแนนซ์แบบขนาน โดยจะพิจารณาความถี่ที่ความถี่ ω_0 และการเลื่อนเฟส ระหว่าง V_{in} และ V_0 จะเป็น

$$= \text{Arg} (V_0/V_{in}) \approx \phi - \tan^{-1} (Q_0) \quad [2.7.5]$$

เมื่อ $Q_0 =$ เชนค่า Q ที่ความถี่ ω_0

$$= \omega/\omega_0 \quad [2.7.6]$$

สำหรับการเลื่อนเฟสของ วงจรดีเทคเตอร์นั้น เมจ่าเป็นตองที่ 90 องศา
แต่อาจจะเป็น 45 องศา หรือ 135 องศาก็ได้ และจะได้ผลลัพธ์ที่คล้ายกันเช่น
ถ้าที่ความถี่กลาง W_0 , $R = 1 / W_0$

C_2 ที่ความถี่ใดๆ W การเลื่อนเฟส ของสมการ [2.7.5] จะเป็น

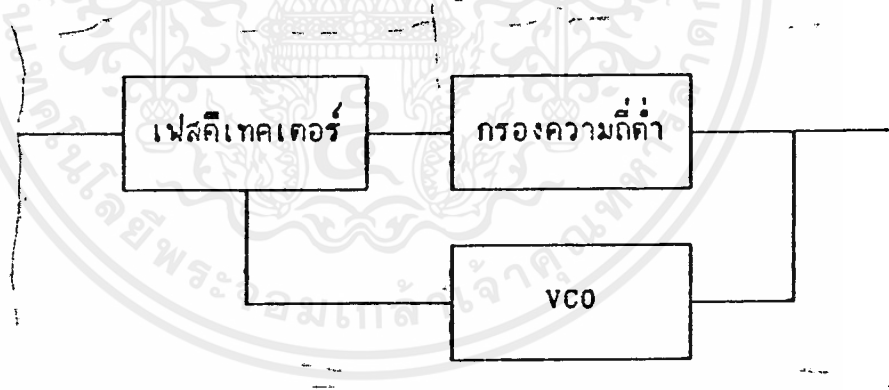
$$= \tan^{-1} \frac{W_0/W}{1+Q_0(W_0/W) [W/W_0-W_0/W]} \quad [2.7.7]$$

2.7.2 วงจรดีเทคสัญญาณภาพ

สัญญาณภาพรวม (Composite Video) ที่ถูกดีเทคที่พาทะเมจครเวฟออก
แบบแล้วนั้นจะประกอบไปด้วย สัญญาณภาพ และ พาทะยอบของสัญญาณเสียง จึงต้องทำ
การแยกสัญญาณเสียง ออกจากสัญญาณภาพ วดโดยการผ่านวงจร Low pass Filter
เพื่อกันเมทสัญญาณเสียงเข้ามารบกวน หลังจากนั้นก็จะเข้า วงจร Video de-
emphasis เพื่อปรับระดับของสัญญาณ ขึ้นเป็นผลเนื่องมาจากการ Pre-emphasis
ทางด้านส่ง หากพิจารณาคุณสมบัติของสัญญาณรบกวนในระบบการส่งสัญญาณแบบ เอพ.
เอ็ม จะพบว่า แอมบลิจูดของสัญญาณรบกวนจะสูงขึ้นตามความถี่ ทาที่ความถี่สูงเกิด
สัญญาณรบกวนมากกว่าช่วงความถี่ต่ำ วิธีการที่จะแก้เอาหตุคุณสมบัติของสัญญาณที่ความถี่
สูงขึ้นก็คือ การยกระดับสัญญาณให้มีแอมบลิจูดสูงขึ้นในช่วงความถี่สูง ้ก็ระดับของ
สัญญาณ และสัญญาณรบกวนแตกต่างกันมากพอเพื่อที่ Noise จะรบกวนแต่ยาก เรา
เรียกกระบวนการนี้ว่า Pre-emphasis และเมื่อสัญญาณเข้าสู่ด้านรับ และทำ
การแยกพาทะออกบแล้ว เราจึงจำเป็นต้องชดเชยผลที่เกิดจาก Pre-emphasis
จึงต้องมีการ De-emphasis ซึ่งก็คือการลดระดับความแรงของสัญญาณในช่วง
ความถี่สูงลง เพื่อให้สัญญาณมีลักษณะที่เหมือนกับอนส่ง เมื่อสัญญาณผ่านวงจร De-
emphasis แล้วก็จะทำการขยายสัญญาณให้เป็นสัญญาณ Video Output

2.7.3 วงจรตีเทคสัญญาณเสียง

ในกรณีนี้เราจะตีเทคสัญญาณเสียงซึ่งมีการ Modulation แบบ F.M. ภายใต้วงจรใช้วงจรวงจรเฟสล็อกคูล (Phase Lock Loop) ซึ่งวงจรวงจร PLL ส่วนใหญ่ มักจะอยู่ในรูปของไอซี ซึ่งสามารถนำมาใช้งานได้อย่างสะดวก ภายใต้วงจร PLL จะประกอบด้วยองค์ประกอบหลักสำคัญคือ เฟสดีเทคเตอร์ (Phase Detector) ฟิลเตอร์ชนิด Low-Pass และออสซิลเลเตอร์ที่ควบคุมความถี่ด้วยแรงดัน Voltage Control Oscillator หรือ VCO ซึ่ง VCO นี้จะออสซิลเลตที่ความถี่อินพุท IF. วงจรเฟสดีเทคเตอร์ จะทำหน้าที่เปรียบเทียบความถี่ของสัญญาณอินพุท กับ สัญญาณจาก VCO. ผลลัพธ์ที่ได้จะเป็นแรงดันที่ความถี่ของ VCO. คลาดเคลื่อน วนจากความถี่อินพุทเรียกว่า แรงดันคลาดเคลื่อน (Error Voltage) แรงดันนี้มีค่า เป็นสัดส่วนกับผลต่างของความถี่อินพุท กับ VCO. แรงดันนี้จะนำเบกรองจุด ฟิลเตอร์ชนิด Low-Pass เพื่อกำจัดสัญญาณความถี่สูงๆ ที่ระบบทั้งเบ ฟิลเตอร์ ดังกล่าวนิยมเรียกว่า Loop Filter จะเป็นตัวกำหนดคุณสมบัติของวงจรวงจร PLL เช่น ช่วงความถี่จะล็อก รวมทั้งช่วงเวลาที่ลูบเข้าในการล็อกความถี่กับอินพุท



รูปแสดงวงจรวงจรภายนอกของเฟสล็อกคูล

แรงดันคลาดเคลื่อนหลังจากกรองความถี่ด้วย low-pass filter แล้วจะ นำมาควบคุมความถี่ของ VCO คือเมื่อมีความถี่อินพุทเปลี่ยนแปลงทางบวก (สูงขึ้น) แรงดันคลาดเคลื่อนจะเกิดแรงดันลบที่เอาท์พุทของเฟสดีเทคเตอร์ แรงดันที่จะถูกกรอง

และนาเบบั้งคืบ VCO ให้ออสซิลเลทที่มีความถี่สูง เพิ่มขึ้นตามความถี่อินพุท เมื่อสัญญาณอินพุทที่ข้อนมา เป็นสัญญาณ FM. VCO จะพยายามเปลี่ยนความถี่ตามการเบี่ยงเบนเบบจากความถี่ของสัญญาณ FM ฉะนั้นแรงดันคลาดเคลื่อนก็เป็นสัญญาณที่มอดดูเลทมา (หลังจากที่เปรียบเทียบกับระหว่างสัญญาณอินพุทกับ VCO แล้ว)

สัญญาณภาพรวมหรือ Base Band จะผ่านฟิลเตอร์ 5-8 MHz ซึ่งสัญญาณจะต้องการที่ความถี่ 6.2 MHz มี Band width 250 kHz จะผ่านเข้าวงจร phase lock loop ซึ่งเราจะใช้เบอร์ NE 564 ทีเดียวจะทาหน้าทีควบคุมคุณภาพแบบวงจรปิด ให้ออสซิลเลทภาพรวมการรับเสียงดีขึ้น เนื่องจากคลื่นพาหะย่อยจะมอดดูเลทให้ มี ช่วงการแกว่งของความถี่เพียง 10% ของการมอดดูเลททั้งย่าน และถูกควบคุมการแกว่ง ดังนั้นการรับจะต้องควบคุมคุณภาพการรับให้ดี การ lock ของ Phase Lock Loop จะสามารถทา VCO ย่อยๆ ขึ้นทีเดียวสามารถปรับความถี่ได้โดย Varicap Diode ย่านที่รับคือ 5-8 MHz ซึ่งหลังจากรับ Sub Carrier Tuning ซึ่งการรับตัวนี้จะเป็นตัวช่วยปรับละเอียดให้ Phase Lock Loop เป็น AFC (Automatic Frequency Control) และ หัดคลื่นรบกวนต่างๆ ซึ่งสัญญาณเสียงจะถูกแยกจากคลื่นพาหะโดย RC Filter และสัญญาณจะถูกขยายก่อนที่จะส่งออกเป็นสัญญาณ "Audio Output"

บทที่ 3

การออกแบบ

3.1 ควอดราเจอร์ทีเทคเตอร์ (Quadrature Detector)

สำหรับวงจรถีเทคเตอร์สัญญาณ ซึ่งมีค่าความถี่กลาง 70 MHz และมีค่าแบนด์วิธที่ 24 MHz สามารถคำนวณค่าอุปกรณ์ของวงจร Phase Shift ได้ดังนี้

$$\Delta f = + 12 \text{ MHz}$$

จากสมการ

$$W = (W_0 - W_0 / (1 + 1/Q))$$

$$2\pi \times 12 \times 10^6 = 2\pi \times 70 \times 10^6 - 2\pi \times 70 \times 10^6 / (1 + 1/Q_0)$$

$$Q_0 = 2.19$$

เราจะใช้ $Q_0 = 2.00$

ถ้ากำหนดค่า $R = 1 / \omega_0 C_2 = 50$ โอห์ม

$$50 = 1 / (2\pi \times 70 \times 10^6 \times C_2)$$

$$C_1 = 45.47 \text{ pF}$$

สำหรับวงจรถีเทคเตอร์แบบขนาน

$$Q = R \omega_0 C_1$$

$$2 = 50 \times 2\pi \times 70 \times 10^6 \times C_1$$

$$C_1 = 9.09 \text{ pF}$$

$$L = 1 / \omega^2 C_1$$

$$L = 56.8 \text{ nH}$$

วงจรควอดราราเจอร์ดี เทคเตอร์จะใช้ไอซีแบบ Balanced Modulator / Demodulator เบอร์ MC1496 ซึ่งเป็นไอซีที่สามารถ สร้างสัญญาณเอาท์พุทจาก สัญญาณอินพุทสองสัญญาณ โดยวงจรควอดราราเจอร์ดี เทคเตอร์นี้จะรับสัญญาณเอาท์พุท ตัวที่ 1 ของวงจรลิมิตเตอร์มาเข้าที่ ขา 8 ของ MC 1496 และ สัญญาณเอาท์พุท อีกตัวหนึ่งจะนำไปผ่านวงจรเลื่อนความถี่ เฟสจาก 180 องศา ให้เหลือความถี่ เฟส 90 องศา แล้วต่อเข้ากับ ขา 4 ของ MC 1496 ซึ่งวงจรควอดราราเจอร์ ดี เทคเตอร์นี้จะทำการแยกเอาสัญญาณ Base Band ออกจากคลื่นพาหะความถี่ IF 70 MHz ซึ่งสัญญาณ Base Band จะประกอบด้วย สัญญาณภาพรวม (Composite Video) และสัญญาณเสียงซึ่งยังมี Subcarrier ของเสียงรวมอยู่ด้วย หลังจาก ที่ได้สัญญาณ เอาท์พุท เมสแบนด์แล้ว ก็จะไปต่อเข้ากับวงจรขยายสัญญาณ เพื่อขยาย ความแรงของสัญญาณก่อนที่จะนำไปทำการแยกสัญญาณเสียงออกจากสัญญาณภาพต่อไป

3.2 วงจรจำกัดขนาดสัญญาณ (LIMITER)

เพื่อให้วงจรดี เทคเตอร์ทำงานได้ในระดับสัญญาณที่แน่นอน ก่อนที่สัญญาณ จะผ่านเข้าวงจรดี เทคเตอร์ จะต้องมีการจำกัดขนาดของสัญญาณ ให้นำที่เสียก่อน โดยไอซีลิมิตเตอร์เบอร์ MC 10116 ซึ่งเป็นวงจรขยายความแตกต่าง ซึ่ง เมื่อ ได้รับแรงดันไบอัสจะทำหน้าที่เป็น วงจร Schmitt Trigger เพื่อทำให้สัญญาณที่ เอาท์พุทคงที่ และยังช่วยลดสัญญาณรบกวนของวงจรโดยจะตัด Impulse Noise ออกไปโดยสัญญาณเอาท์พุทที่ได้จะมีอยู่สองขา มีเฟสต่างกัน 180 องศา นำไปต่อ เข้ากับส่วนของวงจรควอดราราเจอร์ดี เทคเตอร์ต่อไป

3.3 วงจรแบนด์พาสฟิลเตอร์ (Band-Pass Filter)

จากวงจร Low-Pass Filter ที่ N = 3

จากตารางที่ 2.3.5 เราจะใช้ค่า Ripple ที่ 0.5 dB ที่ N = 3 จะได้

$$g_1 = 1.5963 = L_1$$

$$g_2 = 1.0967 = L_2$$

$$g_3 = 1.5963 = L_3$$

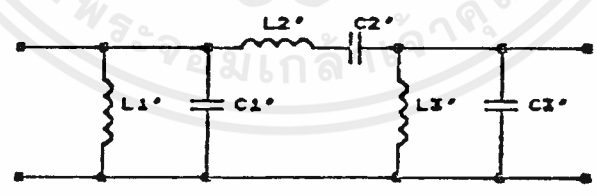
ความถี่ $f_0 = 6.5$ MHz มี Band Width = 3 MHz
 เพราะฉะนั้น

$$\Delta = 3 / 6.5 = 0.07$$

$$W_0 = 2\Delta \times 6.5 \text{ MHz} = 40.8 \times 10^6$$

$$Z_0 = 75 \text{ โอห์ม}$$

จากวงจร Low-Pass Filter แปลงไปเป็นวงจร High-Pass Filter
 โดยใช้ตารางที่ 2.5.4



$$\begin{aligned} L_{1'} &= \Delta \times Z_0 / W_0 \times C_1 \\ &= (.07 \times 75) / (40.8 \times 10^6 \times 1.5963) \\ &= 86.6 \text{ nH} \end{aligned}$$

$$\begin{aligned}
 C_1' &= C_1 / W_0 \times \Delta \times Z_0 \\
 &= 1.5963 / (40.8 \times 10^6 \times 0.07) \\
 &= 7.45 \text{ pF}
 \end{aligned}$$

$$\begin{aligned}
 L_2' &= L_2 \times W_0 \times \Delta \\
 &= (1.0967 \times 75) / (40.8 \times 10^6 \times 0.17) \\
 &= 20.85 \text{ pF}
 \end{aligned}$$

$$\begin{aligned}
 C_2' &= \Delta / W_0 \times L_2 \times Z_0 \\
 &= 0.07 / (40.8 \times 10^6 \times 1.5963 \times 75) \\
 &= 20.85 \text{ pF}
 \end{aligned}$$

$$L_1' = L_3' = 86.6 \text{ nH}$$

$$C_1' = C_3' = 7.45 \text{ pF}$$

3.4 วงจรแยกสัญญาณเสียง (Audio Detector)

วงจรแยกสัญญาณเสียงนี้จะทำหน้าที่ แยกสัญญาณเสียงออกจากสัญญาณพาหะย่อยของเสียงโดยอาศัยหลักการของ เฟสล็อกคูลูป (Phase Lock Loop) ในกรณีนี้จะใช้ IC PLL เบอร์ NE 564 ซึ่งมีโครงสร้างภายใน ตามบล็อคดีอะแกรมตามรูปที่ 3.4.1 ซึ่งเราจะต้องคานวณค่า C ที่จะต่อเข้ากับ VCO (Voltage Control Oscillator) ภายในตัวไอซี ซึ่งค่า C นี้จะเป็นตัวกำหนด ค่าความถี่ในการออสซิลเลทของ VCO (Voltage Control Oscillator)

จาก Data Sheet ของ NE 564

$$f_o = 1 / [25 \times R_c \times (C_1 + C_s)]$$

โดย f_o :: ความถี่ Free Running มีค่า 5 - 8 MHz

R_c :: ค่าความต้านทานภายนอก

C_1 :: Stay Capacitance

$$\text{ที่ } f_o = 5 \text{ MHz}$$

$$\begin{aligned} C_1 &= (1 / 25 \times R_c \times f_o) \\ &= (1 / 25 \times 100 \times 5 \text{ MHz}) \\ &= 80 \text{ pF} \end{aligned}$$

$$\text{ที่ } f_o = 8 \text{ MHz}$$

$$\begin{aligned} C_1 &= (1 / 25 \times R_c \times f_o) \\ &= (1 / 25 \times 100 \times 8 \text{ MHz}) \\ &= 50 \text{ pF} \end{aligned}$$

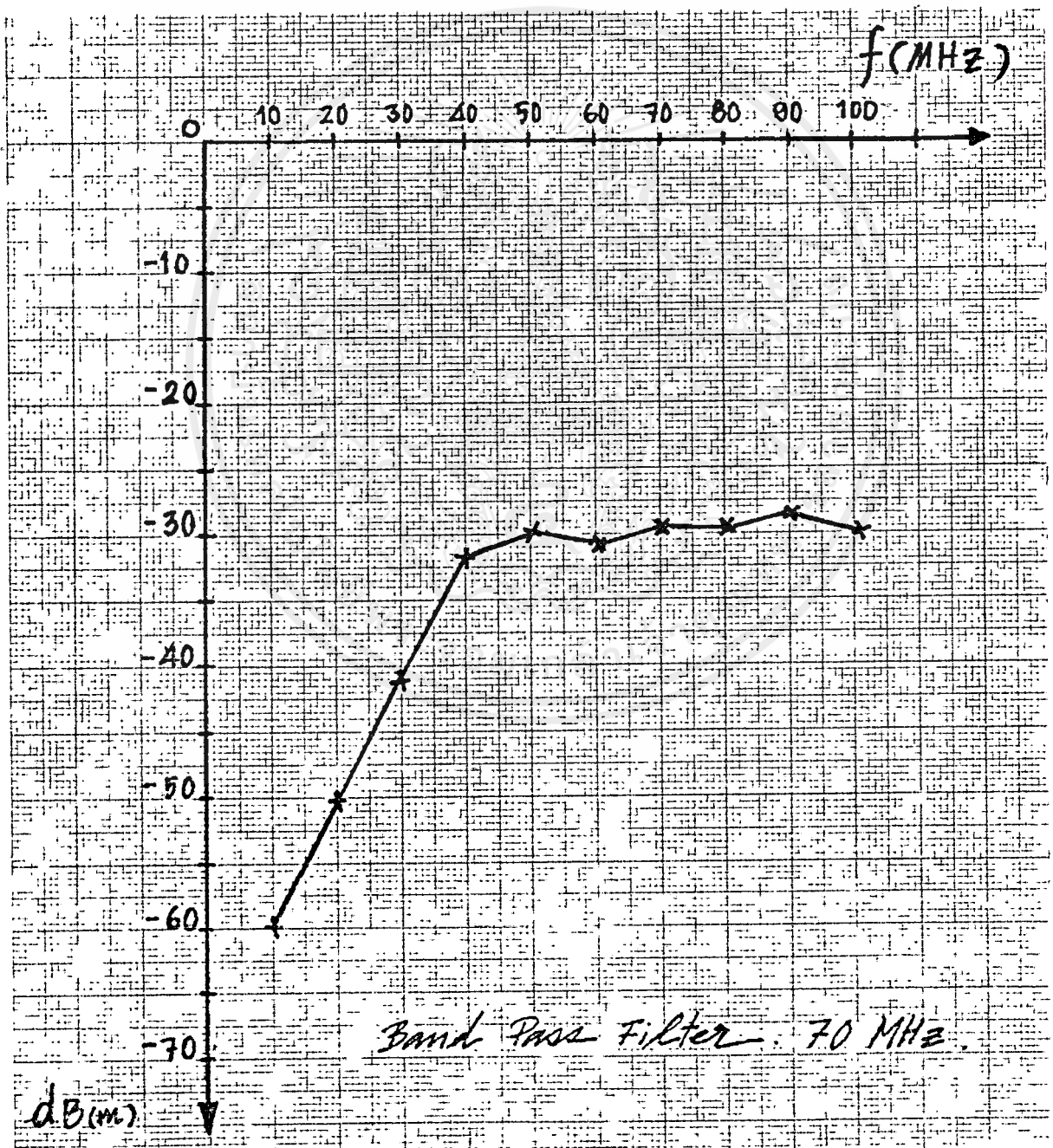
เพราะฉะนั้นค่า C จะมีค่าอยู่ระหว่าง 50 - 80 pF

บทที่ 4

การทดลอง และสรุป

4.1 วงจรแบนด์พาสฟิลเตอร์ความถี่ 70 MHz

ฟิลเตอร์ที่ใช้เป็น SAW Filter ความถี่ 70 MHz จากการทดลองเมื่อป้อนสัญญาณอินพุตความถี่ค่าต่าง ๆ จะได้ผลการทดลองดังกราฟต่อไปนี้



เอกสารนี้เป็นเอกสารที่สงวนไว้สำหรับการใช้งานเพื่อการศึกษาเท่านั้น ไม่อนุญาตให้นำไปใช้ประโยชน์ด้านการค้า
ไม่ว่ากรณีใดๆ ทั้งสิ้น อีกทั้งห้ามมิให้ตัดแปลงเนื้อหาและต้องอ้างอิงถึงเจ้าของเอกสารทุกครั้งที่มีกรนำไปใช้

4.2 วงจรขยายสัญญาณ IF

จากการทดลอง เมื่อป้อนสัญญาณ IF ความถี่ 70 MHz เข้าไปในส่วนของวงจรขยายซึ่งใช้ทรานซิสเตอร์ชนิดความถี่สูง BFR 91 2 ตัว ปรากฏว่าในส่วนนี้ใช้งานได้ดี สัญญาณเอาต์พุตที่ได้ออกมามีรูปร่างไม่ผิดเพี้ยนไปจากสัญญาณเดิม และมีอัตราขยาย 25 dB

4.3 วงจรจำกัดขนาดสัญญาณ

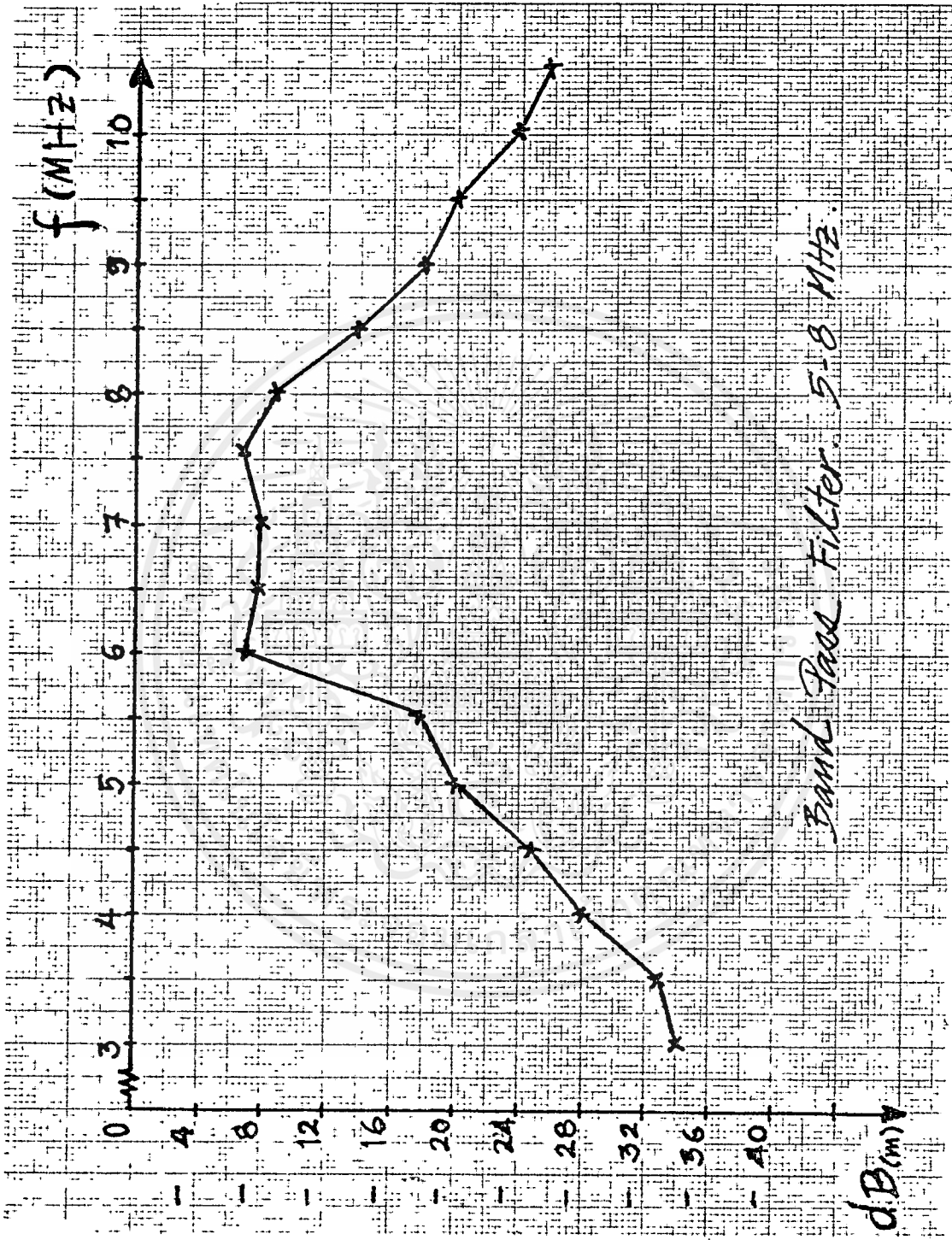
จากการทดลอง เมื่อป้อนสัญญาณ IF ความถี่ 70 MHz ที่ได้จากวงจรขยาย เข้าไปในวงจรจำกัดขนาดสัญญาณ ซึ่งใช้ไอซีเบอร์ MC 10116 เอาต์พุตที่ได้จะมีระดับสัญญาณที่ลดลง แต่ยังคงรูปร่างของสัญญาณเดิม สัญญาณเอาต์พุตที่ขา 2 และ ขา 3 จะมีเฟสแตกต่างกัน 180 องศา

4.4 วงจรขยายสัญญาณภาพ

จากการทดลอง เมื่อป้อนสัญญาณภาพความถี่ 6 MHz ในส่วนของวงจรขยายสัญญาณภาพซึ่งใช้ไอซีเบอร์ NE 592 สัญญาณเอาต์พุตที่ได้มีอัตราขยาย 6 dB เอาต์พุตที่ได้ออกมาจะมีสัญญาณรบกวนเล็กน้อย เมื่อปรับค่าความถี่ที่เปลี่ยนค่าได้ให้วงจรมีอัตราขยายสูงขึ้นกว่า 6 dB สัญญาณเอาต์พุตจะมีรูปร่างผิดเพี้ยนไปจากเดิมมาก

4.5 วงจรแบนด์พาสฟิลเตอร์ 5-8 MHz

วงจรแบนด์พาสฟิลเตอร์นี้จะใช้ Order 3 ฟิลเตอร์ที่ออกแบบนี้มีช่วงแบนด์พาสที่กว้างเกินไป ซึ่งอาจทำให้สัญญาณภาพซึ่งมีความถี่ใกล้เคียงกับความถี่ของพาหะย่อยของสัญญาณเสียงผ่านเข้ามาด้วย จึงควรออกแบบโดยใช้ Order ที่สูงกว่านี้ ซึ่งก็จะทำให้การสร้างวงจรยุ่งยากซับซ้อนขึ้นไปอีก จากการทดลองได้ผลการทดลองดังกราฟต่อไปนี้



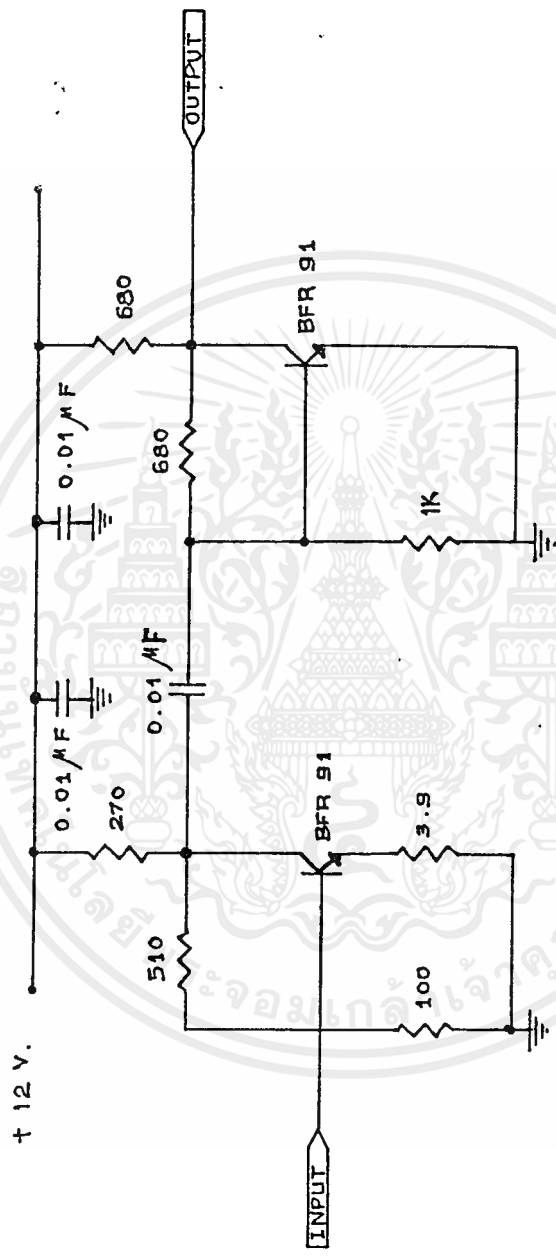
Band Pass Filter. 5-8 MHz.

ผลจากการทดลองและกราฟที่ได้แสดงว่า 5-8 MHz.

4.6 สรุป

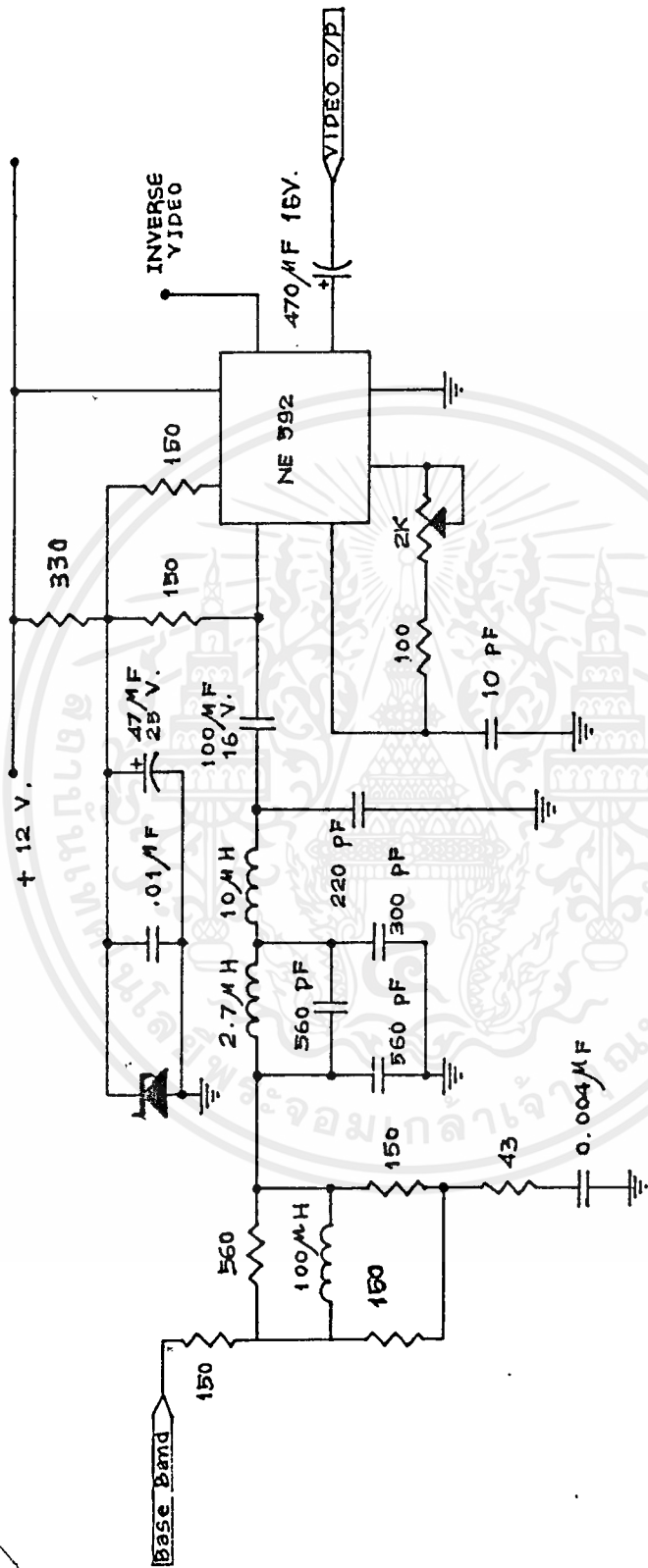
ในการจัดทำเครื่องรับสัญญาณดาวเทียมในครั้งนี มีอุปสรรค และข้อจำกัดในการทําย่อมมากทั้งในเรื่องอุปกรณ์ เครื่องมือต่าง ๆ ที่ใช้สำหรับการทดลอง วงจรที่ทำงานในช่วงความถี่สูง และเนื่องจากทางภาควิชาไม่มีอุปกรณ์สำหรับรับสัญญาณจริงจากดาวเทียม จึงต้องแก้ปัญหาโดยใช้วิธีการสร้างสัญญาณเสมือนโดยใช้ Generator เพื่อใช้ในการทดลอง ดังนั้นโครงการนี้จึงเป็นลักษณะของงานทดลองวิจัย หากจะนำไปใช้งานจริงยังต้องมีการปรับปรุงอีกมาก เนื่องจากสัญญาณที่รับมาโดยตรงจากดาวเทียมจะมีความแรงของสัญญาณที่ต่ำมาก เนื่องจากถูกส่งมาเป็นระยะทางไกลมาก และมีสัญญาณรบกวนมาก ทำให้การออกแบบวงจรขยาย และ วงจรกรองสัญญาณทำได้ยากขึ้น เนื่องจากต้องคำนึงถึงเรื่องของแบนด์วิทที่ต้องครอบคลุมช่วงความถี่ที่ใช้งาน และต้องตัดสัญญาณรบกวนที่รับมาพร้อมกับสัญญาณดาวเทียมออกไปให้มากที่สุด รวมทั้งสัญญาณรบกวนที่เกิดจากอุปกรณ์ต่าง ๆ ในวงจร โดยเฉพาะในส่วนของวงจรที่ทำงานในช่วงความถี่ที่สูงมาก ๆ นอกจากนี้ยังต้องพิจารณาเรื่องการ Matching และเรื่องประสิทธิภาพของสัญญาณภาพ และเสียง ที่ต้องมีการแสดงผลออกทางเครื่องรับโทรทัศน์ ซึ่งจะต้องให้ภาพ และเสียงที่มีความชัดเจน สามารถแสดงข้อมูลข่าวสาร และสื่อความหมายได้ครบถ้วนเช่นเดียวกับสัญญาณที่ส่งมาจากภาคส่ง เหล่านี้ล้วนเป็นปัจจัยสำคัญที่จะละเลยเสียมิได้ในการสร้างเครื่องรับสัญญาณโทรทัศน์จากดาวเทียม





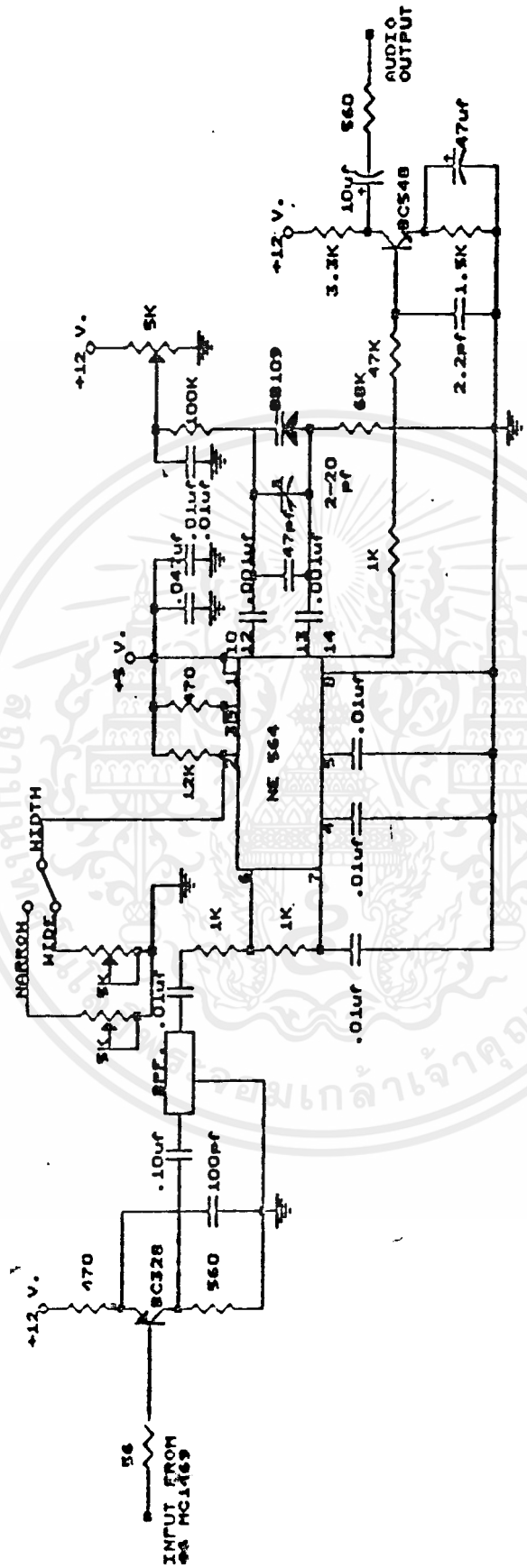
IF AMPLIFIER :: BFR91

เอกสารนี้เป็นเอกสารที่สงวนไว้สำหรับการใช้งานเพื่อการศึกษาเท่านั้น ไม่อนุญาตให้นำไปใช้ประโยชน์ด้านการค้า
ไม่ว่ากรณีใดๆ ทั้งสิ้น อีกทั้งห้ามมิให้ดัดแปลงเนื้อหาและต้องอ้างอิงถึงเจ้าของเอกสารทุกครั้งที่มีการนำไปใช้



VIDEO AMPLIFIER : : NE592

เอกสารนี้เป็นเอกสารที่สงวนไว้สำหรับการใช้งานเพื่อการศึกษาเท่านั้น ไม่อนุญาตให้นำไปใช้ประโยชน์ด้านการค้า
ไม่ว่ากรณีใดๆทั้งสิ้น อีกทั้งห้ามมิให้ตัดแปลงเนื้อหาและต้องอ้างอิงถึงเจ้าของเอกสารทุกครั้งที่มีการนำไปใช้



AUDIO DETECTOR : : NE564

เอกสารนี้เป็นเอกสารที่สงวนไว้สำหรับการใช้งานเพื่อการศึกษาเท่านั้น ไม่อนุญาตให้นำไปใช้ประโยชน์ด้านการค้า
ไม่ว่ากรณีใดๆ ทั้งสิ้น อีกทั้งห้ามมิให้ดัดแปลงเนื้อหาและต้องอ้างอิงถึงเจ้าของเอกสารทุกครั้งที่มีการนำไปใช้

MOTOROLA SEMICONDUCTOR TECHNICAL DATA

NE592 SE592

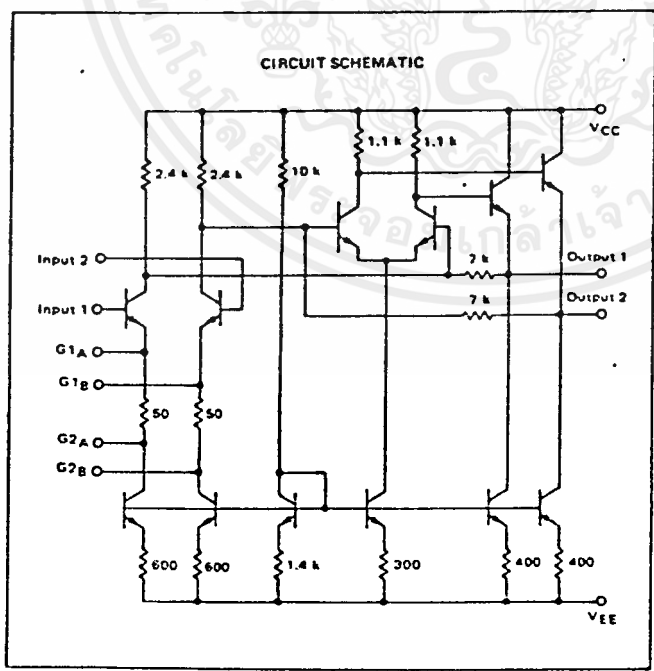
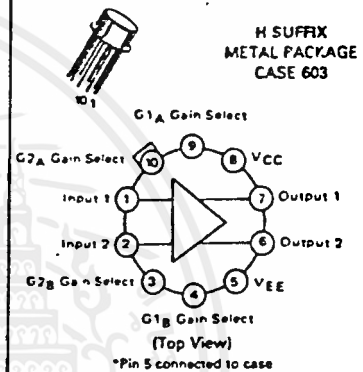
VIDEO AMPLIFIER

SILICON MONOLITHIC INTEGRATED CIRCUIT

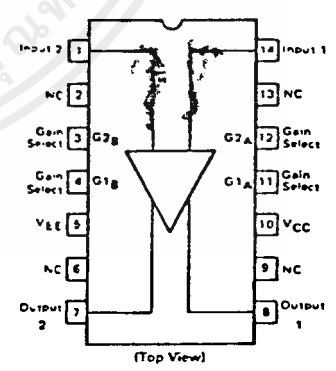
DIFFERENTIAL TWO STAGE VIDEO AMPLIFIER

The SE/NE592 is a monolithic, two stage, differential output, wideband video amplifier. It offers fixed gains of 100 and 400 without external components and adjustable gains from 400 to 0 with one external resistor. The input stage has been designed so that with the addition of a few external reactive elements between the gain select terminals, the circuit can function as a high pass, low pass, or band pass filter. This feature makes the circuit ideal for use as a video or pulse amplifier in communications, magnetic memories, display and video recorder systems. The 592 is a pin-for-pin replacement for the MC1733.

- 90 MHz Bandwidth
- Adjustable Gains From 0 to 400
- Adjustable Pass Band
- No Frequency Compensation Required



PIN CONNECTIONS



ORDERING INFORMATION

Device	Temperature Range	Package
NE592D	0 to 70°C	SO-14
NE592N		Plastic DIP
NE592H		Metal Can
SE592H	-55 to +125°C	Metal Can

เอกสารนี้เป็นเอกสารที่สงวนไว้สำหรับการใช้งานเพื่อการศึกษาเท่านั้น ไม่นอญญาติให้นำไปใช้ประโยชน์ด้านการค้า ไม่ว่าจะกรณีใดๆ ทั้งสิ้น อีกทั้งห้ามมิให้ดัดแปลงเนื้อหาและต้องอ้างอิงถึงเจ้าของเอกสารทุกครั้งที่มีการนำไปใช้

NE592, SE592

MAXIMUM RATINGS (T_A = +25°C unless otherwise noted)

Rating	Symbol	Value	Unit
Power Supply Voltage	V _{CC} V _{EE}	+8.0 -8.0	Volts
Differential Input Voltages	V _{ID}	±5.0	Volts
Common-Mode Input Voltage	V _{IC}	±6.0	Volts
Output Current	I _O	10	mA
Operating Ambient Temperature Range SE592 NE592	T _A	-55 to +125 0 to +70	°C
Operating Junction Temperature Range Metal and Ceramic Packages Plastic Package	T _J	175 150	°C
Storage Temperature Range Metal and Ceramic Packages Plastic Package	T _{stg}	-65 to +150 -55 to +125	°C

ELECTRICAL CHARACTERISTICS T_A = 25°C unless otherwise noted. (V_{CC} = +6.0 V, V_{EE} = -6.0 V, V_{CM} = 0)

Characteristic	Symbol	SE592			NE592			Units
		Min	Typ	Max	Min	Typ	Max	
Differential Voltage Gain - Figure 3 (R _L = 2 kΩ, e _{out} = 3 Vp-p) (Gain 1, Note 1) (Gain 2, Note 2)	A _{vd}	300 90	400 100	500 110	250 80	400 100	600 120	V/V
Bandwidth - Figure 3 (Gain 1, Note 1) (Gain 1, Note 2)	BW	- -	40 90	- -	- -	40 90	- -	MHz
Rise Time - Figure 3 (Gain 1, e _{out} = 1 Vp-p, Note 1) (Gain 2, e _{out} = 1 Vp-p, Note 2)	t _{TLH} t _{THL}	- -	10.5 4.5	- 10	- -	10.5 4.5	- 12	ns
Propagation Delay - Figure 3 (Gain 1, e _{out} = 1 Vp-p, Note 1) (Gain 2, e _{out} = 1 Vp-p, Note 2)	t _{PLH} t _{PHL}	- -	7.5 6.0	- 10	- -	7.5 6.0	- 10	ns
Input Resistance (Gain 1, Note 1) (Gain 2, Note 2)	R _{in}	- 20	4.0 30	- -	- 10	4.0 30	- -	kΩ
Input Capacitance (Gain 2, Note 2)	C _{in}	-	2.0	-	-	2.0	-	pF
Input Offset Current (Gain 3, Note 3) - Fig. 2	I _{IO}	-	0.4	3.0	-	0.4	5.0	μA
Input Bias Current (Gain 3, Note 3) - Fig. 2	I _{IB}	-	9.0	20	-	9.0	30	μA
Input Noise Voltage (Gain 1 and Gain 2) (BW = 1 kHz to 10 MHz) - Figure 1	V _n	-	12	-	-	12	-	μV(rms)
Input Voltage Range (Gain 2, Note 2) - Fig. 3	V _{in}	±1.0	-	-	±1.0	-	-	V
Common-Mode Rejection Ratio - Figure 3 (Gain 2, V _{CM} = ±1 V, f < 100 kHz) (Gain 2, V _{CM} = ±1 V, f = 5 MHz)	CMRR	60 -	86 60	- -	60 -	86 60	- -	dB
Supply Voltage Rejection Ratio - Figure 2 (Gain 2, ΔV _S = ±3.5 V)	PSRR	50	70	-	50	70	-	dB
Output Offset Voltage - Figure 2 (Gain 3, R _L = ∞, Note 3)	V _{OO}	-	0.35	0.75	-	0.35	0.75	V
Output Common-Mode Voltage - Figure 2 (R _L = ∞, Gain 3, Note 3)	V _{CMO}	2.4	2.9	3.4	2.4	2.5	3.4	V
Output Voltage Swing - Figure 3 (R _L = 2k, Gain 2, Note 2)	V _O	3.0	4.0	-	3.0	4.0	-	Vp-p
Output Resistance	r _o	-	20	-	-	20	-	Ω
Power Supply Current - Figure 2 (R _L = ∞, Gain 2, Note 2)	I _D	-	18	24	-	18	24	mA

- Note 1. Gain select pins G1_A and G1_B connected together.
- Note 2. Gain select pins G2_A and G2_B connected together.
- Note 3. All gain select pins open.

NE592, SE592

ELECTRICAL CHARACTERISTICS $T_A = T_{high}$ to T_{low} unless otherwise noted.* ($V_{CC} = +6.0$ Vdc, $V_{EE} = -6.0$ Vdc, $V_{CM} = 0$)

Characteristic	Symbol	SE592			NE592			Units
		Min	Typ	Max	Min	Typ	Max	
Differential Voltage Gain - Figure 3 ($R_L = 2$ k Ω , $e_{out} = 3$ Vp-p) (Gain 1, Note 1) (Gain 2, Note 2)	A_{vd}	200 80	- -	600 120	250 80	- -	600 120	V/V
Input Resistance (Gain 2)	R_{in}	8.0	-	-	8.0	-	-	k Ω
Input Offset Current (Gain 3) - Figure 2	I_{IO}	-	-	5.0	-	-	6.0	μ A
Input Bias Current (Gain 3) - Figure 2	I_{IB}	-	-	40	-	-	40	μ A
Input Voltage Range (Gain 2) - Figure 3	V_{in}	± 1.0	-	-	± 1.0	-	-	V
Common-Mode Rejection Ratio - Figure 3 (Gain 2, $V_{CM} = \pm 1$ V, $f < 100$ kHz)	CMRR	50	-	-	50	-	-	dB
Supply Voltage Rejection Ratio - Figure 2 (Gain 2, $\Delta V_s = \pm 0.5$ V)	PSRR	50	-	-	50	-	-	dB
Output Offset Voltage (Gain 3) - Figure 2	V_{OO}	-	-	1.2	-	-	1.5	V
Output Voltage Swing (Gain 2) - Figure 3	V_O	2.5	-	-	2.5	-	-	Vp-p
Power Supply Current (Gain 2) - Figure 2	I_D	-	-	27	-	-	27	mA

* $T_{low} = 0^\circ$ C for NE592, -55° C for SE592
 $T_{high} = +70^\circ$ C for NE592, $+125^\circ$ C for SE592

GENERAL TEST CIRCUITS
 FIGURE 1

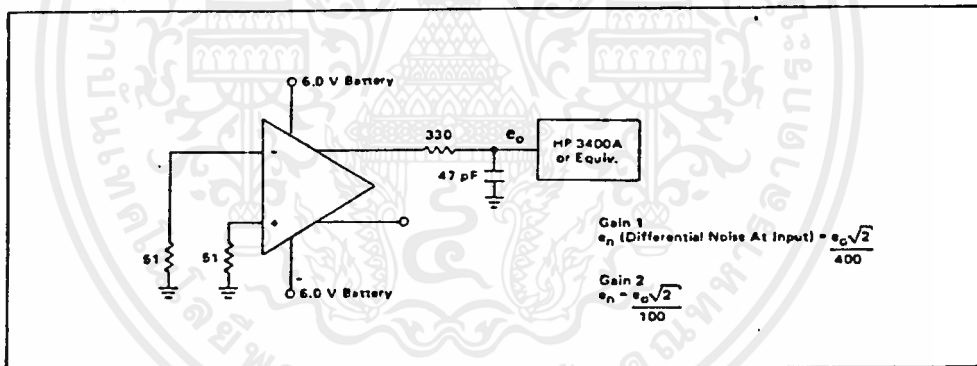


FIGURE 2

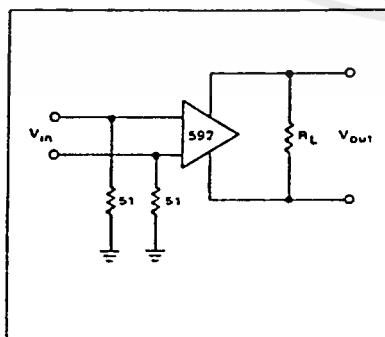
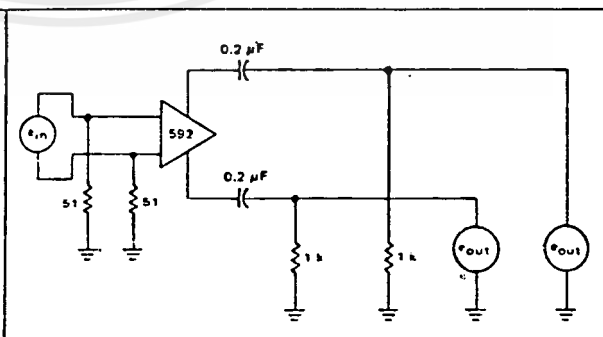


FIGURE 3



NE592, SE592

FIGURE 4 - GAIN 1 versus FREQUENCY

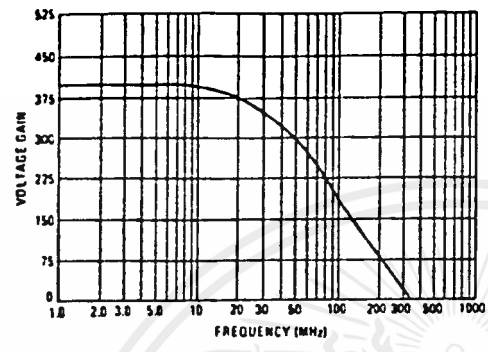


FIGURE 5 - GAIN 2 versus FREQUENCY

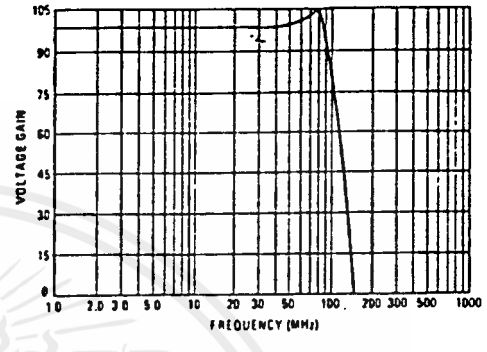


FIGURE 6 - OUTPUT VOLTAGE SWING AS A FUNCTION OF FREQUENCY

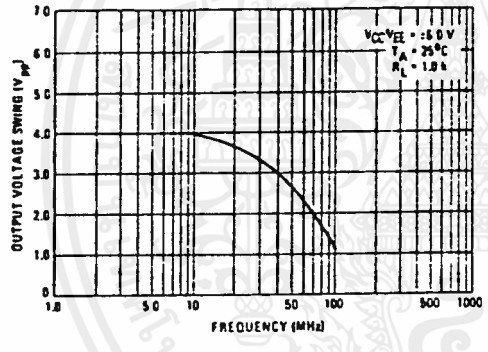


FIGURE 7 - OUTPUT VOLTAGE SWING AS A FUNCTION OF LOAD RESISTANCE

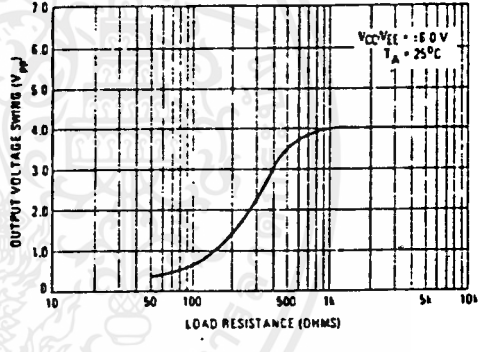
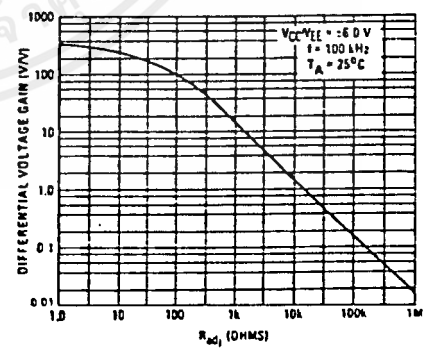
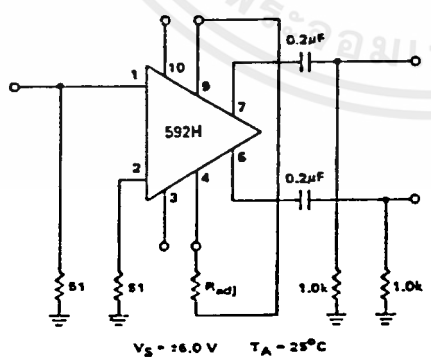


FIGURE 8 - VOLTAGE GAIN AS A FUNCTION OF R_{odj} RESISTANCE



เอกสารนี้เป็นเอกสารที่สงวนไว้สำหรับการใช้งานเพื่อการศึกษาเท่านั้น ไม่อนุญาตให้นำไปใช้ประโยชน์ด้านการค้า
 ไม่ว่ากรณีใดๆ ทั้งสิ้น อีกทั้งห้ามมิให้ดัดแปลงเนื้อหาและต้องอ้างอิงถึงเจ้าของเอกสารทุกครั้งที่มีการนำไปใช้

NE592, SE592

FIGURE 9 - DISK/TAPE PHASE MODULATED READBACK SYSTEMS

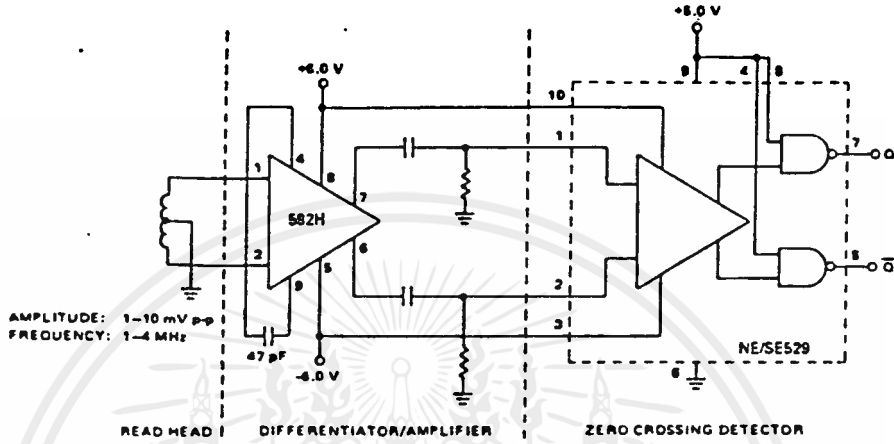
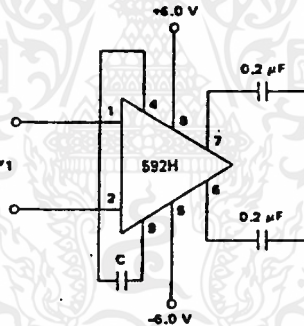
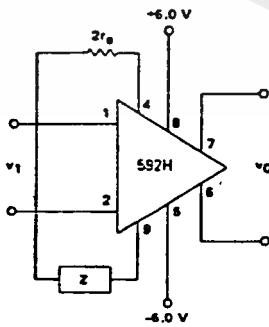


FIGURE 10 - DIFFERENTIATION WITH HIGH COMMON MODE NOISE REJECTION



FOR FREQUENCY $f_1 \ll 1/2\pi(32)C$
 $v_0 \approx 1.4 \times 10^4 C \frac{dv_1}{dt}$

FIGURE 11 - FILTER NETWORKS



$$\frac{v_0(s)}{v_1(s)} = \frac{1.4 \times 10^4}{Z(s) + 32}$$

$$= \frac{1.4 \times 10^4}{Z(s) + 32}$$

BASIC CONFIGURATION

Z NETWORK	FILTER TYPE	$v_0(s)$ TRANSFER FUNCTION
	Low Pass	$\frac{1.4 \times 10^4}{L} \left[\frac{1}{1 + R/L} \right]$
	High Pass	$\frac{1.4 \times 10^4}{C} \left[\frac{1}{1 + 1/RC} \right]$
	Band Pass	$\frac{1.4 \times 10^4}{L} \left[\frac{1}{2 + R/L + 1/LC} \right]$
	Band Reject	$\frac{1.4 \times 10^4}{R} \left[\frac{2 + 1/LC}{2 + 1/LC + R/LC} \right]$

NOTE: In the networks above, the R used is assumed to include 2r₀ or approximately 3C Ohms.

MOTOROLA SEMICONDUCTOR TECHNICAL DATA

**MWA110
MWA120
MWA130**

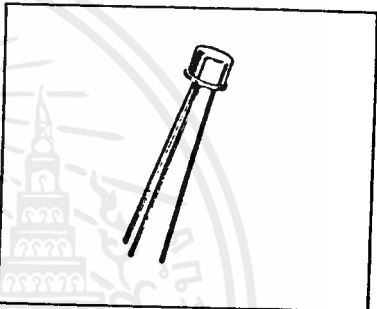
The RF Line

WIDEBAND HYBRID AMPLIFIERS

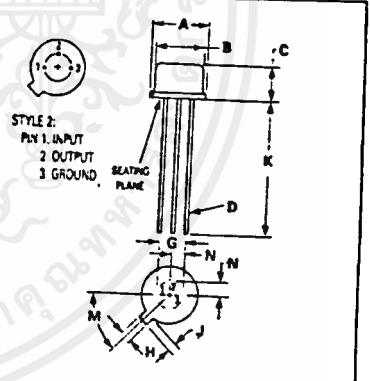
... single stage amplifiers designed for broadband linear applications up to 400 MHz.

- Low-Cost TO-39 Type Package
- Gain 14 dB Typ
- 50 Ω Input and Output Impedance
- Fully Cascadable for Any Gain
- Thin Film Construction
- Hermetic Package
- Guaranteed Performance from -25°C to +125°C

DC-400 MHz WIDEBAND GENERAL-PURPOSE HYBRID AMPLIFIERS



MAXIMUM RATINGS					
Rating	Symbol	Value			Unit
		MWA110	MWA120	MWA130	
RF Input Power	P_{in}	100			mW
DC Supply Current	I_D	25	55	100	mA
Maximum Case Temperature	T_C	125			°C
Storage Temperature Range	T_{stg}	-65 to +200			°C
OPERATING CONDITIONS					
Device Voltage	V_D	2.9	5.0	5.5	Vdc
Device Current	I_D	10	25	60	mAdc
Decoupling Impedance	Z_D	1000	1000	330	Ω



NOTE:
1 LEADS WITHIN 0.36 mm (0.014) DIA OF TRUE POSITION AT SEATING PLANE AT MAXIMUM MATERIAL CONDITION

DIM	MILLIMETERS		INCHES	
	MIN	MAX	MIN	MAX
A	8.51	9.42	0.335	0.370
B	7.75	8.51	0.305	0.335
C	3.81	4.57	0.150	0.180
D	4.41	4.48	0.174	0.176
G	5.08 BSC		0.200 BSC	
H	0.71	0.86	0.028	0.034
J	0.74	1.14	0.029	0.045
K	12.70	—	0.500	—
M	45° BSC		45° BSC	
N	2.54 BSC		0.100 BSC	

CASE 31A-01

เอกสารนี้เป็นเอกสารที่สงวนไว้สำหรับการใช้งานเพื่อการศึกษาเท่านั้น ไม่อนุญาตให้拿去ไปใช้ประโยชน์ด้านการค้า
ไม่ว่ากรณีใดๆ ทั้งสิ้น อีกทั้งห้ามมิให้ดัดแปลงเนื้อหาและต้องอ้างอิงถึงเจ้าของเอกสารทุกครั้งที่มีการนำไปใช้

MWA110, MWA120, MWA130

ELECTRICAL CHARACTERISTICS (T_C = -25 to +125°C, 50 Ω system and specified operating conditions)

Characteristic	Symbol	Min	Typ	Max	Unit
Frequency Range	BW	0.1	-	400	MHz
Power Gain	G _p	13	14	-	dB
Response Flatness	F	-	0	±1.0	dB
Input VSWR	MWA110/120 MWA130	-	-	2.5:1 3:1	-
Output VSWR	MWA110/120/130	-	-	2.5:1	-
Output @ 1 dB Gain Compression	MWA110 MWA120 MWA130	-	-2.5 -8.2 +18	-	dBm
Noise Figure	MWA110 MWA120 MWA130	-	4.0 5.5 7.0	-	dB
Reverse Isolation	MWA110 MWA120 MWA130	-	18.8 19.2 16.8	-	dB
Harmonic Output	MWA110 (P _{out} = -9 dBm) MWA120 (P _{out} = 0 dBm) MWA130 (P _{out} = +10 dBm)	-	-24 -34 -35	-	dB

FIGURE 1 – DEVICE VOLTAGE versus DEVICE CURRENT

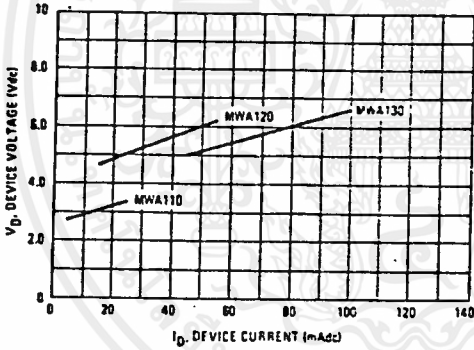


FIGURE 2 – DEVICE CURRENT versus CASE TEMPERATURE

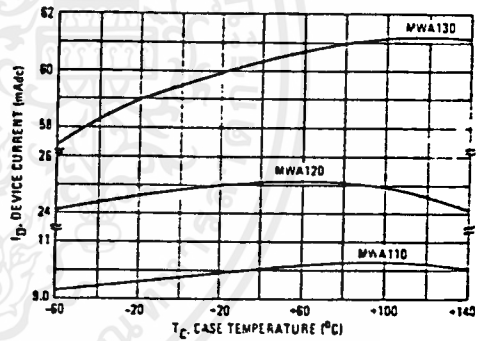


FIGURE 3 – POWER GAIN versus FREQUENCY

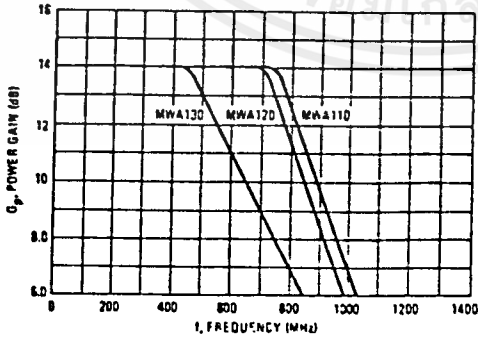
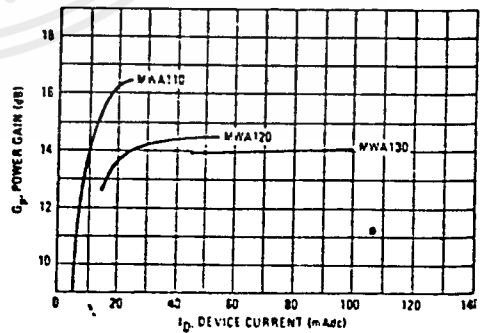


FIGURE 4 – POWER GAIN versus DEVICE CURRENT
f = 400 MHz



เอกสารนี้เป็นเอกสารที่สงวนไว้สำหรับการใช้งานเพื่อการศึกษาเท่านั้น ไม่อนุญาตให้นำไปใช้ประโยชน์ด้านการค้า
ไม่ว่ากรณีใดๆทั้งสิ้น อีกทั้งห้ามมิให้ดัดแปลงเนื้อหาและต้องอ้างอิงถึงเจ้าของเอกสารทุกครั้งที่มีการนำไปใช้

MWA110, MWA120, MWA130

FIGURE 5 - POWER GAIN versus CASE TEMPERATURE
f = 100 MHz

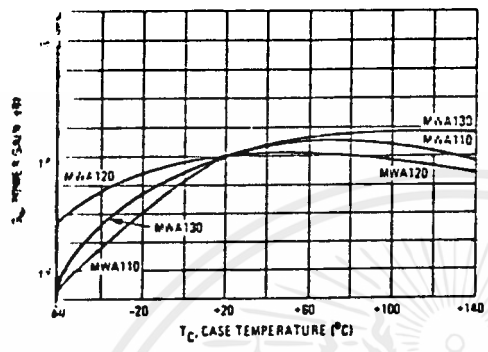


FIGURE 6 - POWER GAIN versus CASE TEMPERATURE
f = 400 MHz

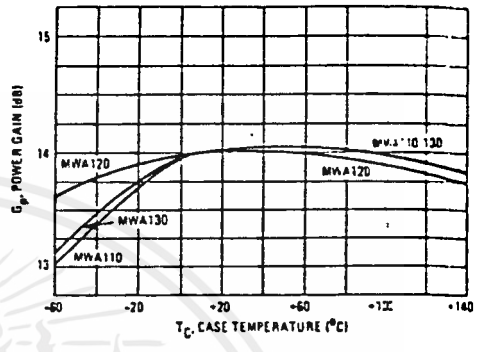


FIGURE 7 - VSWR versus FREQUENCY
MWA110

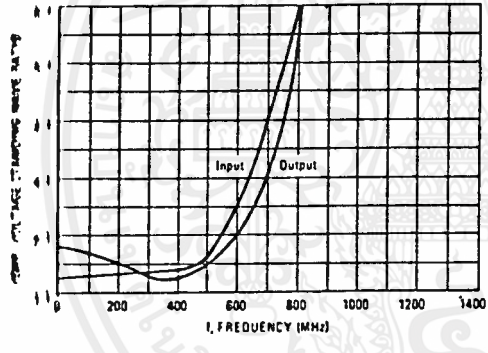


FIGURE 8 - VSWR versus FREQUENCY
MWA120

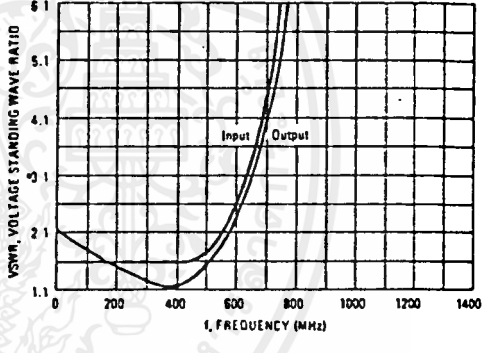
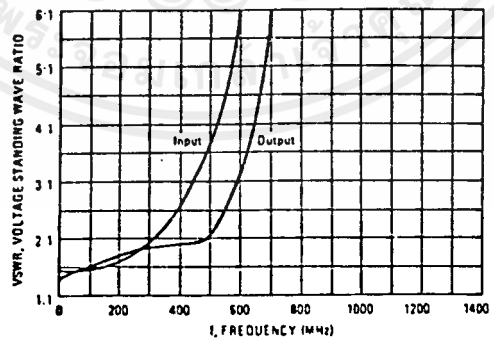


FIGURE 9 - VSWR versus FREQUENCY
MWA130



เอกสารนี้เป็นเอกสารที่สงวนไว้สำหรับการใช้งานเพื่อการศึกษาเท่านั้น ไม่อนุญาตให้นำไปใช้ประโยชน์ด้านการค้า
ไม่ว่ากรณีใดๆ ทั้งสิ้น อีกทั้งห้ามมิให้ดัดแปลงเนื้อหาและต้องอ้างอิงถึงเจ้าของเอกสารทุกครั้งที่มีการนำไปใช้

MWA110, MWA120, MWA130

FIGURE 10 - INPUT AND OUTPUT IMPEDANCE versus FREQUENCY MWA110

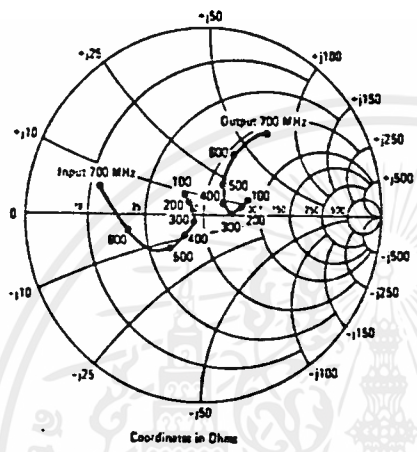


FIGURE 11 - INPUT AND OUTPUT IMPEDANCE versus FREQUENCY MWA120

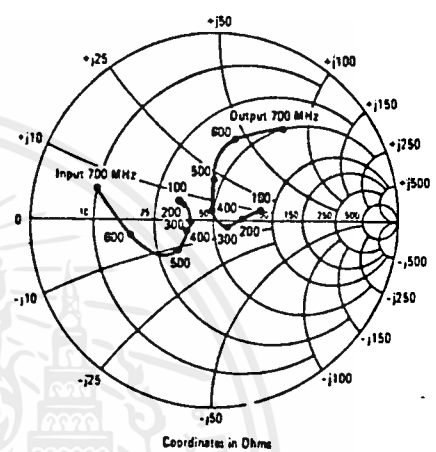


FIGURE 12 - INPUT AND OUTPUT IMPEDANCE versus FREQUENCY MWA130

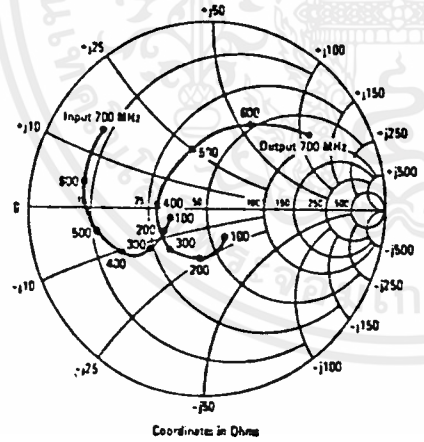
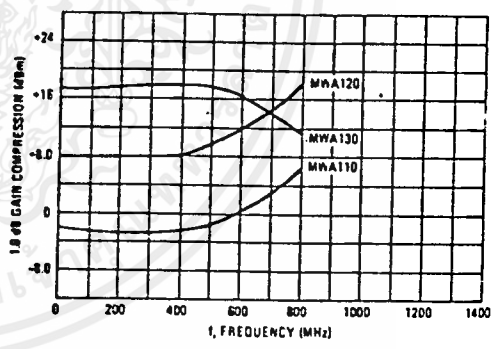


FIGURE 13 - 1.0 dB GAIN COMPRESSION versus FREQUENCY



เอกสารนี้เป็นเอกสารที่สงวนไว้สำหรับการใช้งานเพื่อการศึกษาเท่านั้น ไม่อนุญาตให้นำไปใช้ประโยชน์ด้านการค้า
ไม่ว่ากรณีใดๆทั้งสิ้น อีกทั้งห้ามมิให้ตัดแปลงเนื้อหาและต้องอ้างอิงถึงเจ้าของเอกสารทุกครั้งที่มีการนำไปใช้

MWA110, MWA120, MWA130

FIGURE 14 - 1.0 dB GAIN COMPRESSION
versus DEVICE CURRENT
f = 400 MHz

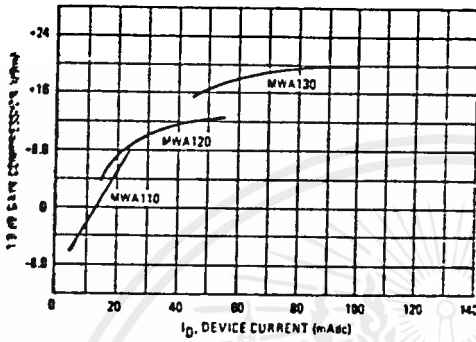


FIGURE 15 - 1.0 dB GAIN COMPRESSION
versus CASE TEMPERATURE
f = 400 MHz

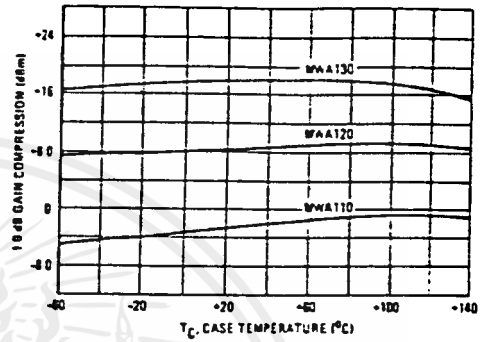


FIGURE 16 - NOISE FIGURE versus FREQUENCY

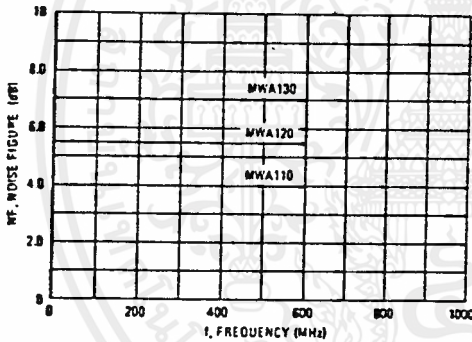


FIGURE 17 - REVERSE ISOLATION versus FREQUENCY

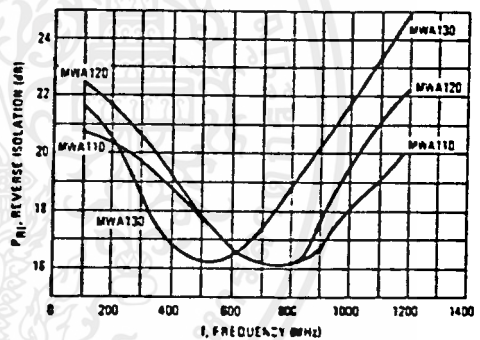


FIGURE 18 - SECOND HARMONIC OUTPUT versus FREQUENCY

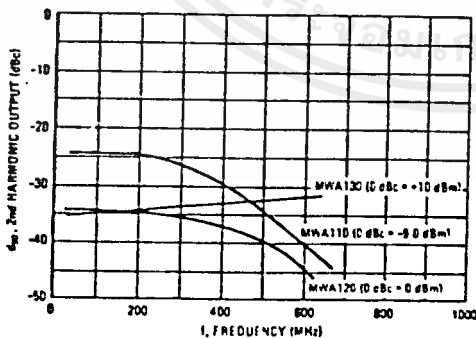
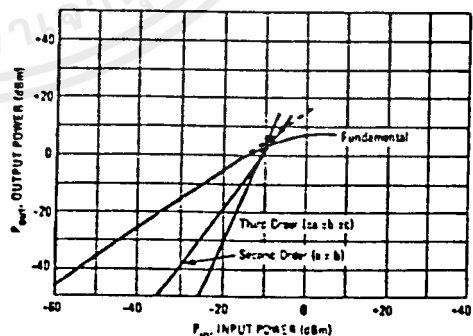


FIGURE 19 - SECOND AND THIRD ORDER INTERCEPT
MWA110



เอกสารนี้เป็นเอกสารที่สงวนไว้สำหรับการใช้งานเพื่อการสืบ 5-261 เท่านั้น ไม่อนุญาตให้นำไปใช้ประโยชน์ด้านการค้า
ไม่ว่ากรณีใดๆ ทั้งสิ้น อีกทั้งห้ามมิให้ตัดแปลงเนื้อหาและต้องอ้างอิงถึงเจ้าของเอกสารทุกครั้งที่มีการนำไปใช้

MWA110, MWA120, MWA130

FIGURE 20 - SECOND AND THIRD ORDER INTERCEPT
MWA120

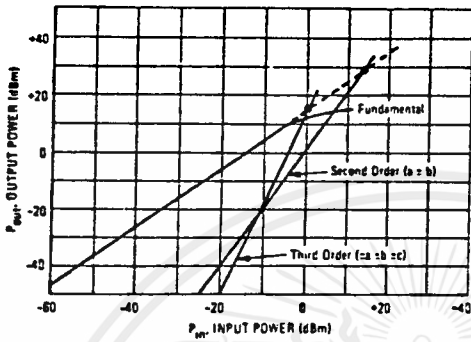


FIGURE 21 - SECOND AND THIRD ORDER INTERCEPT
MWA130

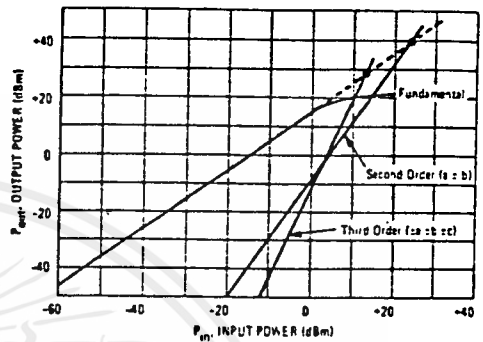


FIGURE 22 - INTERMODULATION DISTORTION
versus POWER OUTPUT
MWA110

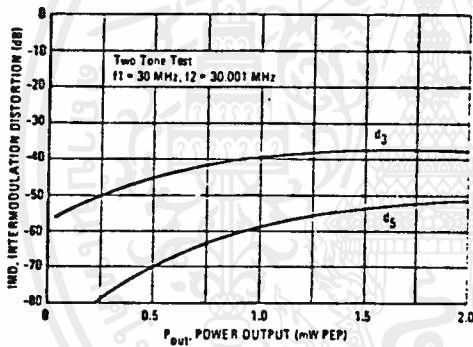


FIGURE 23 - INTERMODULATION DISTORTION
versus POWER OUTPUT
MWA120

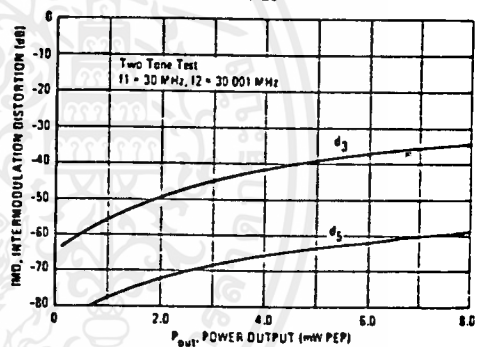


FIGURE 24 - INTERMODULATION DISTORTION
versus POWER OUTPUT
MWA130

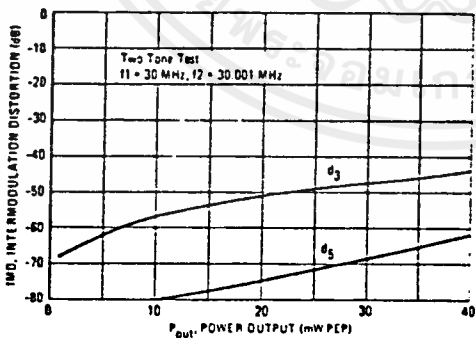
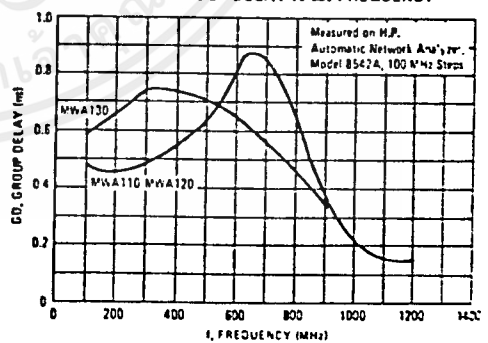


FIGURE 25 - GROUP DELAY versus FREQUENCY



MWA110, MWA120, MWA130

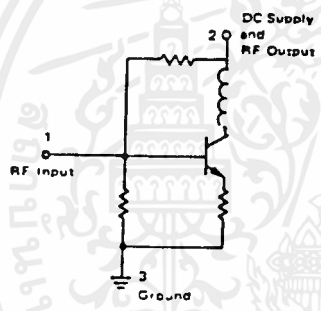
MWA SERIES HYBRID AMPLIFIER APPLICATIONS INFORMATION

The MWA series hybrid amplifiers are designed for wideband general purpose applications in 50 Ω systems. Fully cascadable for any gain combination, operable at voltages as low as 3 Vdc, and external control of the low frequency corner make the MWA amplifiers extremely versatile gain blocks.

Basic Circuit Configuration

Figure 26 shows the basic internal circuit. It is important to note that the specified operating conditions of voltage, current, and external decoupling impedance must be applied to the units in order to achieve the published electrical characteristics.

FIGURE 26 - INTERNAL CIRCUIT



Amplifier Application

The circuit schematic for a simple amplifier design is shown in Figure 27. External to the MWA hybrid amplifier the only components required are:

- Decoupling elements - Bypass Capacitor
- Decoupling Impedance (resistor/inductor)

DC Blocking Capacitors at the RF input and output.

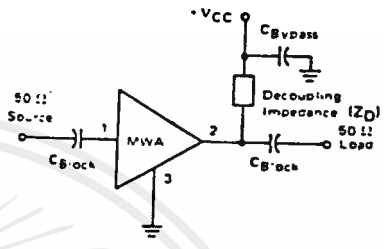
External Decoupling Impedance

In all cases the external bias (decoupling elements) must present an impedance which is large compared to the 50 Ω load impedance to minimize RF gain reduction. The loss in gain due to the decoupling impedance is given by the equation:

$$\text{Loss} = 20 \text{ Log } \frac{Z_D}{Z_D + 25} \text{ dB}$$

where Z_D = decoupling impedance in ohms. For example, if $Z_D = 1 \text{ k}\Omega$, Loss = 0.214 dB.

FIGURE 27 - AMPLIFIER SCHEMATIC DIAGRAM



Supply Voltage

The value of the external decoupling resistive impedance (R_D) determines the supply voltage ($+V_{CC}$) and is determined by the following equation:

$$V_{CC} = R_D \cdot I_D + V_D$$

where I_D and V_D are the device current and voltage stated in the data sheet. For example, for MWA110,

$$I_D = 10 \text{ mA}$$
$$V_D = 2.9 \text{ V}$$

and, if $R_D = 330 \Omega$, then

$$V_{CC} = 6.2 \text{ V}$$

More commonly V_{CC} is predetermined and R_D may be calculated from:

$$R_D = \frac{V_{CC} - V_D}{I_D}$$

If an RF choke is used for decoupling, then the supply voltage (V_{CC}) required is equal to the device voltage (V_D).

Low Frequency Response

The value of the blocking capacitors determines the low frequency response of the amplifier. The following expression is used to determine the blocking capacitor value to yield a desired 3 dB low frequency corner (f_{LFC}).

$$C_{Block} (\text{Farads}) = \frac{1}{100 \pi f_{LFC} (\text{Hz})}$$

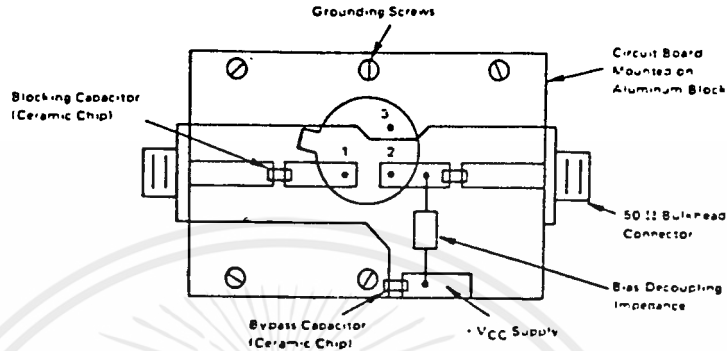
Bypass Capacitor

The reactive impedance of the bypass capacitor should be small compared to the impedance of the decoupling element at the lowest frequency of operation.

เอกสารนี้เป็นเอกสารที่สงวนไว้สำหรับการใช้งานเพื่อการศึกษาเท่านั้น ไม่อนุญาตให้นำไปใช้ประโยชน์ด้านการค้า ไม่ว่ากรณีใดๆ ทั้งสิ้น อีกทั้งห้ามมิให้ตัดแปลงเนื้อหาและต้องอ้างอิงถึงเจ้าของเอกสารทุกครั้งที่มีการนำไปใช้

MWA110, MWA120, MWA130

FIGURE 28 - TEST FIXTURE



Note: The circuitry indicated is on the underside of the printed circuit board with sockets for the amplifier pins. The case of the amplifier should contact the printed circuit board top surface to ensure effective RF grounding.

Test Fixture

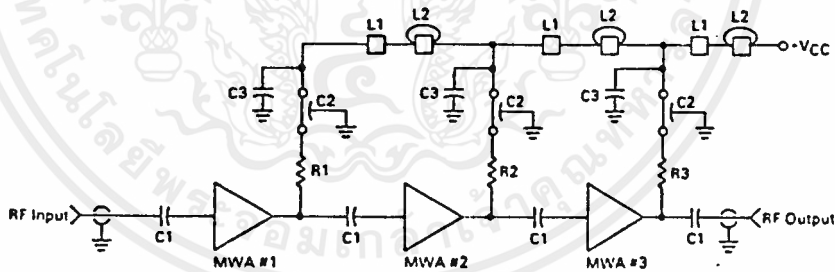
The 50 Ω input/output impedance levels of the MWA hybrids are most easily preserved on a circuit board by using 50 Ω microstrip transmission lines. Figure 28 is an example of a circuit board layout which utilizes microstrip transmission lines in conjunction with other sound RF construction techniques.

The characteristic impedance and corresponding line width of the microstrip are a function of the circuit board dielectric constant and thickness. The table lists appropriate line widths for 50 Ω microstrip lines on commonly used circuit board materials.

MATERIAL TYPE	DIELECTRIC CONSTANT	DIELECTRIC THICKNESS INCHES	LINE WIDTH INCHES
Teflon	2.5	0.03125	0.090
Fiberglass		0.0625	0.180
Fiberglass Epoxy	5.0	0.0625	0.100

As in all good RF circuit designs, care should be taken to minimize parasitic lead inductances and to provide adequate grounding.

FIGURE 29 - TYPICAL CASCADE



The dc isolation components shown are critical in maintaining good stability in multi-stage designs. Keep Pin #3 (Ground) as short as possible preferably soldering the case to the ground plane for best gain flatness to 1000 MHz.

- C1 - For operation to 400 MHz, 1000 pF, 50 mil Chip Capacitor - ATC 50 mil Case (5.0 MHz L.F.)
- C1 - For operation to 1000 MHz, 0.018 mF, Chip Capacitor for 0.25 MHz L.F. Cut-Off
- C2 - Feedthru Capacitor Centralab SFT-102, 1000 pF or Metuchen 54-794002-681M, 680 pF
- C3 - 0.1 μF Sprague 3C25U104X0050C5 - 50 Volt
- L1 - Ferroacube Shielding Bead 56-590-65/4A - Single Wire
- L2 - Ferroacube Shielding Bead 56-590-65/4A - 2 Turns #26 AWG

Cascading

The inherent stability of the MWA hybrid modules makes possible the cascading of two or more units with no oscillatory problems. Figure 29 shows a typical 3 hybrid cascade with measured data for 400 MHz and 1000 MHz hybrids.

	Cascade 1	Cascade 2
Frequency Range	0.25 to 400 MHz	5.0 to 1000 MHz
Gain	43.5 dB	20.5 dB
Gain Flatness	±1.0 dB	±0.75 dB
Input VSWR	2.0:1	2.4:1
Output VSWR	1.2:1	2.1:1
VCC Supply	12 Vdc	33 Vdc
I Supply	44 mAdc	150 mAdc
MWA #1	MWA110	MWA320
MWA #2	MWA110	MWA330
MWA #3	MWA120	MWA330
R1	1000 Ω	1000 Ω
R2	1000 Ω	500 Ω
R3	300 Ω	500 Ω

PHASE-LOCKED LOOPS—SYMBOLS AND DEFINITIONS

Absolute Maximum Rating

Operating safe zones exceeding these limits could cause permanent damage to the device and are not meant to imply that devices can operate at these limits.

Capture Range ($2f_c$, $2\omega_c$)**

Although the loop will remain in lock throughout its lock range, it may not be able to acquire lock at the tracking range extremes because of the selectivity afforded by the low-pass filter. The capture range also is centered at f_o' with the equal deviations called the *Lock-in* or *Pull-in Ranges*. The capture range can never exceed the lock range.

Closed Loop Gain (CLG)

The output signal frequency and phase can be determined from a product of the CLG and the input signal where the CLG is given by

$$CLG = \frac{K_d}{1 + K_v} \quad (\text{Equation 1.4})$$

Damping Factor (ζ)

The standard damping constant of a second order feedback system. For the PLL, ζ refers to the ability of the loop to respond quickly to an input frequency step without excessive overshoot.

Free-Running Frequency (f_o' , ω_o')

Also called the *center frequency*, this is the frequency at which the loop VCO operates when not locked to an input signal. The "prime" superscripts are used to distinguish the free-running frequency from f_o and ω_o which are used for the general oscillator frequency. (Many references use f_o' and ω_o' for both the free-running and general oscillator frequency and leave the proper choice for the reader to infer from the context.) The appropriate units for f_o' and ω_o' are Hz and radians per second respectively.

Lock Range ($2f_L$, $2\omega_L$)*

The range of frequencies over which the loop will remain in lock. Normally the lock range is centered at the free-running frequency unless there is some nonlinearity in the system which limits the frequency deviation on one side of f_o' . The deviations from f_o' are referred to as the *Tracking Range* or *Hold-in Range*. (See figure 1.6.) The tracking range is therefore one-half of the lock range.

Lock-Up Time (t_L)***

The transient time required for a free-running loop to lock. This time depends principally upon the bandwidth selectivity designed into the loop with the low-pass filter. The lock-up time is inversely proportional to the selectivity bandwidth. Also, lock-up time exhibits a statistical spreading due to random initial phase relationships between the input and oscillator phases.

Loop Gain (K_L)

The product of K_d , K_o , and the low-pass filter's gain at dc. K_L is evaluated at the appropriate input signal level and K_o at the appropriate ω_o' . K_L has units of $(\text{sec})^{-1}$.

Loop Noise Bandwidth (B_L)

A loop property relating ω_n and τ which describes the effective bandwidth of the received signal. Noise and signal components outside this bandwidth are greatly attenuated.

Natural Frequency (ω_n)

The characteristic frequency of the loop, determined mathematically by the final pole positions in the complex plane or determined experimentally as the modulation frequency for which an underdamped loop gives the maximum frequency deviation from f_o' and at which the phase error swing is the greatest.

Package Type Designation

See full package designations in Appendix.

Phase Comparator Conversion Gain (K_d)

The conversion constant relating the phase comparators output voltage to the phase difference between input and VCO signals when the loop is locked. At low input signal levels, K_d is also a function of signal amplitude. K_d has units of volts per radian (V/rad).

Power Dissipation

The power that the device can safely handle at 25°C. The dissipation must be derated as indicated for the individual package type.

 T_A

Ambient temperature range. Range of the surrounding environment of the operating device.

 T_J

Junction Temperature. The maximum temperature of the device. 150°C is standard for silicon devices.

 T_{SOLD}

Soldering Temperature. The temperature which can be applied to the lead frame of the device for short periods of time (normally specified for a duration of 10 sec).

 T_{STG}

Storage temperature-range. Temperature range that the device can be stored in a non-operating condition.

Truth Tables

0 is logic level low

1 is logic level high

X — don't care condition — has no effect under circuit conditions listed.

*Also called Synchronization Range

**Also called Acquisition Range.

***Also called Acquisition Time.

PHASE LOCKED LOOP

NE/SE564

DESCRIPTION

The NE564 is a versatile, high guaranteed frequency Phase Locked Loop designed for operation up to 50MHz. As shown in the block diagram, the NE564 consists of a VCO, limiter, phase comparator, and cost detection processor.

APPLICATIONS

- High speed modems
- FSK receivers and transmitters
- Frequency synthesizers
- Signal generators
- Various satcom/TV systems

FEATURES

- Operation with single 5V supply
- TTL compatible inputs and outputs
- Guaranteed operation to 50MHz
- External loop gain control
- Reduced carrier feedthrough
- No elaborate filtering needed in FSK applications
- Can be used as a modulator
- Variable loop gain (Externally Controlled)

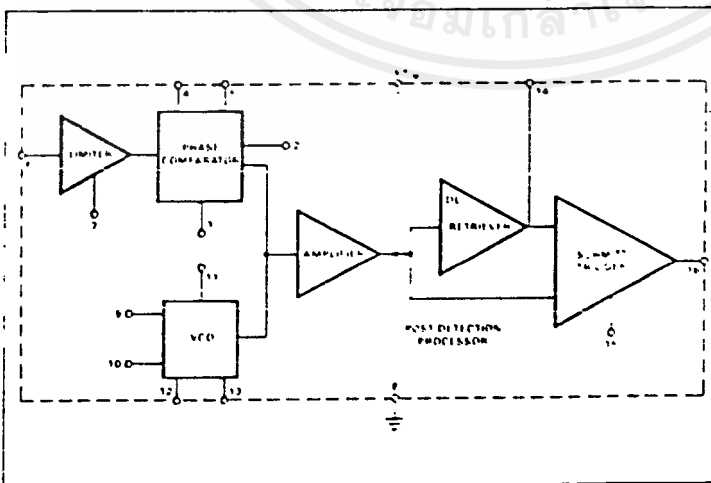
ABSOLUTE MAXIMUM RATINGS

PARAMETER		RATING	UNIT
V+	Supply voltage	14	V
	Pin 1	6	V
	Pin 10	6	V
PD	Power dissipation	600	mW
TA	Operating temperature	0 to 70	°C
	Operating temperature	-55 to +125	°C
Tstg	Storage temperature	-65 to 150	°C

NOTE

Operation above 5 volts will require heatsinking of the case

BLOCK DIAGRAM

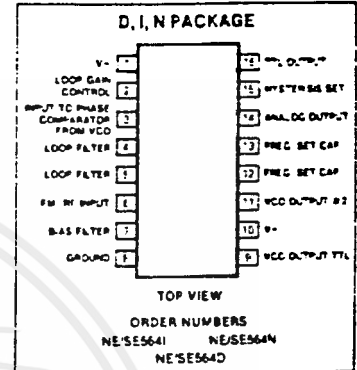


OUTLINE OF SETUP PROCEDURE

1. Determine operating frequency of the VCO.
 - If N in feedback loop, then $f_o = N \times f_{in}$.
2. Calculate value of the VCO frequency set capacitor:

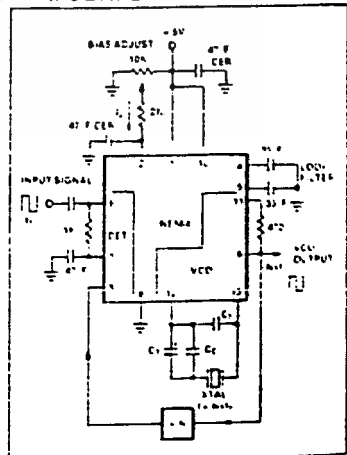
$$C_0 = \frac{1}{2500f_o}$$
3. Set I_2 (current sinking into Pin 2) for $\approx 200\mu A$. After operation is obtained, this value may be adjusted for best dynamic behavior.
4. Check VCO output frequency with digital counter at Pin 9 of device (loop open, VCO to ϕ det.). Adjust C_0 trim or frequency adj. Pin 4-5 for exact center frequency if needed.
5. Close loop and inject input signal to Pin 6. Monitor Pin 3 and 6 with two channel scope. Lock should occur with $\Delta\phi_{avg}$ equal to 90° (phase error).
6. If pulsed burst or ramp frequency is used for input signal, special loop filter

PIN CONFIGURATION



design may be required in place of simple single capacitor filter on Pin 4 and 5. (See PLL application section in Analog Manual.)

7. The input signal to Pin 6 and the VCO feedback signal to Pin 3 must have a duty cycle of 50% for proper operation of the phase detector. Due to the nature of a balanced mixer if signals are not 50% in duty cycle, D.C. offsets will occur in the loop which tend to create an artificial or biased VCO offset.
8. For multiplier circuits where phase jitter is a problem, loop filter capacitors may be increased to a value of 10-50pF on Pin 4, 5. Also careful supply decoupling may be necessary. This includes the counter chain V_{CC} lines.

NE564
PHASE LOCKED FREQUENCY
MULTIPLIER WITH VCXO

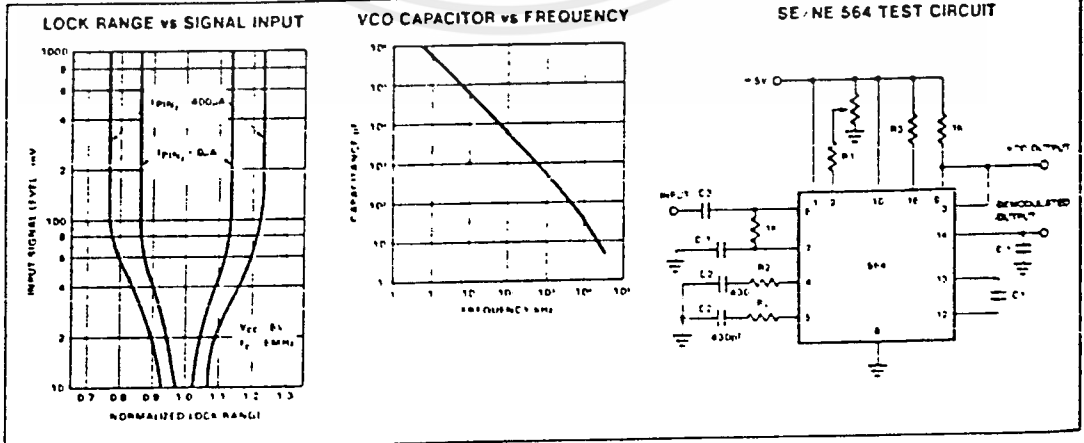
PHASE LOCKED LOOP

NE/SE564

ELECTRICAL CHARACTERISTICS $V_{CC} = 5V$, $T_A = 25^\circ C$, $f_c = 5MHz$, $I_P = 400\mu A$ unless otherwise specified

PARAMETER	TEST CONDITIONS	SE564			NE564			UNIT
		Min	Typ	Max	Min	Typ	Max	
Maximum VCO frequency	$C_c = 0$	50	65		45	60		MHz
Lock range	Input $\geq 200mV_{rms}$ $T_A = 25^\circ C$ $= 125^\circ C$ $= -55^\circ C$ $= 0^\circ C$ $= 70^\circ C$	40 20 50	70 30 60		40	70 70 40		% of f_c
Capture range	Input $\geq 200mV_{rms}$, $R_f = 27\Omega$	20	30		20	30		% of f_c
VCO frequency drift with temperature	$f_c = 5MHz$, $T_A = -55^\circ C$ to $125^\circ C$ $= 0^\circ C$ to $70^\circ C$ $f_c = 500KHz$, $T_A = -55^\circ C$ to $125^\circ C$ $= 0^\circ C$ to $70^\circ C$		400 250	1000 500		400 400	1250 850	PPM $^\circ C$
VCO free running frequency	$f_c = \frac{1}{25R_C C_c}$, $C_c = 80pF$ $R_c = 1000$ "Internal"	4	5	6	3.5	5	7	MHz
VCO frequency change with supply voltage	$V_{CC} = 4.5V$ to $5.5V$		3	8		3	8	% of f_c
Demodulated output voltage	Modulation frequency: 1KHz $f_c = 5MHz$, input deviation: $2^\circ T = 25^\circ C$ $1^\circ T = 25^\circ C$ $= 0^\circ C$ $= -55^\circ C$ $= 70^\circ C$ $= 125^\circ C$	16 8 6 12	28 14 10 16		16 8	28 14 13 15		mVrms mVrms mVrms mVrms mVrms
Distortion Signal to noise ratio AM rejection	Deviation: 1% to 8% Std condition, 1% to 10% dev. Std condition, 30% AM		1 40 35			1 40 35		% dB dB
Demodulated Output at operating voltage	Modulation frequency: 1KHz $f_c = 5MHz$, input deviation: 1% $V_{CC} = 4.5V$ $V_{CC} = 5.5V$	7 8	12 14		7 8	12 14		mVrms mVrms
Supply current	$V_{CC} = 5V$, I_1 , I_2		45	60		45	60	μA
Output "1" output leakage current "0" output voltage	$V_{OUT} = 5V$, Pin 16, 9 $I_{OUT} = 2mA$, Pin 16, 9 $I_{OUT} = 6mA$, Pin 16, 9		1 0.3 0.4	20 0.6 0.8		1 0.3 0.4	20 0.6 0.8	μA V V

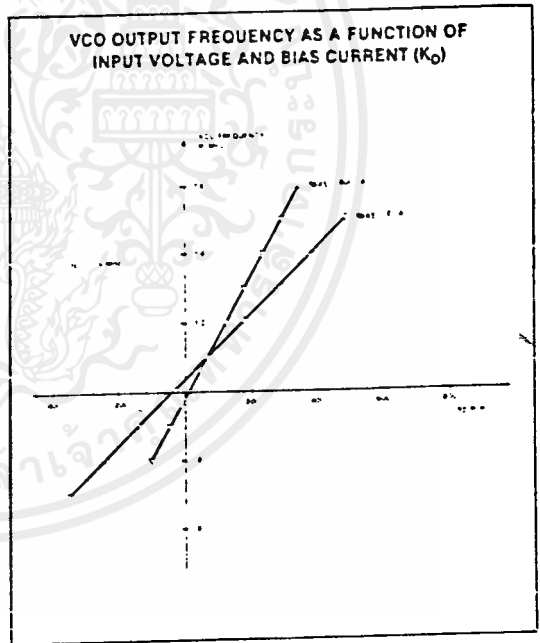
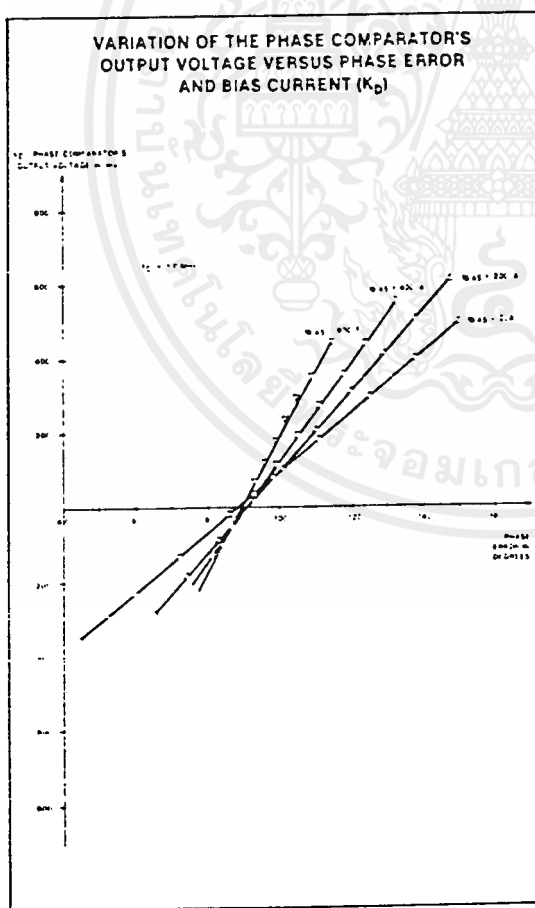
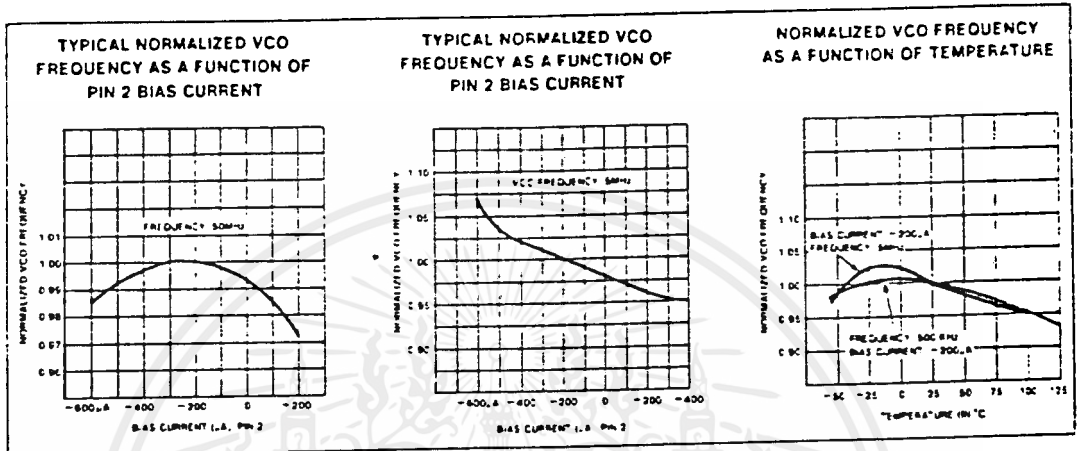
TYPICAL PERFORMANCE CHARACTERISTICS



เอกสารนี้เป็นเอกสารที่สงวนไว้สำหรับการใช้งานเพื่อการศึกษาเท่านั้น ไม่อนุญาตให้นำไปใช้ประโยชน์ด้านการค้า
ไม่ว่ากรณีใดๆ ทั้งสิ้น อีกทั้งห้ามมิให้ตัดแปลงเนื้อหาและต้องอ้างอิงถึงเจ้าของเอกสารทุกครั้งที่มีการนำไปใช้

PHASE LOCKED LOOP

NE/SE564



PHASE LOCKED LOOP

NE/SE564

FUNCTIONAL DESCRIPTION (figure 1)

The NE564 is a monolithic phase locked loop with a post detection processor. The use of Schottky clamped transistors and optimized device geometries extends the frequency of operation to greater than 50MHz. In addition to the classical PLL applications the NE564 can be used as a modulator with a controllable frequency deviation.

The output voltage of the PLL can be written as shown in the following equation

$$V_O = \frac{(f_{in} - f_o)}{K_{VCO}} \quad \text{Equation 1}$$

- K_{VCO} = conversion gain of the VCO
- f_{in} = frequency of the input signal
- f_o = free running frequency of the VCO

The process of recovering FSK signals involves the conversion of the PLL output into logic compatible signals. For high data rates, a considerable amount of carrier will be present at the output of the PLL due to the wideband nature of the loop filter. To

avoid the use of complicated filters, a comparator with hysteresis or Schmitt trigger is required. With the conversion gain of the VCO fixed, the output voltage as given by Equation 1 varies according to the frequency deviation of f_{in} from f_o . Since this differs from system to system, it is necessary that the hysteresis of the Schmitt trigger be capable of being changed, so that it can be optimized for a particular system. This is accomplished in the 564 by varying the voltage at P_{11} which results in a change of the hysteresis of the Schmitt trigger.

For FSK signals, an important factor to be considered is the drift in the free running frequency of the VCO itself. If this changes due to temperature, according to Equation 1, it will lead to a change in the dc levels of the PLL output, and consequently to errors in the digital output signal. This is especially true for narrow band signals where the deviation in f_{in} itself may be less than the change in f_o due to temperature. This effect

can be eliminated if the dc or average value of the signal is retrieved and used as the reference to the comparator. In this manner, variations in the dc levels of the PLL output do not affect the FSK output.

VCO Section

Due to its inherent high frequency performance, an emitter coupled oscillator is used in the VCO. In the circuit, shown in the equivalent schematic, transistors Q_{21} and Q_{23} with current sources Q_{25} - Q_{26} form the basic oscillator. The free running frequency of the oscillator is shown in the following equation

$$f_o = \frac{1}{25 R_C (C_1 + C_S)} \quad \text{Equation 2}$$

- $R_C = R_{19} = R_{20} = 100\Omega$ (INTERNAL)
- C_1 = external frequency setting capacitor
- C_S = stray capacitance

Variation of V_D (phase detector output voltage) changes the frequency of the oscillator. As indicated by Equation 2, the frequency of the oscillator has a negative

EQUIVALENT SCHEMATIC

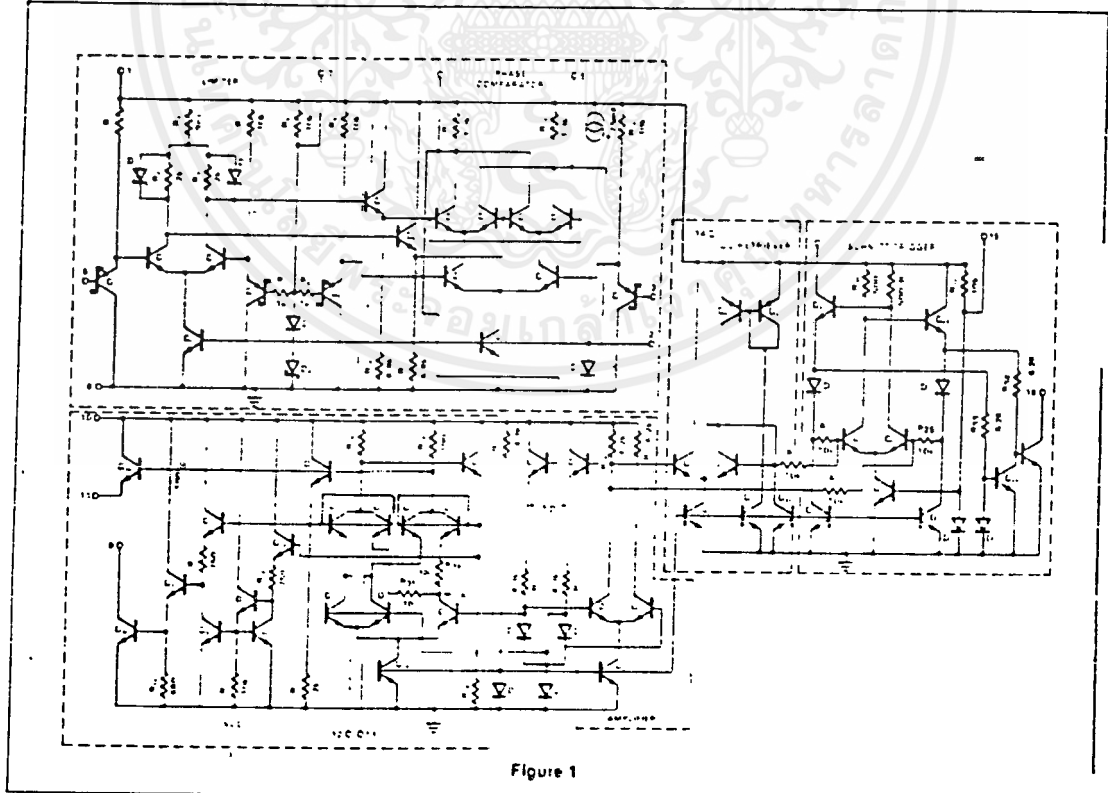


Figure 1

PHASE LOCKED LOOP

NE/SE564

temperature coefficient due to the positive temperature coefficient of the monolithic resistor. To compensate for this, a current I_D with negative temperature coefficient is introduced to achieve a low frequency drift with temperature.

Phase Comparator Section

The phase comparator consists of a double balanced modulator with a limiter amplifier to improve AM rejection. Schottky clamped vertical FETs are used to obtain TTL level inputs. The loop gain can be varied by changing the current in Q_4 and Q_{15} which

effectively changes the gain of the differential amplifiers. This can be accomplished by introducing a current at pin 2.

Post Detection Processor Section

The post detection processor consists of a unity gain transconductance amplifier and comparator. The amplifier can be used as a dc retriever for demodulation of FSK signals and as a post detection filter for linear FM demodulation. The comparator has adjustable hysteresis so that phase jitter in the output signal can be eliminated.

As shown in the equivalent schematic, the dc retriever is formed by the transconductance amplifier $Q_{42}-Q_{43}$ together with an external capacitor which is connected at the amplifier output (pin 14). This forms an integrator whose output voltage is shown in the following equation:

$$V_O = \frac{G_m}{C_2} \int V_{in} dt \tag{Equation 3}$$

- G_m = transconductance of the amplifier
- C_2 = capacitor at the output (pin 14)
- V_{in} = signal voltage at amplifier input

With proper selection of C_2 , the integrator time constant can be varied so that the output voltage is the dc or average value of the input signal for use in FSK, or as a post detection filter in linear demodulation.

The comparator with hysteresis is made up of $Q_{49}-Q_{50}$ with positive feedback being provided by $Q_{42}-Q_{43}$. The hysteresis is varied by changing the current in Q_{52} with a resulting variation in the loop gain of the comparator. This method of hysteresis control, which is a dc control, provides symmetric variation around the nominal value.

Design Formula

The free running frequency of the VCO is shown by the following equation:

$$f_c = \frac{1}{25 F_c (C_1 + C_2)} \tag{Equation 4}$$

- $R_C = 100\Omega$
- C_1 = external cap in farads
- C_2 = stray capacitance

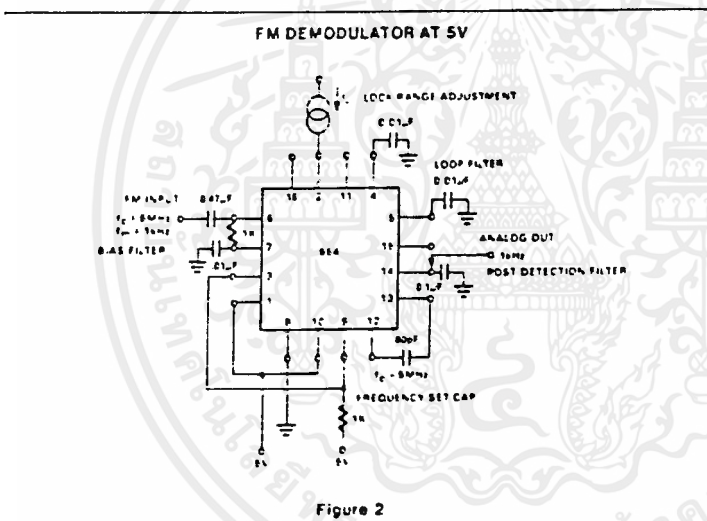


Figure 2

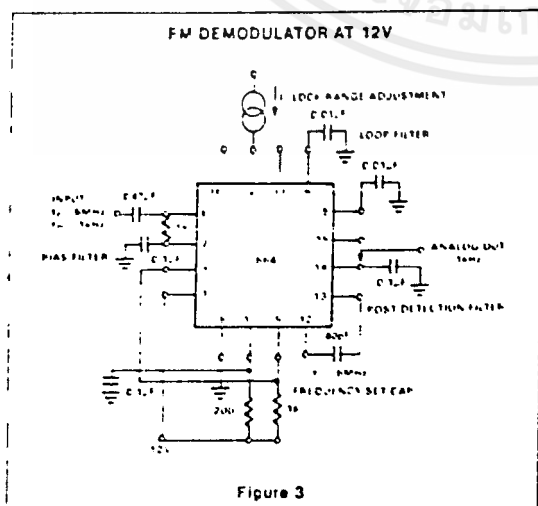


Figure 3

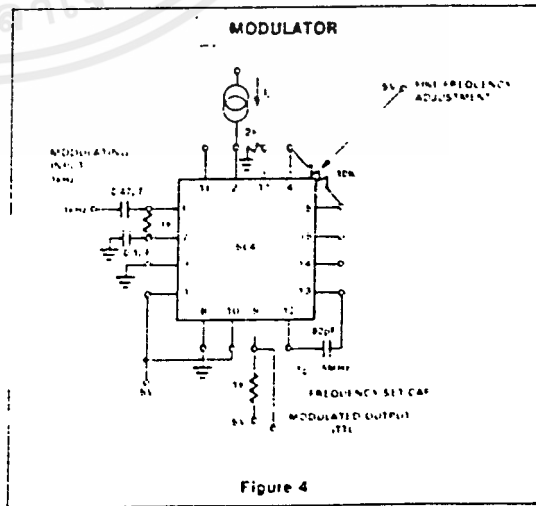


Figure 4

PHASE LOCKED LOOP

NE/SE564

PHASE COMPARATOR (PINS 4 AND 5) AND FSK (PIN 16) OUTPUTS FOR DATA RATES OF

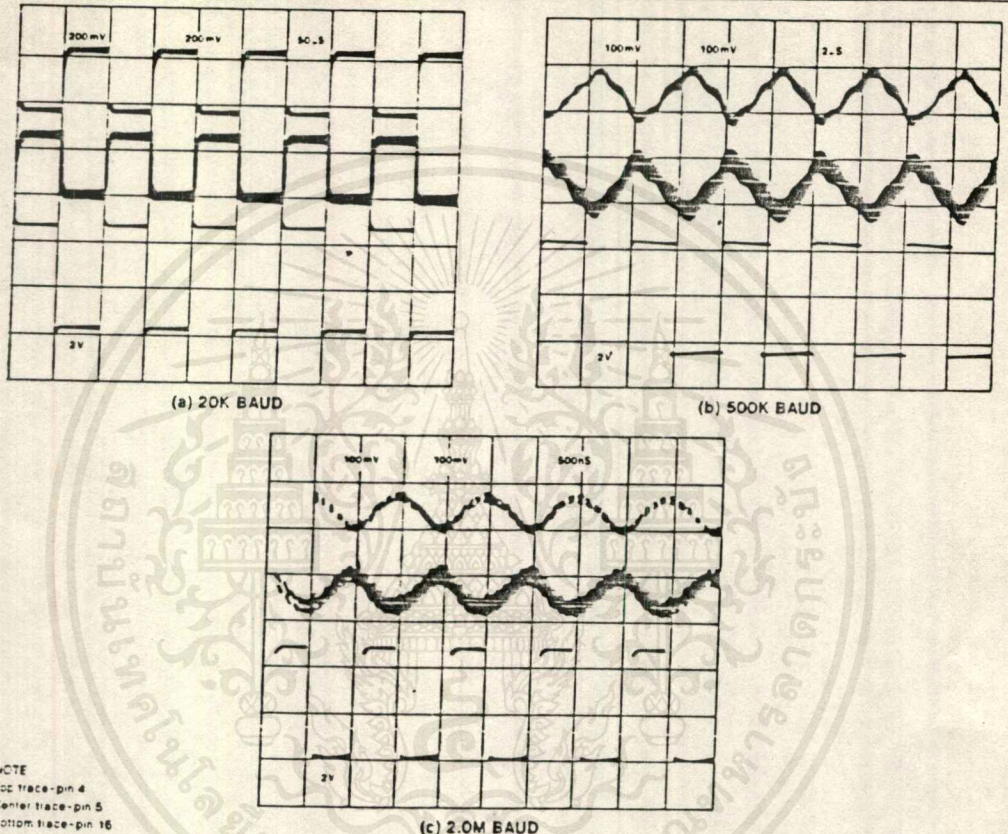


Figure 6

เอกสารนี้เป็นเอกสารที่สงวนไว้สำหรับการใช้งานเพื่อการศึกษาเท่านั้น ไม่อนุญาตให้นำไปใช้ประโยชน์ด้านการค้า
ไม่ว่ากรณีใดๆ ทั้งสิ้น อีกทั้งห้ามมิให้ตัดแปลงเนื้อหาและต้องอ้างอิงถึงเจ้าของเอกสารทุกครั้งที่มีการนำไปใช้

MOTOROLA SEMICONDUCTOR TECHNICAL DATA

BALANCED MODULATOR/ DEMODULATOR

... designed for use where the output voltage is a product of an input voltage (signal) and a switching function (carrier). Typical applications include suppressed carrier and amplitude modulation, synchronous detection, FM detection, phase detection, and chopper applications. See Motorola Application Note AN-531 for additional design information.

- Excellent Carrier Suppression - 65 dB typ @ 0.5 MHz
- 50 dB typ @ 10 MHz
- Adjustable Gain and Signal Handling
- Balanced Inputs and Outputs
- High Common Mode Rejection - 85 dB typ

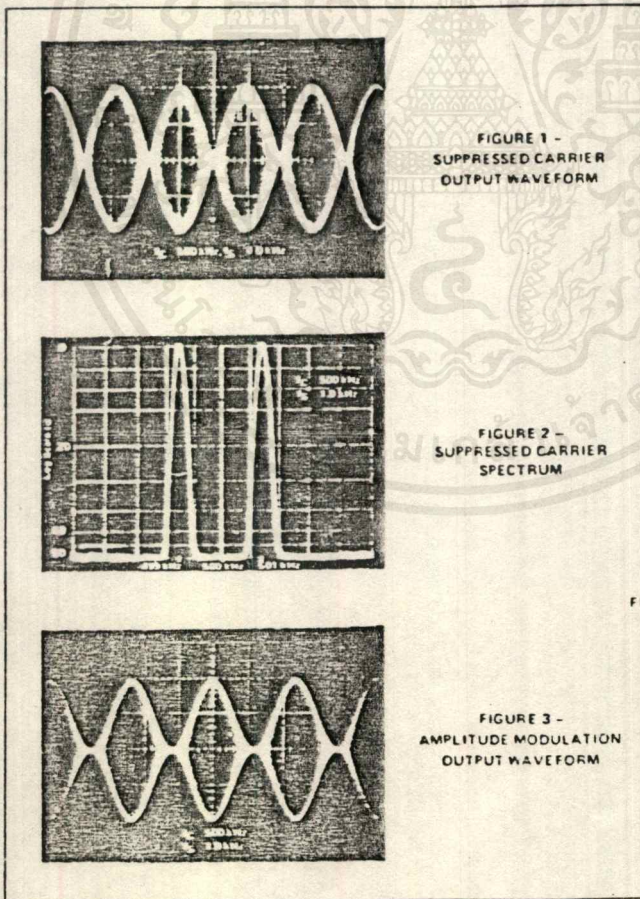


FIGURE 1 - SUPPRESSED CARRIER OUTPUT WAVEFORM

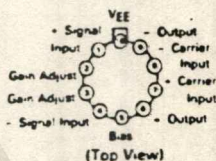
FIGURE 2 - AMPLITUDE MODULATION SPECTRUM

FIGURE 3 - AMPLITUDE MODULATION OUTPUT WAVEFORM

**MC1496
MC1596**

BALANCED MODULATOR/DEMODULATOR

**G SUFFIX
METAL PACKAGE
CASE 603**



**L SUFFIX
CERAMIC PACKAGE
CASE 632**

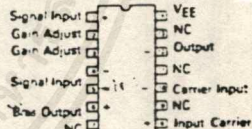


**D SUFFIX
PLASTIC PACKAGE
CASE 751A
(ISO 14)**



**P SUFFIX
PLASTIC PACKAGE
CASE 646**

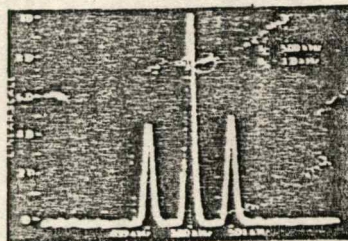
PIN ASSIGNMENTS



ORDERING INFORMATION

Device	Temperature Range	Package
MC1496C		40-14
MC1496G	0°C to -70°C	Metal Can
MC1496L		Ceramic DIP
MC1496P		Plastic DIP
MC1596G	-50°C to -125°C	Metal Can
MC1596L		Ceramic DIP

FIGURE 4 - AMPLITUDE MODULATION SPECTRUM



เอกสารนี้เป็นเอกสารที่สงวนไว้สำหรับการใช้งานเพื่อการศึกษาเท่านั้น ไม่อนุญาตให้นำไปใช้ประโยชน์ด้านการค้า
ไม่ว่ากรณีใดๆ ทั้งสิ้น อีกทั้งห้ามมิให้ตัดแปลงเนื้อหาและต้องอ้างอิงถึงเจ้าของเอกสารทุกครั้งที่มีการนำไปใช้

MC1496, MC1596

MAXIMUM RATINGS* (T_A = +25°C unless otherwise noted)

Rating	Symbol	Value	Unit
Applied Voltage (V ₆ - V ₇ , V ₈ - V ₁ , V ₉ - V ₂ , V ₈ - V ₉ , V ₇ - V ₄ , V ₇ - V ₁ , V ₈ - V ₄ , V ₈ - V ₉ , V ₂ - V ₅ , V ₂ - V ₆)	V	30	Vdc
Differential Input Signal	V ₇ - V ₈ V ₄ - V ₁	+ 5.0 = (5 × I _S R _{IP})	Vdc
Maximum Bias Current	I _S	10	mA
Thermal Resistance, Junction to Air Ceramic Dual In-Line Package Plastic Dual In-Line Package Metal Package	R _{θJA}	100 100 160	°C/W
Operating Temperature Range	T _A	0 to +70 -55 to +125	°C
Storage Temperature Range	T _{stg}	-65 to +150	°C

ELECTRICAL CHARACTERISTICS* (V_{CC} = +12 Vdc, V_{EE} = -8.0 Vdc, I_S = 1.0 mAdc, R_L = 3.9 kΩ, R_P = 1.0 kΩ, T_A = -25°C, all input and output characteristics are single-ended, unless otherwise noted)

Characteristic	Fig.	Note	Symbol	MC1596			MC1496			Unit
				Min	Typ	Max	Min	Typ	Max	
Carrier Feedthrough V _C = 60 mV(rms) sine wave and offset adjusted to zero V _C = 300 mV-p square wave: offset adjusted to zero offset not adjusted	5	1	V _{CFT}	—	40	—	—	40	—	μV(rms)
				—	140	—	—	140	—	mV(rms)
Carrier Suppression f _S = 10 kHz, 300 mV(rms) V _C = 500 kHz, 60 mV(rms) sine wave V _C = 10 MHz, 60 mV(rms) sine wave	5	2	V _{CS}	50	85	—	40	85	—	dB
				—	50	—	—	50	—	k
Transmittance Bandwidth (Magnitude) (R _L = 50 ohms) Carrier Input Port, V _C = 60 mV(rms) sine wave f _S = 1.0 kHz, 300 mV(rms) sine wave Signal Input Port, V _S = 300 mV(rms) sine wave V _C = 0.5 Vdc	8	8	BW _{3dB}	—	300	—	—	300	—	MHz
				—	80	—	—	80	—	
Signal Gain V _S = 100 mV(rms), f = 1.0 kHz; V _C = 0.5 Vdc	10	3	A _{VS}	2.5	3.5	—	2.5	3.5	—	V/V
Single-Ended Input Impedance, Signal Port, f = 5.0 MHz Parallel Input Resistance Parallel Input Capacitance	6	—	r _{ip} C _{ip}	—	200	—	—	200	—	kΩ
				—	2.0	—	—	2.0	—	pF
Single-Ended Output Impedance, f = 10 MHz Parallel Output Resistance Parallel Output Capacitance	6	—	r _{op} C _{oo}	—	40	—	—	40	—	kΩ
				—	5.0	—	—	5.0	—	pF
Input Bias Current I _{bS} = $\frac{I_1 + I_4}{2}$; I _{bC} = $\frac{I_7 + I_8}{2}$	7	—	I _{bS} I _{bC}	—	12	25	—	12	30	μA
				—	12	25	—	12	30	
Input Offset Current I _{oS} = I ₁ - I ₄ ; I _{oC} = I ₇ - I ₈	7	—	I _{oS} I _{oC}	—	0.7	5.0	—	0.7	7.0	μA
				—	0.7	5.0	—	0.7	7.0	
Average Temperature Coefficient of Input Offset Current (T _A = -55°C to +125°C)	7	—	TC _{io}	—	2.0	—	—	2.0	—	nA/°C
Output Offset Current (I _g - I _g)	7	—	I _{ool}	—	14	50	—	14	80	μA
Average Temperature Coefficient of Output Offset Current (T _A = -55°C to +125°C)	7	—	TC _{ioo}	—	90	—	—	90	—	nA/°C
Common-Mode Input Swing, Signal Port, f _S = 1.0 kHz	9	4	CMV	—	5.0	—	—	5.0	—	Vp-p
Common-Mode Gain, Signal Port, f _S = 1.0 kHz, V _C = 0.5 Vdc	9	—	ACM	—	-85	—	—	-85	—	dB
Common-Mode Quiescent Output Voltage (Pin 6 or Pin 8)	10	—	V _{out}	—	8.0	—	—	8.0	—	Vp-p
Differential Output Voltage Swing Capability	10	—	V _{out}	—	8.0	—	—	8.0	—	Vp-p
Power Supply Current I ₆ + I ₈ I ₁₀	7	6	I _{CC} I _{EE}	—	2.0	3.0	—	2.0	4.0	mAdc
				—	3.0	4.0	—	3.0	5.0	
DC Power Dissipation	7	5	P _D	—	33	—	—	33	—	mW

* Pin number references pertain to this device when packaged in a metal can. To ascertain the corresponding pin numbers for plastic or ceramic packaged devices refer to the first page of this specification sheet.

MC1496, MC1596

GENERAL OPERATING INFORMATION*

Carrier Feedthrough

Carrier feedthrough is defined as the output voltage at carrier frequency with only the carrier applied (signal voltage = 0).

Carrier null is achieved by balancing the currents in the differential amplifier by means of a bias trim potentiometer (R₁ of Figure 5).

Carrier Suppression

Carrier suppression is defined as the ratio of each sideband output to carrier output for the carrier and signal voltage levels specified.

Carrier suppression is very dependent on carrier input level, as shown in Figure 22. A low value of the carrier does not fully switch the upper switching devices, and results in lower signal gain, hence lower carrier suppression. A higher than optimum carrier level results in unnecessary device and circuit carrier feedthrough, which again degenerates the suppression figure. The MC1596 has been characterized with a 60 mV(rms) sine wave carrier input signal. This level provides optimum carrier suppression at carrier frequencies in the vicinity of 500 kHz, and is generally recommended for balanced modulator applications.

Carrier feedthrough is independent of signal level, V_S. Thus carrier suppression can be maximized by operating with large signal levels. However, a linear operating mode must be maintained in the signal-input transistor pair — or harmonics of the modulating signal will be generated and appear in the device output as spurious sidebands of the suppressed carrier. This requirement places an upper limit on input-signal amplitude (see Figure 20). Note also that an optimum carrier level is recommended in Figure 22 for good carrier suppression and minimum spurious sideband generation.

At higher frequencies circuit layout is very important in order to minimize carrier feedthrough. Shielding may be necessary in order to prevent capacitive coupling between the carrier input leads and the output leads.

Signal Gain and Maximum Input Level

Signal gain (single-ended) at low frequencies is defined as the voltage gain,

$$A_{VS} = \frac{V_0}{V_S} = \frac{R_L}{R_E + 2r_e} \text{ where } r_e = \frac{26 \text{ mV}}{I_5 \text{ (mA)}}$$

A constant dc potential is applied to the carrier input terminals to fully switch two of the upper transistors "on" and two transistors "off" (V_C = 0.5 Vdc). This in effect forms a cascode differential amplifier.

Linear operation requires that the signal input be below a critical value determined by R_E and the bias current I₅.

$$V_S \leq I_5 R_E \text{ (Volts peak)}$$

Note that in the test circuit of Figure 10, V_S corresponds to a maximum value of 1 volt peak.

Common Mode Swing

The common-mode swing is the voltage which may be applied to both bases of the signal differential amplifier, without saturating the current sources or without saturating the differential amplifier itself by swinging it into the upper switching devices. This swing is variable depending on the particular circuit and biasing conditions chosen.

Power Dissipation

Power dissipation, P_D, within the integrated circuit package should be calculated as the summation of the voltage-current products at each port, i.e. assuming V_g = V₆, I₅ = I₆ = I_g and ignoring base current, P_D = 2 I₅ (V₆ - V₁₀) + I₅ (V₅ - V₁₀) where subscripts refer to pin numbers.

Design Equations

The following is a partial list of design equations needed to operate the circuit with other supply voltages and input conditions.

A. Operating Current

The internal bias currents are set by the conditions at pin 5. Assume:

$$I_5 = I_6 = I_g$$

$$I_B < I_C \text{ for all transistors}$$

then:

$$R_5 = \frac{V - \phi}{I_5} - 500 \Omega \text{ where: } R_5 \text{ is the resistor between pin 5 and ground}$$

$$\phi = 0.75 \text{ V at } T_A = +25^\circ\text{C}$$

The MC1596 has been characterized for the condition I₅ = 1.0 mA and is the generally recommended value.

B. Common-Mode Quiescent Output Voltage

$$V_6 = V_9 = V^+ - I_5 R_L$$

Biasing

The MC1596 requires three dc bias voltage levels which must be set externally. Guidelines for setting up these three levels include maintaining at least 2 volts collector-base bias on all transistors while not exceeding the voltages given in the absolute maximum rating table;

$$30 \text{ Vdc} \geq [(V_6, V_9) - (V_7, V_8)] \geq 2 \text{ Vdc}$$

$$30 \text{ Vdc} \geq [(V_7, V_8) - (V_1, V_4)] \geq 2.7 \text{ Vdc}$$

$$30 \text{ Vdc} \geq [(V_1, V_4) - (V_5)] \geq 2.7 \text{ Vdc}$$

The foregoing conditions are based on the following approximations:

$$V_6 = V_9, V_7 = V_8, V_1 = V_4$$

Bias currents flowing into pins 1, 4, 7, and 8 are transistor base currents and can normally be neglected if external bias dividers are designed to carry 1.0 mA or more.

Transadmittance Bandwidth

Carrier transadmittance bandwidth is the 3 dB bandwidth of the device forward transadmittance as defined by:

$$\gamma_{21C} = \frac{i_0 \text{ (each sideband)}}{v_s \text{ (signal)}} \Big|_{V_0 = 0}$$

Signal transadmittance bandwidth is the 3 dB bandwidth of the device forward transadmittance as defined by:

$$\gamma_{21S} = \frac{i_0 \text{ (signal)}}{v_s \text{ (signal)}} \Big|_{V_C = 0.5 \text{ Vdc}, V_0 = 0}$$

*Pin number references pertain to this device when packaged in a metal can. To ascertain the corresponding pin numbers for plastic or ceramic packaged devices refer to the first page of this specification sheet.

MC1496, MC1596

TEST CIRCUITS (continued)

FIGURE 9 - COMMON MODE GAIN

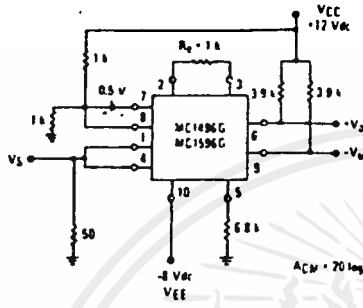
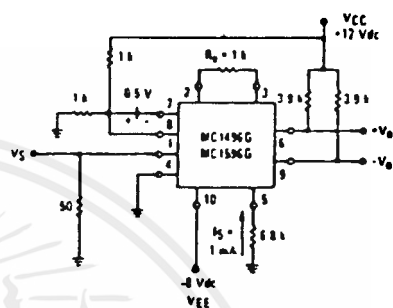


FIGURE 10 - SIGNAL GAIN AND OUTPUT SWING



TYPICAL CHARACTERISTICS

Typical characteristics were obtained with circuit shown in Figure 5, $f_C = 500$ kHz (sine wave), $V_C = 60$ mV(rms), $f_S = 1$ kHz, $V_S = 300$ mV(rms), $T_A = +25^\circ\text{C}$ unless otherwise noted.

FIGURE 11 - SIDEBAND OUTPUT versus CARRIER LEVELS

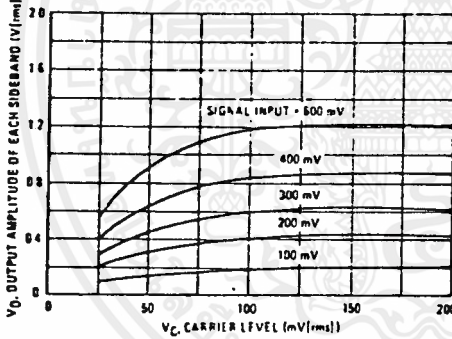


FIGURE 12 - SIGNAL PORT PARALLEL-EQUIVALENT INPUT RESISTANCE versus FREQUENCY

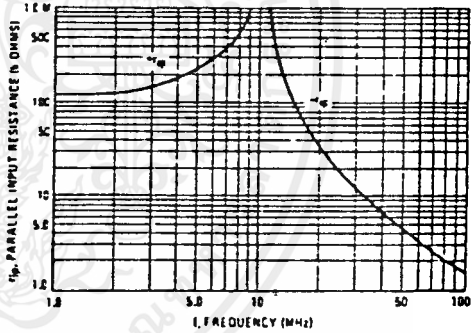


FIGURE 13 - SIGNAL PORT PARALLEL-EQUIVALENT INPUT CAPACITANCE versus FREQUENCY

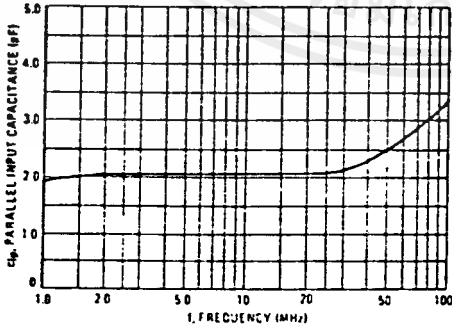
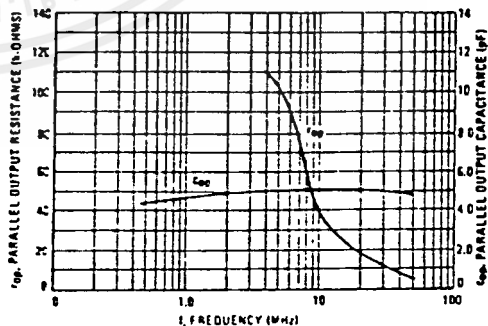


FIGURE 14 - SINGLE-ENDED OUTPUT IMPEDANCE versus FREQUENCY



MC1496, MC1596

TYPICAL CHARACTERISTICS (continued)

Typical characteristics were obtained with circuit shown in Figure 5. $f_c = 500$ kHz (sine wave). $V_C = 80$ mV(rms), $I_S = 1$ mA, $V_S = 300$ mV(rms), $T_A = +25^\circ\text{C}$, unless otherwise noted.

FIGURE 15 - SIDEBAND AND SIGNAL PORT TRANSMITTANCES versus FREQUENCY

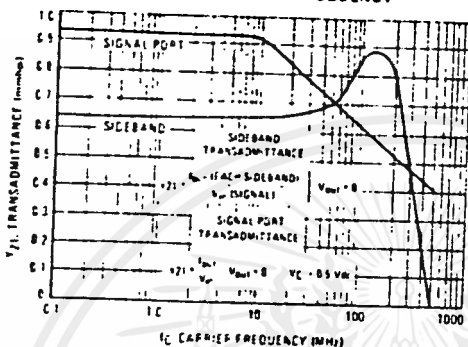


FIGURE 16 - CARRIER SUPPRESSION versus TEMPERATURE

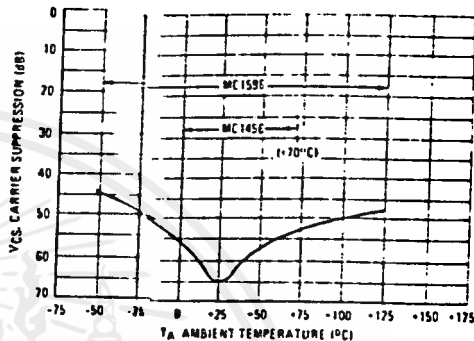


FIGURE 17 - SIGNAL PORT FREQUENCY RESPONSE

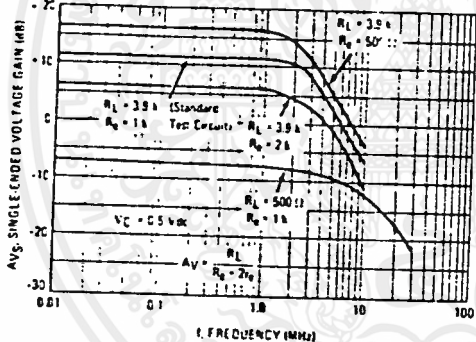


FIGURE 18 - CARRIER SUPPRESSION versus FREQUENCY

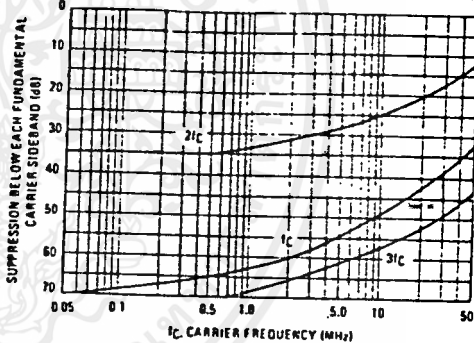


FIGURE 19 - CARRIER FEEDTHROUGH versus FREQUENCY

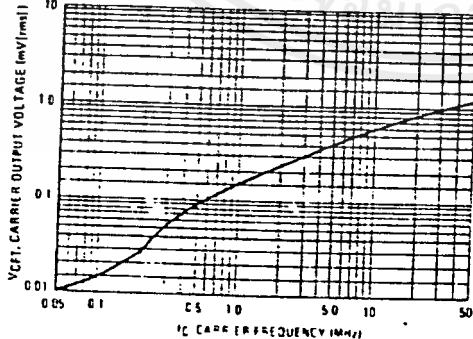
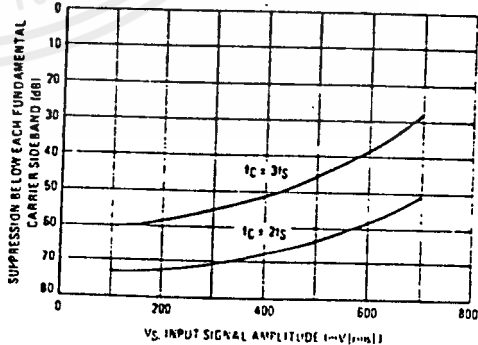


FIGURE 20 - SIDEBAND HARMONIC SUPPRESSION versus INPUT SIGNAL LEVEL



MC1496, MC1596

TYPICAL CHARACTERISTICS (continued)

FIGURE 21 - SUPPRESSION OF CARRIER HARMONIC SIDEBANDS versus CARRIER FREQUENCY

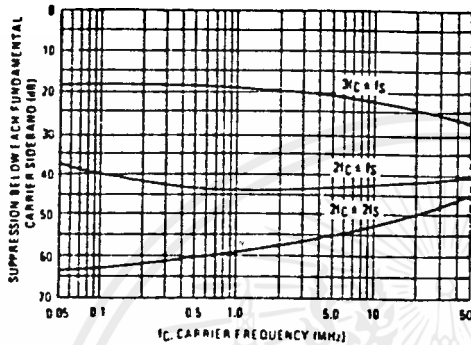
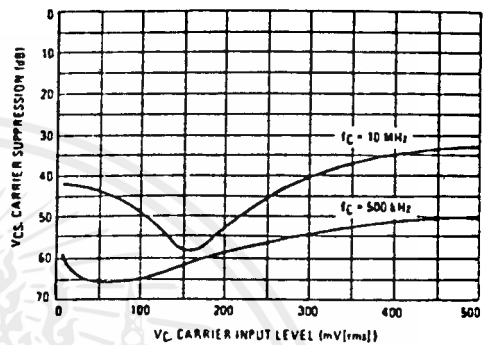


FIGURE 22 - CARRIER SUPPRESSION versus CARRIER INPUT LEVEL



OPERATIONS INFORMATION

The MC1596/MC1496, a monolithic balanced modulator circuit, is shown in Figure 23.

This circuit consists of an upper quad differential amplifier driven by a standard differential amplifier with dual current sources. The output collectors are cross-coupled so that full-wave balanced multiplication of the two input voltages occurs. That is, the output signal is a constant times the product of the two input signals.

Mathematical analysis of linear ac signal multiplication indicates that the output spectrum will consist of only the sum and difference of the two input frequencies. Thus, the device may be used as a balanced modulator, doubly balanced mixer, product detector, frequency doubler, and other applications requiring these particular output signal characteristics.

The lower differential amplifier has its emitters connected to the package pins so that an external emitter resistance may be used. Also, external load resistors are employed at the device output.

Signal Levels

The upper quad differential amplifier may be operated either in a linear or a saturated mode. The lower differential amplifier is operated in a linear mode for most applications.

For low-level operation at both input ports, the output signal will contain sum and difference frequency components and have an amplitude which is a function of the product of the input signal amplitudes.

For high-level operation at the carrier input port and linear operation at the modulating signal port, the output signal will contain sum and difference frequency components of the modulating signal frequency and the fundamental and odd harmonics of the carrier frequency. The output amplitude will be a constant times the modulating signal amplitude. Any amplitude variations in the carrier signal will not appear in the output.

FIGURE 23 - CIRCUIT SCHEMATIC*

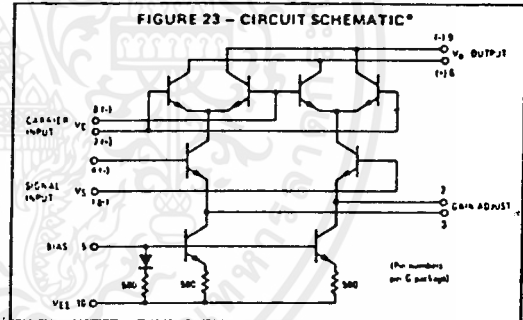
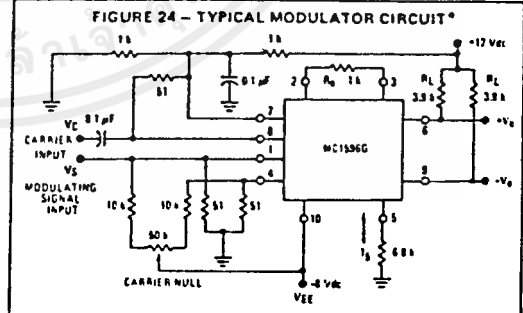


FIGURE 24 - TYPICAL MODULATOR CIRCUIT*



*Pin number references pertain to this device when packaged in a metal can. To ascertain the corresponding pin numbers for plastic or ceramic packaged devices refer to the first page of this specification sheet.

MC1496, MC1596

OPERATIONS INFORMATION (continued)

The linear signal handling capabilities of a differential amplifier are well defined. With no emitter degeneration, the maximum input voltage for linear operation is approximately 25 mV peak. Since the upper differential amplifier has its emitters internally connected, this voltage applies to the carrier input port for all conditions.

Since the lower differential amplifier has provisions for an external emitter resistance, its linear signal handling range may be adjusted by the user. The maximum input voltage for linear operation may be approximated from the following expression:

$$V \cdot (15) (R_E) \text{ volts peak}$$

This expression may be used to compute the minimum value of R_E for a given input voltage amplitude.

FIGURE 25 - TABLE 1
VOLTAGE GAIN AND OUTPUT FREQUENCIES

Carrier Input Signal (V_C)	Approximate Voltage Gain	Output Signal Frequency(f)
Low level dc	$\frac{R_L V_C}{2(R_E + 2r_e) \left(\frac{KT}{q}\right)}$	f_M
High level dc	$\frac{R_L}{R_E + 2r_e}$	f_M
Low level ac	$\frac{R_L V_C(\text{rms})}{2\sqrt{2} \left(\frac{KT}{q}\right) (R_E + 2r_e)}$	$f_C \pm f_M$
High level ac	$\frac{0.637 R_L}{R_E + 2r_e}$	$f_C \pm f_M, 3f_C \pm f_M, 5f_C \pm f_M, \dots$

The gain from the modulating signal input port to the output is the MC1596/MC1496 gain parameter which is most often of interest to the designer. This gain has significance only when the lower differential amplifier is operated in a linear mode, but this includes most applications of the device.

As previously mentioned, the upper quad differential amplifier may be operated either in a linear or a saturated mode. Approximate gain expressions have been developed for the MC1596/MC1496 for a low level modulating signal input and the following carrier input conditions:

- 1) Low level dc
- 2) High level dc
- 3) Low level ac
- 4) High level ac

These gains are summarized in Table 1, along with the frequency components contained in the output signal.

NOTES

1. Low-level Modulating Signal, V_M , assumed in all cases. V_C is Carrier Input Voltage.
2. When the output signal contains multiple frequencies, the gain expression given is for the output amplitude of each of the two desired outputs, $f_C + f_M$ and $f_C - f_M$.
3. All gain expressions are for a single-ended output. For a differential output connection, multiply each expression by two.
4. R_L = Load resistance.
5. R_E = Emitter resistance between pins 2 and 3.
6. r_e = Transistor dynamic emitter resistance, at $+25^\circ\text{C}$:

$$r_e \approx \frac{26 \text{ mV}}{15 \text{ (mA)}}$$

7. K = Boltzmann's Constant, T = temperature in degrees Kelvin, q = the charge on an electron.

$$\frac{KT}{q} \approx 26 \text{ mV at room temperature}$$

APPLICATIONS INFORMATION

Double sideband suppressed carrier modulation is the basic application of the MC1596/MC1496. The suggested circuit for this application is shown on the front page of this data sheet.

In some applications, it may be necessary to operate the MC1596/MC1496 with a single dc supply voltage instead of dual supplies. Figure 26 shows a balanced modulator designed for operation with a single +12 Vdc supply. Performance of this circuit is similar to that of the dual supply modulator.

AM Modulator

The circuit shown in Figure 27 may be used as an amplitude modulator with a minor modification.

All that is required to shift from suppressed carrier to AM operation is to adjust the carrier null potentiometer for the proper amount of carrier insertion in the output signal.

However, the suppressed carrier null circuitry as shown in Figure 27 does not have sufficient adjustment range. Therefore, the modulator may be modified for AM operation by changing two resistor values in the null circuit as shown in Figure 28.

Product Detector

The MC1596/MC1496 makes an excellent SSB product detector (see Figure 29).

This product detector has a sensitivity of 3.0 microvolts and a dynamic range of 90 dB when operating at an intermediate frequency of 9 MHz.

The detector is broadband for the entire high frequency range. For operation at very low intermediate frequencies down to 50 kHz the 0.1 μF capacitors on pins 7 and 8 should be increased to 1.0 μF . Also, the output filter at pin 9 can be tailored to a specific intermediate frequency and audio amplifier input impedance.

As in all applications of the MC1596/MC1496, the emitter resistance between pins 2 and 3 may be increased or decreased to adjust circuit gain, sensitivity, and dynamic range.

This circuit may also be used as an AM detector by introducing carrier signal at the carrier input and an AM signal at the SSB input.

The carrier signal may be derived from the intermediate frequency signal or generated locally. The carrier signal may be introduced with or without modulation, provided its level is sufficiently high to saturate the upper quad differential amplifier. If the carrier signal is modulated, a 300 mV(rms) input level is recommended.

MC1496, MC1596

APPLICATIONS INFORMATION (continued)

Doubly Balanced Mixer

The MC1596/MC1496 may be used as a doubly balanced mixer with either broadband or tuned narrow band input and output networks.

The local oscillator signal is introduced at the carrier input port with a recommended amplitude of 100 mV(rms).

Figure 30 shows a mixer with a broadband input and a tuned output.

Frequency Doubler

The MC1596/MC1496 will operate as a frequency doubler by introducing the same frequency at both input ports.

Figures 31 and 32 show a broadband frequency doubler and a tuned output very high frequency (VHF) doubler, respectively.

Phase Detection and FM Detection

The MC1596/MC1496 will function as a phase detector. High-level input signals are introduced at both inputs. When both inputs are at the same frequency the MC1596/MC1496 will deliver an output which is a function of the phase difference between the two input signals.

An FM detector may be constructed by using the phase detector principle. A tuned circuit is added at one of the inputs to cause the two input signals to vary in phase as a function of frequency. The MC1596/MC1496 will then provide an output which is a function of the input signal frequency.

TYPICAL APPLICATIONS

Pin number references pertain to this device when packaged in a metal can. To ascertain the corresponding pin numbers for plastic or ceramic packaged devices refer to the first page of this specification sheet.

FIGURE 26 - BALANCED MODULATOR (+12 Vdc SINGLE SUPPLY)

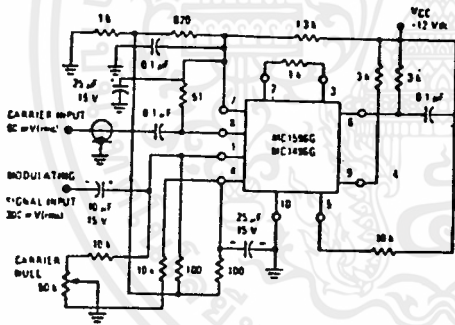


FIGURE 27 - BALANCED MODULATOR-DEMODULATOR

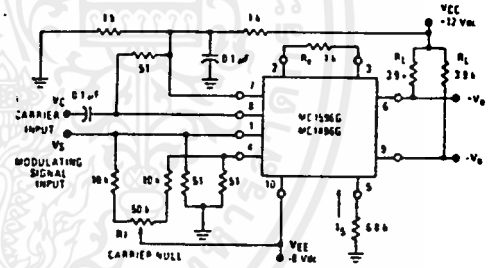


FIGURE 28 - AM MODULATOR CIRCUIT

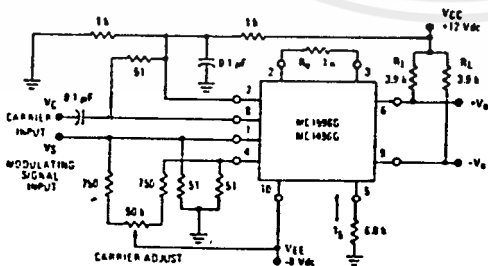
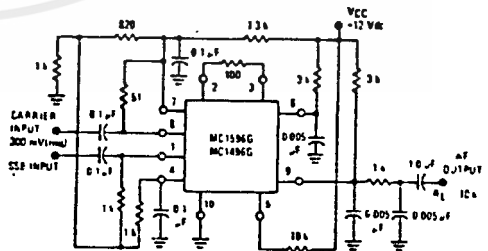


FIGURE 29 - PRODUCT DETECTOR (+12 Vdc SINGLE SUPPLY)





MC10116

MECL 10K SERIES
TRIPLE LINE RECEIVER

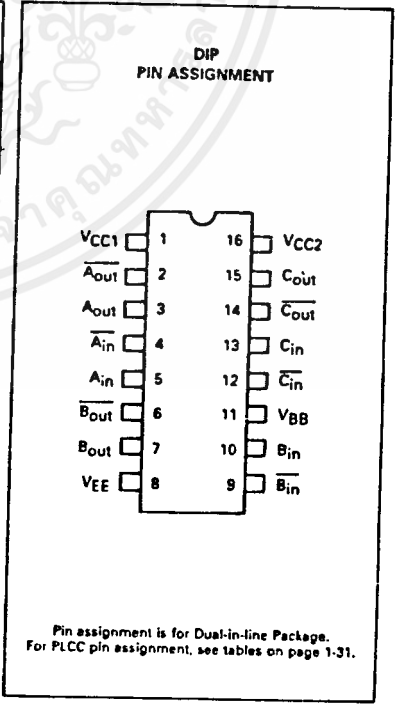
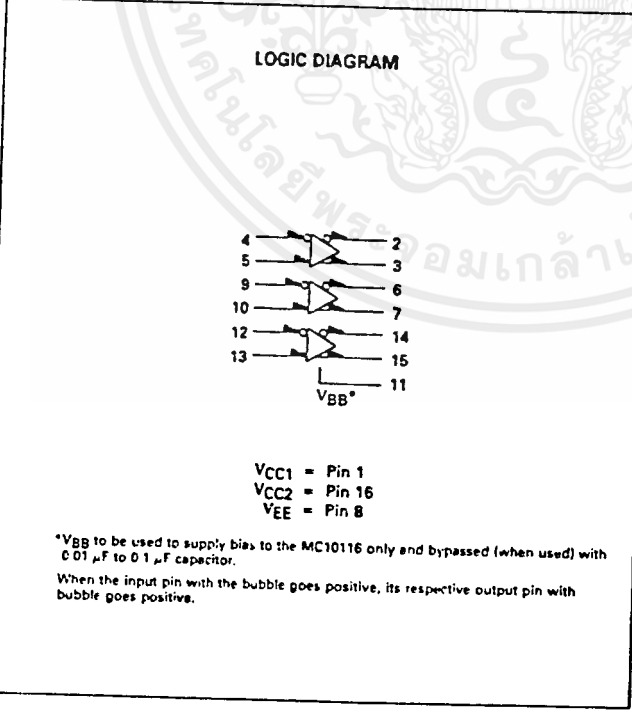
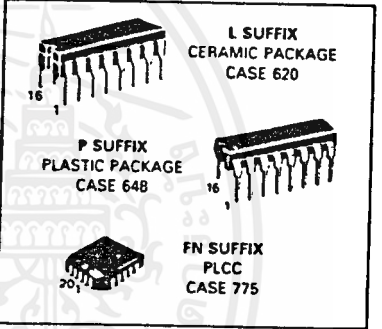
TRIPLE LINE RECEIVER

The MC10116 is a triple differential amplifier designed for use in sensing differential signals over long lines. The base bias supply (V_{BB}) is made available at pin 11 to make the device useful as a Schmitt trigger, or in other applications where a stable reference voltage is necessary.

Active current sources provide the MC10116 with excellent common mode noise rejection. If any amplifier in a package is not used, one input of that amplifier must be connected to V_{BB} (pin 11) to prevent upsetting the current source bias network.

Complementary outputs are provided to allow driving twisted pair lines, to enable cascading of several amplifiers in a chain, or simply to provide complement outputs of the input logic function.

$P_D = 85 \text{ mW typ/pkg (No Load)}$
 $t_{pd} = 2.0 \text{ ns typ}$
 $t_r, t_f = 2.0 \text{ ns typ (20\%–80\%)}$



เอกสารนี้เป็นเอกสารที่สงวนไว้สำหรับการใช้งานเพื่อการศึกษาเท่านั้น ไม่อนุญาตให้นำไปใช้ประโยชน์ด้านการค้า
 ไม่ว่ากรณีใดๆ ทั้งสิ้น อีกทั้งห้ามมิให้ดัดแปลงเนื้อหาและต้องอ้างอิงถึงเจ้าของเอกสารทุกครั้งที่มีการนำไปใช้

MC10116

ELECTRICAL CHARACTERISTICS

Each MC101000 series has been designed to meet the dc specifications shown in the test table, after thermal equilibrium has been established. This circuit is in a test socket or mounted on a printed circuit board and transverse air flow greater than 500 linear fpm is maintained. Outputs are terminated through a 50-ohm resistor to -2.0 volts. Test procedures are shown for only one gate. The other gates are tested in the same manner.

Characteristic	Symbol	Pin Under Test	MC10116 Test Limits						TEST VOLTAGE VALUES						IVCC/ Gnd	
			-30°C		+25°C		+85°C		-30°C		+25°C		+85°C			V _{EE}
			Min	Max	Min	Max	Min	Max	Min	Max	Min	Max	Min	Max		
Power Supply Drain Current	I _E	R		23		17	21		23		23		23		1.16	
Input Current	I _{IO}	4		190		15	95		95		10		10		1.16	
High Output Voltage	V _{OH}	2	-1.060	-0.890	-0.960	-0.810	-0.890	-0.700	V _{IK}	4	9.17	9.17	9.17	9.17	5.10,13	1.16
Low Output Voltage	V _{OL}	2	-1.890	-1.675	-1.850	-1.650	-1.825	-1.615	V _{IK}	4	9.17	9.17	9.17	9.17	5.10,13	1.16
High Threshold Voltage	V _{OHA}	2	-1.080	-	-0.980	-	-0.910	-	V _{IK}	4	9.17	9.17	9.17	9.17	5.10,13	1.16
Low Threshold Voltage	V _{OLA}	2	-	-1.655	-	-1.630	-	-1.595	V _{IK}	4	9.17	9.17	9.17	9.17	5.10,13	1.16
Reference Voltage	V _{BB}	11	-1.470	-1.280	-1.350	-	-1.230	-1.295	V _{IK}	4	9.17	9.17	9.17	9.17	5.10,13	1.16
Switching Times (50 Ω Load)			Min	Max	Min	Max	Min	Max								
Propagation Delay	t ₁₄₇₊ t ₁₄₋₂₋ t ₁₄₋₃₋	2 2 3	1.0	3.1	1.0	2.9	1.0	3.3	n						5.10,13	-3.2 V
Rise Time (120% to 80%)	t ₂₊	2	↑	↑	↑	↑	↑	↑	↑						↑	↑
Fall Time (100% to 80%)	t ₃₋	3	1.1	3.8	1.1	3.3	1.1	3.7	↑						↑	↑
	t ₁₋	2	↑	↑	↑	↑	↑	↑	↑						↑	↑
	t ₃₋	3	↑	↑	↑	↑	↑	↑	↑						↑	↑

กิติกรรมประกาศ

ขอขอบพระคุณอย่างสูงต่ออาจารย์ประกิจ ตั้งติสานนท์ ในฐานะ

อาจารย์ที่ปรึกษา ทางผู้จัดทำได้รับคำปรึกษาแนะนำ พร้อมทั้งการดูแล เอาใจใส่

ระหว่างการทำงานวิทยานิพนธ์ฉบับนี้ ตั้งแต่ต้น จนจบการศึกษา จนสำเร็จเรียบร้อย

ลงด้วยดี

เอกสารอ้างอิง

1. รงค์ เหมกรณ์ . เอกสารประกอบการเรียนวิชา " Satellite Communication " , คณะวิศวกรรมศาสตร์ สจล.
2. K.Miya , " Satellite Communication Technology " KDD Engineering and Consulting, Inc, Inc, Tokyo, Japan.
4. T.Pratt , C.W.Bastian " Satellite Communication " John Wiley Sons, 1986.
5. M.K.Labar , Colonel , " Introduction to Satellite Communication " , U.S.Army Communications Command, 1975
6. Connelly J., Analog Integrated Circuit, Wiley, New York.
7. James K.Hardy, " High Frequency Circuit Design " ,Reston Publishing Company, Inc, Prentice Hall Company, Reston, Veginia, USA.
8. Millman J., " Microelectronics " , McGraw-Hill, New York.
9. Soclof S., " Analog Integrated Circuit, Design and Applications " , McGraw-Hill, New York.